

บทที่ 5

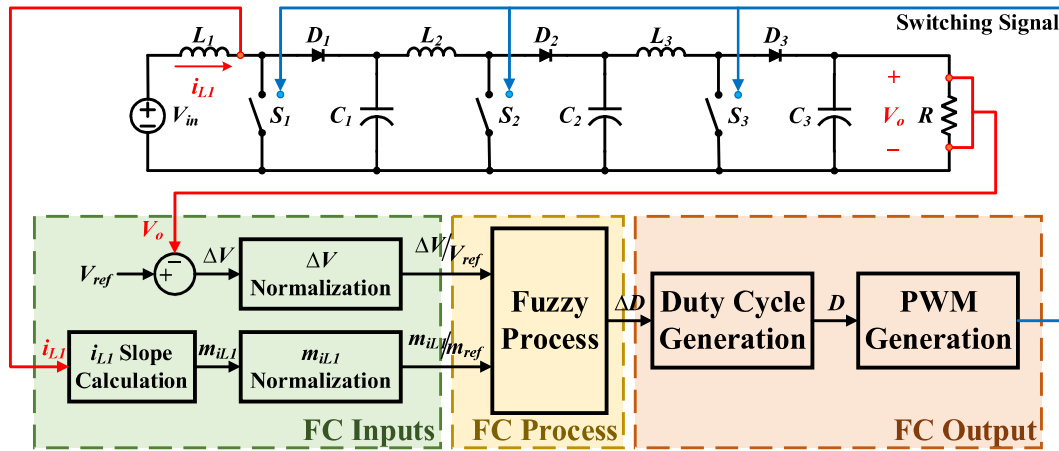
วงจรแปลงผันกำลังไฟฟ้าแบบบูสต์เรียงต่อกันสามขั้นที่มีความคงทนต่อ ความผิดพร่องแบบสวิตช์เปิดวงจร

5.1 บทนำ

จากการศึกษาค้นคว้างานวิจัยที่เกี่ยวข้องกับวงจรแปลงผันกำลังไฟฟ้าแบบบูสต์เรียงต่อกันสามขั้น ที่ได้นำเสนอไปในบทที่ 2 นั้น พบว่าวงจรดังกล่าวประกอบด้วยสวิตช์กำลังหลายตัว ในบทนี้ จึงเป็นการศึกษาหาแนวทางการพัฒนาวงจรแปลงผันกำลังไฟฟ้าแบบบูสต์เรียงต่อกันสามขั้น ให้มีความคงทนต่อความผิดพร่องเมื่อสวิตช์เปิดวงจร โดยศึกษาพฤติกรรมการทำงานของวงจรแปลงผันกำลังไฟฟ้าแบบบูสต์เรียงต่อกันสามขั้นทั้งในสภาพะปกติและมีความผิดพร่องแบบสวิตช์เปิดวงจร เกิดขึ้น ดำเนินการสังเกตค่ากระแสที่แหล่งผ่านตัวเหนี่ยวนำ แรงดันตกคร่อมตัวเก็บประจุตัว รวมถึง สัญญาณของการควบคุมฟซซีที่พัฒนาขึ้น ทั้งในสภาพะปกติ และสภาพะเกิดความผิดพร่อง เพื่อนำมาสร้างเงื่อนไขในการตรวจจับความผิดพร่อง ต่อมาก็เป็นการนำเสนอการระบุตำแหน่งความผิดพร่องที่เกิดขึ้นโดยสามารถระบุตำแหน่งความผิดพร่องที่เกิดขึ้นได้อย่างถูกต้อง และสุดท้ายเป็นการสร้างความคงทนต่อความผิดพร่อง เพื่อให้วงจรยังคงสามารถทำงานต่อไปได้อย่างมีประสิทธิภาพภายใต้ความผิดพร่องที่เกิดขึ้น ซึ่งมีเนื้อหาดังต่อไปนี้

5.2 การศึกษาพฤติกรรมของวงจรแปลงผันกำลังไฟฟ้าแบบบูสต์เรียงต่อกันสามขั้น

การศึกษาพฤติกรรมของวงจรจะพิจารณาการทำงานของวงจรในโหมดการนำกระแสแบบต่อเนื่อง (Continuous conduction mode: CCM) ทั้งสภาพะปกติ และเมื่อเกิดความผิดพร่อง ในสภาพะการทำงานต่าง ๆ ภายใต้ตัวควบคุมฟซซีที่พัฒนาขึ้น โดยใช้โครงสร้างดังรูปที่ 5.1 โดยจะอาศัยค่าพารามิเตอร์สำหรับวงจรแปลงผันกำลังไฟฟ้าเรียงต่อกันสามขั้น และการควบคุมฟซซีดังที่ได้ออกแบบไว้แล้วในบทที่ 3 และ 4 ตามลำดับ



รูปที่ 5.1 โครงสร้างการควบคุมฟิลเตอร์ที่พัฒนาขึ้นสำหรับวงจรแปลงผันกำลังไฟฟ้าแบบบูสต์เรียงต่อกันสามชั้น

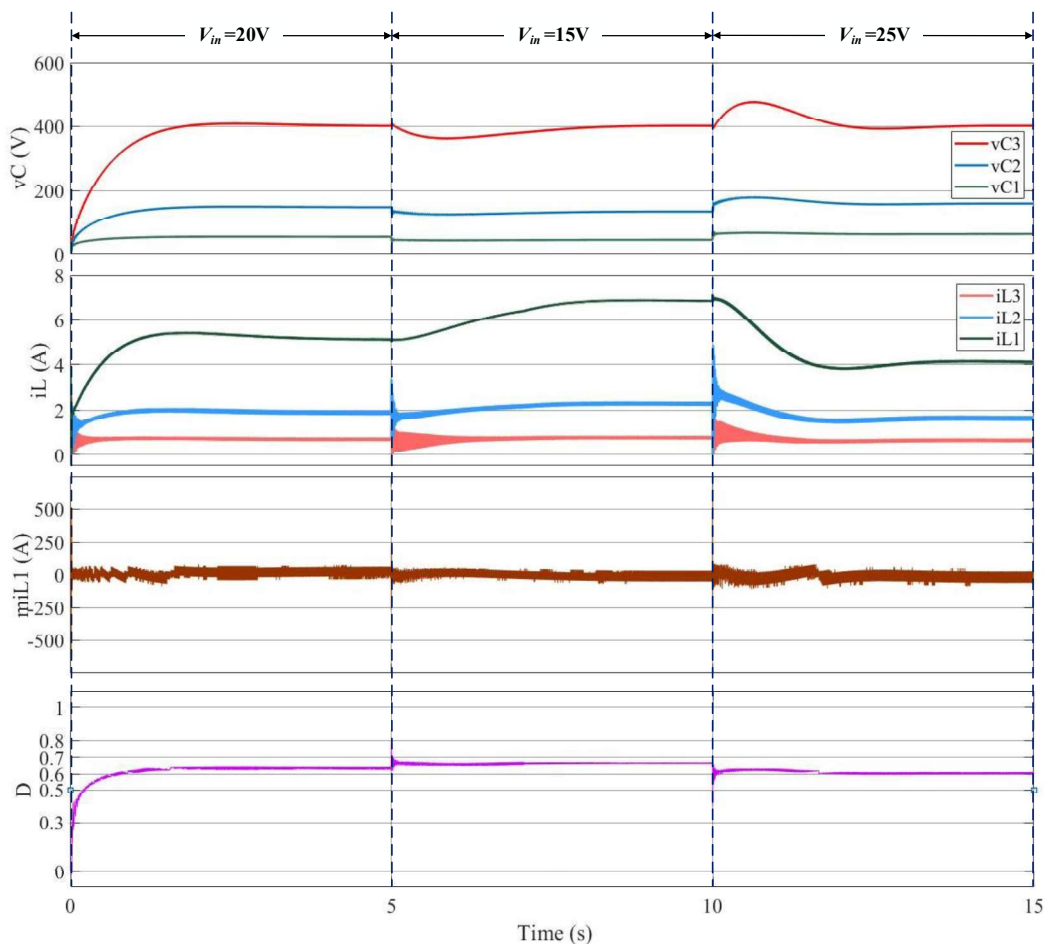
การสังเกตพฤติกรรมของวงจรแปลงผันกำลังไฟฟ้าแบบบูสต์เรียงต่อกันสามชั้นภายใต้การควบคุมฟิลเตอร์ที่พัฒนาขึ้นทั้งในสภาพะปกติและเมื่อเกิดความผิดพลาด จะอาศัยการจำลองสถานการณ์ โดยสังเกตค่ากระแสอินพุต แรงดันเอาต์พุต และค่าวัฏจักรหน้าที่ของสวิตซ์ที่ได้จากการควบคุมฟิลเตอร์ที่พัฒนาขึ้น เพื่อเป็นแนวทางในการพัฒนาวิธีการตรวจจับความผิดพลาดแบบสวิตซ์เปิดวงจร และนำไปสู่การทำงานของวงจรที่มีความคงทนต่อความผิดพลาด ในการจำลองสถานการณ์จะแสดงแรงดันตกคร่อมตัวเก็บประจุ (V_{C1} , V_{C2} , V_{C3}) กระแสที่โหลดผ่านตัวเหนี่ยวนำ (i_{L1} , i_{L2} , i_{L3}) ความชันของกระแสที่โหลดผ่านตัวเหนี่ยวนำตัวแรก (m_{iL1}) และค่าวัฏจักรหน้าที่ของสวิตซ์ (D) ซึ่งมีรายละเอียดดังต่อไปนี้

5.2.1 การจำลองสถานการณ์ของวงจรแปลงผันกำลังไฟฟ้าแบบบูสต์เรียงต่อกันสามชั้นในสภาพะปกติ

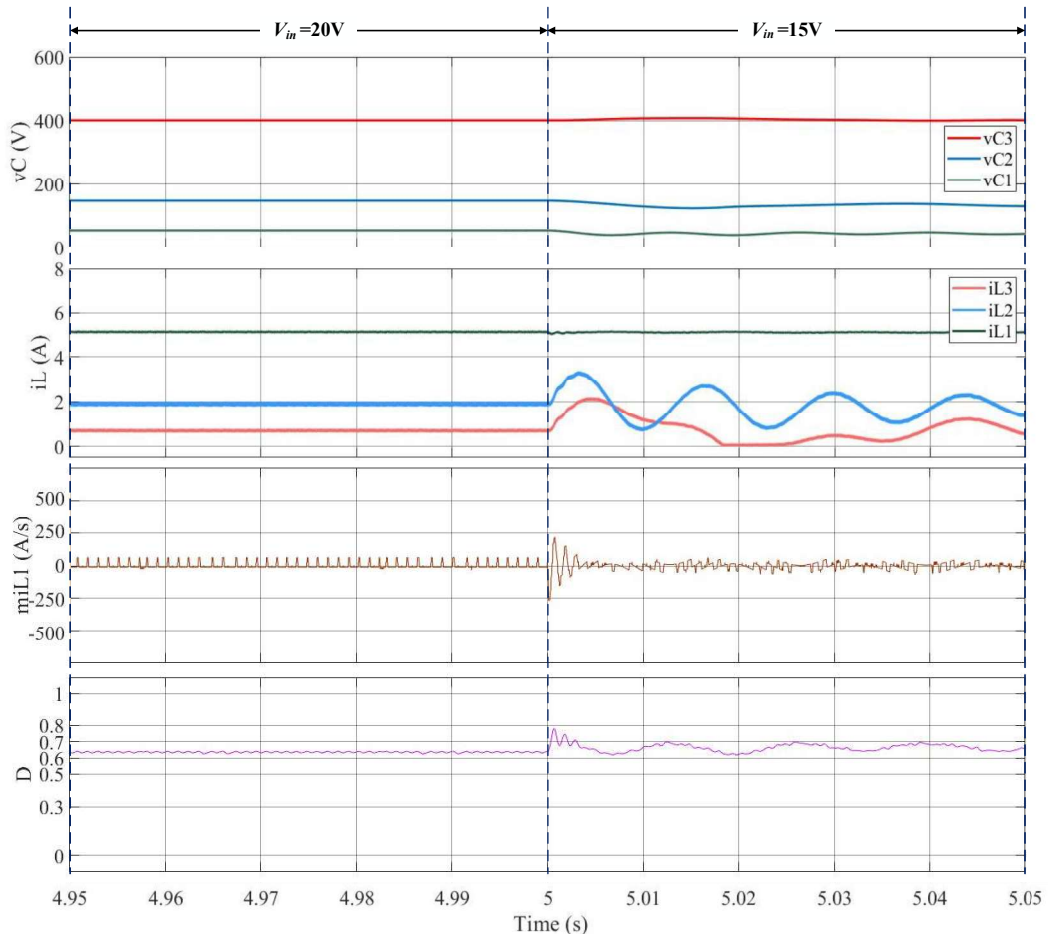
เพื่อพัฒนาวิธีการตรวจจับความผิดพลาดที่ทำงานได้อย่างถูกต้อง ได้ทำการสังเกตพฤติกรรมของวงจรแปลงผันกำลังไฟฟ้าแบบบูสต์เรียงต่อกันสามชั้นภายใต้การควบคุมฟิลเตอร์ที่พัฒนาขึ้นจากการจำลองสถานการณ์ต่าง ๆ ของวงจรในขณะที่ทำงานปกติ โดยการเปลี่ยนจุดการทำงานของวงจร 3 กรณี ได้แก่ การเปลี่ยนแปลงแรงดันอินพุต (V_{in}) การเปลี่ยนแปลงแรงดันอ้างอิง (V_{ref}) และการเปลี่ยนแปลงโหลดตัวต้านทาน (R) โดยพิจารณาการทำงานของวงจรในสภาพะชั่วครู่ หลังจากการเปลี่ยนจุดการทำงานต่าง ๆ ของวงจร เนื่องจากในช่วงเวลาสั้น ๆ นี้ วงจรจะแสดงพฤติกรรมที่แตกต่างจากการทำงานของวงจรในสภาพะอยู่ตัวอย่างชัดเจน ซึ่งจะช่วยให้เข้าใจพฤติกรรมของวงจรมากขึ้น และนำข้อมูลที่ได้ไปใช้ในการออกแบบวิธีการตรวจจับความผิดพลาดได้อย่างถูกต้องและรวดเร็ว

กรณีที่ 1 การจำลองสถานการณ์เมื่อการเปลี่ยนแปลง V_{in} เป็น 20V, 15V และ 25V ในช่วงเวลา 0s, 5s และ 10s ตามลำดับ โดยคงค่า V_{ref} ที่ 400V และ R ที่ 1600Ω จากผลการ

จำลองสถานการณ์รูปที่ 5.2 สังเกตเห็นได้ว่าแรงดันต้นทุกครั้งทั่วเก็บประจุ (V_{C1} , V_{C2} , V_{C3}) และกระแสที่ไหลผ่านตัวเหนี่ยวนำ (i_{L1} , i_{L2} , i_{L3}) เกิดการพุ่งเกิน และลดลงอย่างรวดเร็ว เมื่อแรงดันอินพุตเพิ่มขึ้น และลดลงตามลำดับ หลังจากนั้น V_O จะถูกควบคุมให้เท่ากับ V_{ref} ที่ 400V เมื่อพิจารณา m_{iL1} พบร่วาในช่วงเริ่มต้นการทำงานของวงจร m_{iL1} มีค่าของการเปลี่ยนแปลงอยู่ในช่วง $-100A/s$ ถึง $100A/s$ ส่วน D มีค่าเริ่มต้นจากศูนย์ เพิ่มขึ้น และคงที่ประมาณ 0.63 เพื่อให้ได้ V_O ที่ 400V ตาม V_{ref} โดยที่มี V_{in} เป็น 20V หลังจากนั้น ณ เวลาที่ 5s แรงดัน V_{in} ลดลงจาก 20V เป็น 15V จะเห็นได้ว่า V_{C3} มีค่าลดลง และถูกควบคุมให้มีค่าเท่ากับ V_{ref} ส่วน i_{L1} มีค่าเพิ่มขึ้นจากการควบคุมให้ m_{iL1} มีค่าใกล้เคียง m_{ref} โดยในสภาวะอยู่ตัว i_{L1} มีค่าประมาณ 6.67A เพื่อจ่ายกำลังไฟฟ้าให้กับโหลดเท่ากับ 100W สุดท้าย ณ เวลาที่ 10s แรงดัน V_{in} เพิ่มขึ้นจาก 15V เป็น 25V จะเห็นได้ว่า V_O มีการพุ่งเกิน หลังจากนั้นจะถูกควบคุมให้มีค่าเท่ากับ V_{ref} ส่วน i_{L1} มีค่าลดลงจาก 6.67A เป็น 4A เพื่อจ่ายกำลังไฟฟ้าให้กับโหลดเท่ากับ 100W เช่นเดิม

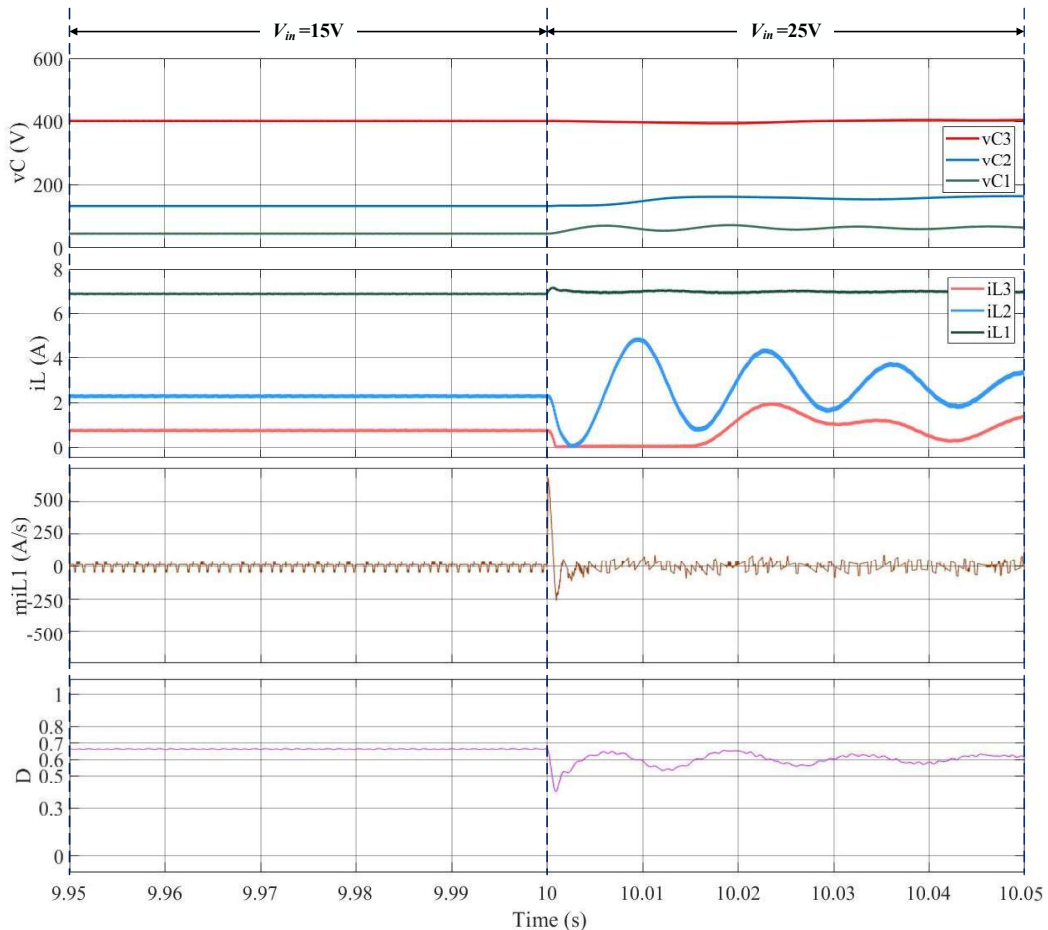


รูปที่ 5.2 ผลการจำลองพฤติกรรมการทำงานของวงจรกรณีเปลี่ยนแปลงแรงดันอินพุต



รูปที่ 5.3 ภาพขยายพอดีกรูมการทำงานของวงจร ในรูปที่ 5.3 ณ วินาทีที่ 5 เมื่อแรงดันอินพุตลดลงจาก 20V เป็น 15V พบร. v_{C3} และ i_{L1} ถูกควบคุมให้มีค่าคงที่ โดยที่ m_{iL1} มีการสั่นไส้ต่ำกว่า -250A/s ในระยะเวลาสั้น ๆ เท่านั้น หลังจากนั้นจะมีค่าอยู่ในช่วง -100A/s ถึง 100A/s ส่วน D มีค่าเพิ่มขึ้นจาก 0.63 เป็น 0.67 เพื่อรักษาระดับแรงดัน V_O เท่ากับ V_{ref} ที่ 400V เมื่อมีแรงดันอินพุต V_{in} ลดลงจาก 20V เป็น 15V

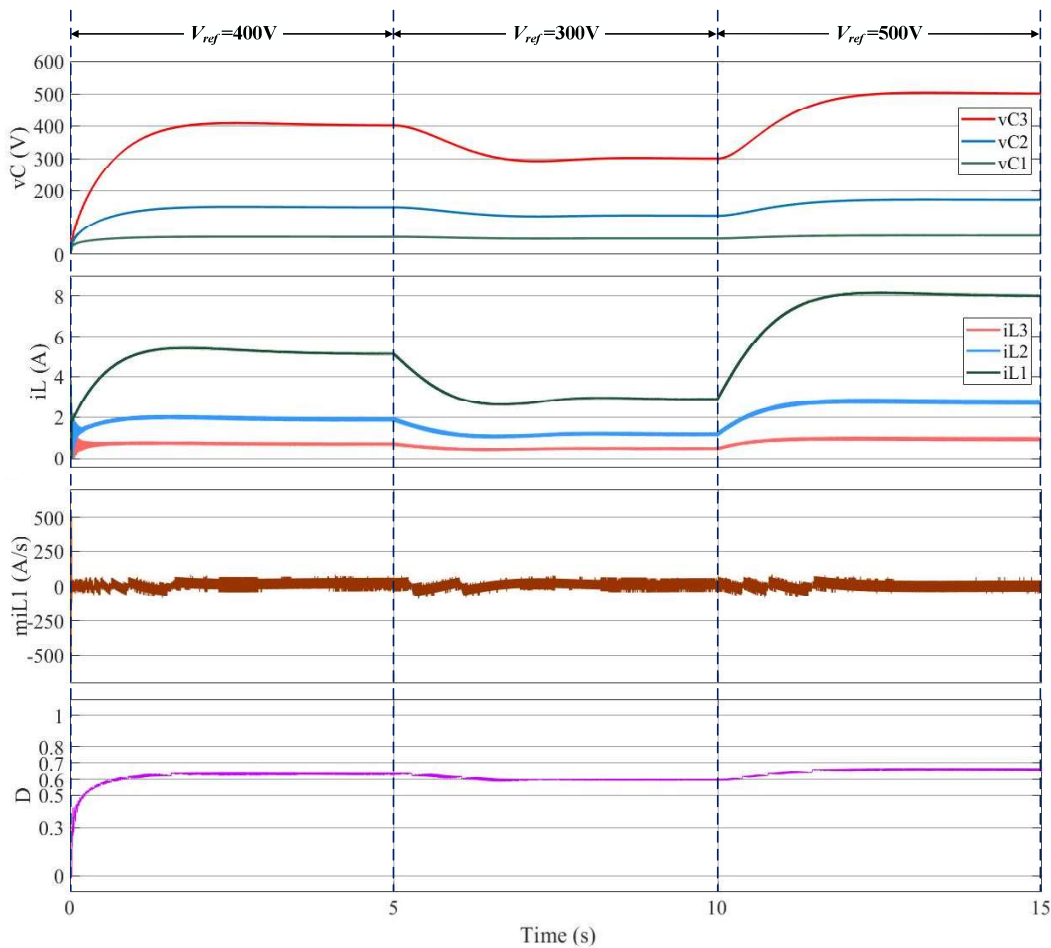
เมื่อพิจารณาภาพขยายพอดีกรูมการทำงานของวงจร ในรูปที่ 5.3 ณ วินาทีที่ 5 เมื่อแรงดันอินพุตลดลงจาก 20V เป็น 15V พบร. v_{C3} และ i_{L1} ถูกควบคุมให้มีค่าคงที่ โดยที่ m_{iL1} มีการสั่นไส้ต่ำกว่า -250A/s ในระยะเวลาสั้น ๆ เท่านั้น หลังจากนั้นจะมีค่าอยู่ในช่วง -100A/s ถึง 100A/s ส่วน D มีค่าเพิ่มขึ้นจาก 0.63 เป็น 0.67 เพื่อรักษาระดับแรงดัน V_O เท่ากับ V_{ref} ที่ 400V เมื่อมีแรงดันอินพุต V_{in} ลดลงจาก 20V เป็น 15V



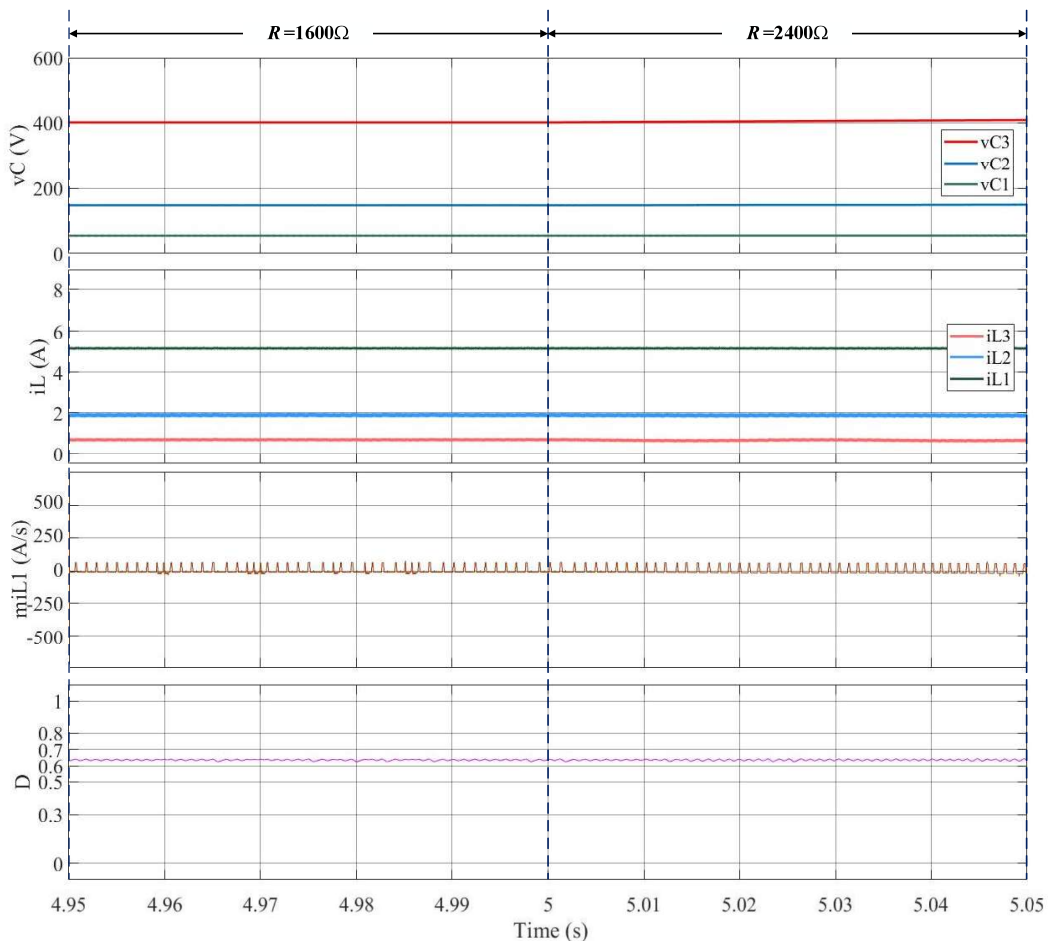
รูปที่ 5.4 ภาพขยายพอดีกรอมการทำงานของวงจรกรณีเปลี่ยนแปลงแรงดันอินพุต 15V เป็น 25V

จากภาพขยายผลการจำลองพอดีกรอมรูปที่ 5.4 แรงดันอินพุตเพิ่มขึ้นจาก 15V เป็น 25V ณ เวลาที่ 10s เมื่อพิจารณาพอดีกรอมการทำงานของวงจรพบว่า v_{C3} และ i_{L1} ยังคงที่ ในขณะที่ m_{iL1} มีค่าการสั่นไกวที่สูงกว่า 250A/s ในระยะเวลาสั้น ๆ จากนั้น m_{iL1} จะคงที่อยู่ในช่วง -100A/s ถึง 100A/s ส่วน D มีค่าลดลงจาก 0.67 เป็น 0.6 ซึ่งเป็นผลมาจากการควบคุมฟซซีเพื่อให้ได้ V_O เท่ากับ 400V หรือ V_{ref} เมื่อมีแรงดันอินพุต V_{in} เพิ่มขึ้นจาก 15V เป็น 25V

กรณีที่ 2 การจำลองสถานการณ์เมื่อมีการเปลี่ยนแปลง V_{ref} เป็น 400V, 300V และ 500V ในช่วงเวลา 0s, 5s และ 10s ตามลำดับ โดยคงค่า V_{in} ที่ 20V และ R ที่ 1600Ω แสดงดังรูปที่ 5.5 พบว่าแรงดันต่ำกว่าค่าเก็บประจุ (v_{C1} , v_{C2} , v_{C3}) และกระแสที่ไหลผ่านตัวเหนี่ยววน้ำ (i_{L1} , i_{L2} , i_{L3}) ถูกควบคุมให้มีค่าเท่ากัน สมมูลจากการควบคุมฟซซีที่พัฒนาขึ้นเพื่อรักษา V_O ให้มีค่าเท่ากับ V_{ref} ที่เปลี่ยนแปลง โดยในสภาวะอยู่ตัว D มีค่าคงที่ประมาณ 0.63, 0.60 และ 0.66 ตามลำดับ

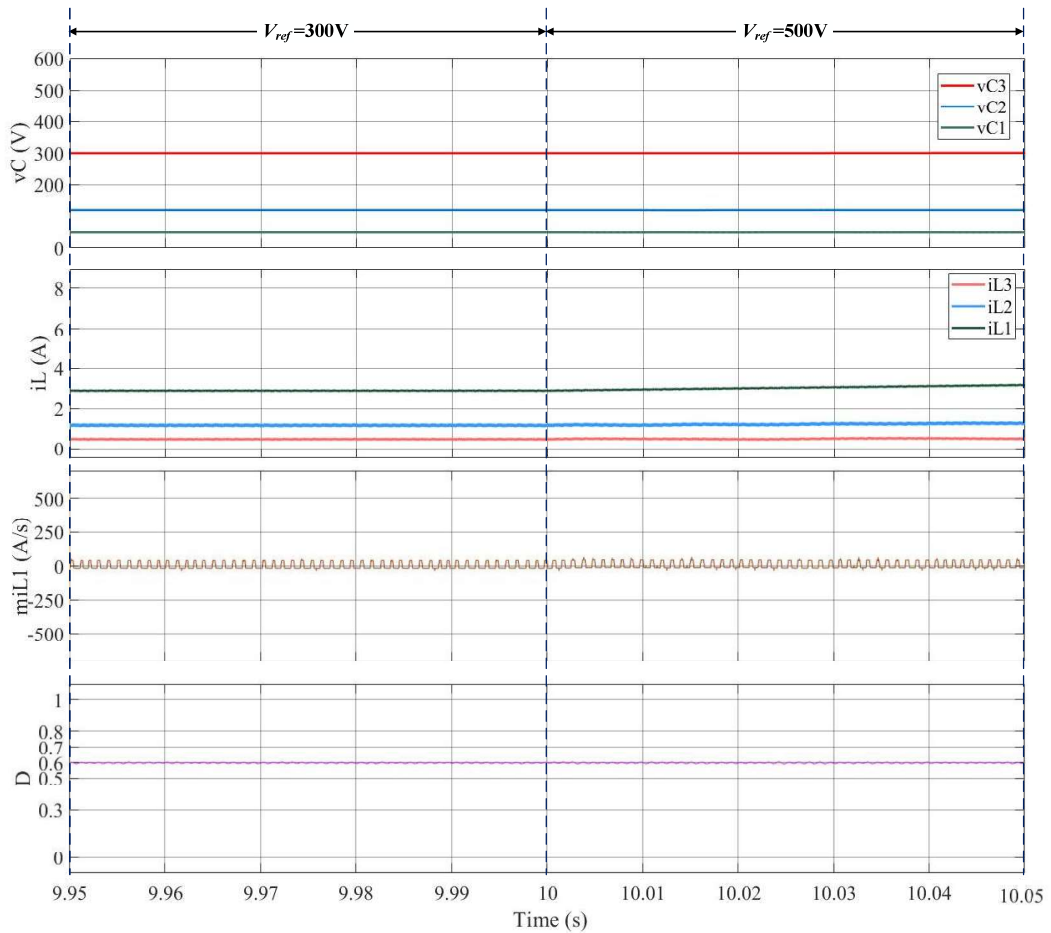


รูปที่ 5.5 ผลการจำลองพัฒนาระบบที่ทำงานจะปรับเปลี่ยนแปลงแรงดันอ้างอิง



รูปที่ 5.6 ภาพขยายพอดีกรรมการทำงานของกรนีเปลี่ยนแปลงแรงดันอ้างอิง 400V เป็น 300V

เมื่อพิจารณาภาพขยายการจำลองพอดีกรรมในรูปที่ 5.6 ณ วินาทีที่ 5 เมื่อ V_{ref} ลดลงพบว่าค่ากระแสและแรงดันไม่มีการเปลี่ยนแปลงในช่วงเวลาที่พิจารณา โดย v_{C3} มีค่าเท่ากับ 400V ซึ่งเท่ากับ V_{ref} ส่วนค่ากระแส i_{L1} มีค่าประมาณ 5 A ค่า m_{iL1} อยู่ในช่วง -100A/s ถึง 100A/s และ D มีค่าประมาณ 0.63

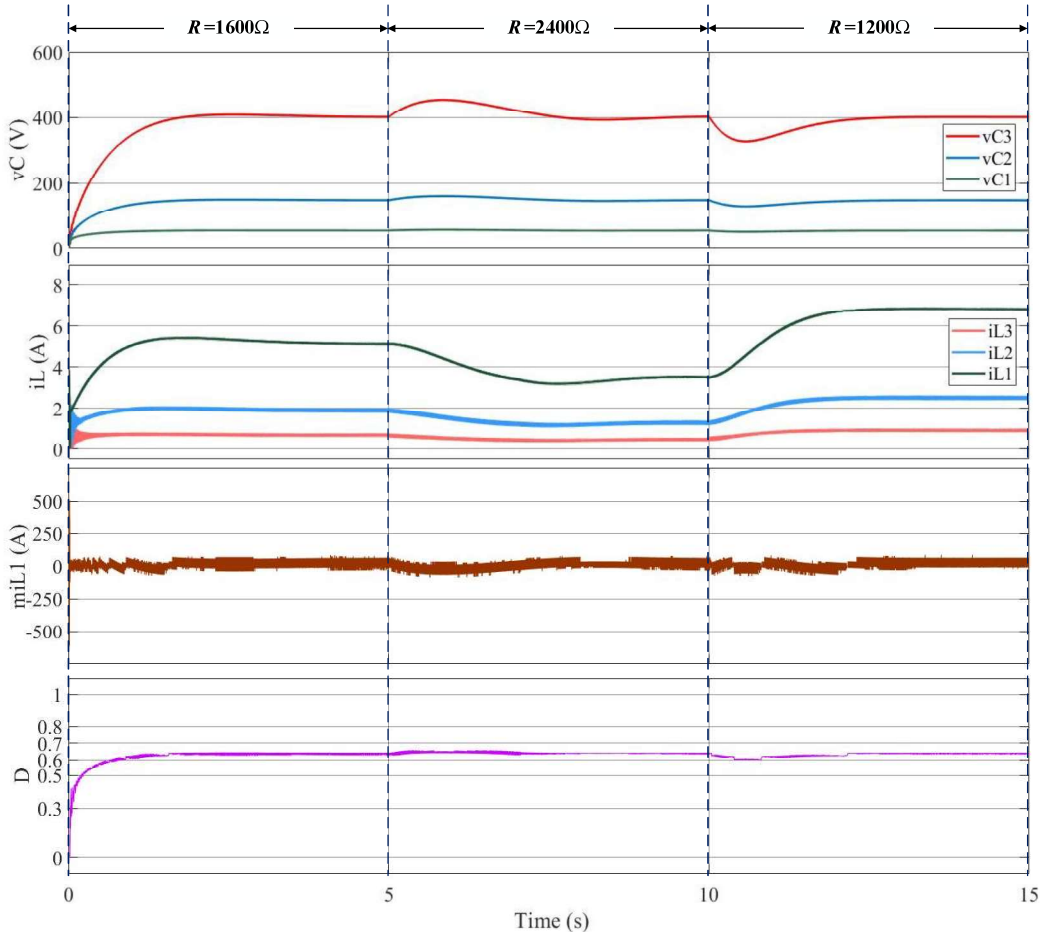


รูปที่ 5.7 ภาพขยายพอดีกรรมการทำงานของกรนีเปลี่ยนแปลงแรงดันอ้างอิง 300V เป็น 500V

จากภาพขยายการจำลองพอดีกรรมในรูปที่ 5.7 โดย V_{ref} เพิ่มขึ้น ณ เวลาที่ 10s เมื่อพิจารณาพบว่าไม่มีการเปลี่ยนแปลงเกิดขึ้นในช่วงเวลาที่พิจารณา โดย v_{C3} และ i_{L1} จากการทำงานของวงจรก่อนวินาทีที่ 10 ซึ่งมีค่าเท่ากับ 300V และ 2.81A ตามลำดับ เช่นเดียวกันกับการเปลี่ยนแปลง m_{iL1} และ D ที่มีค่าอยู่ในช่วง $-100A/s$ ถึง $100A/s$ และ 0.67 ตามลำดับ

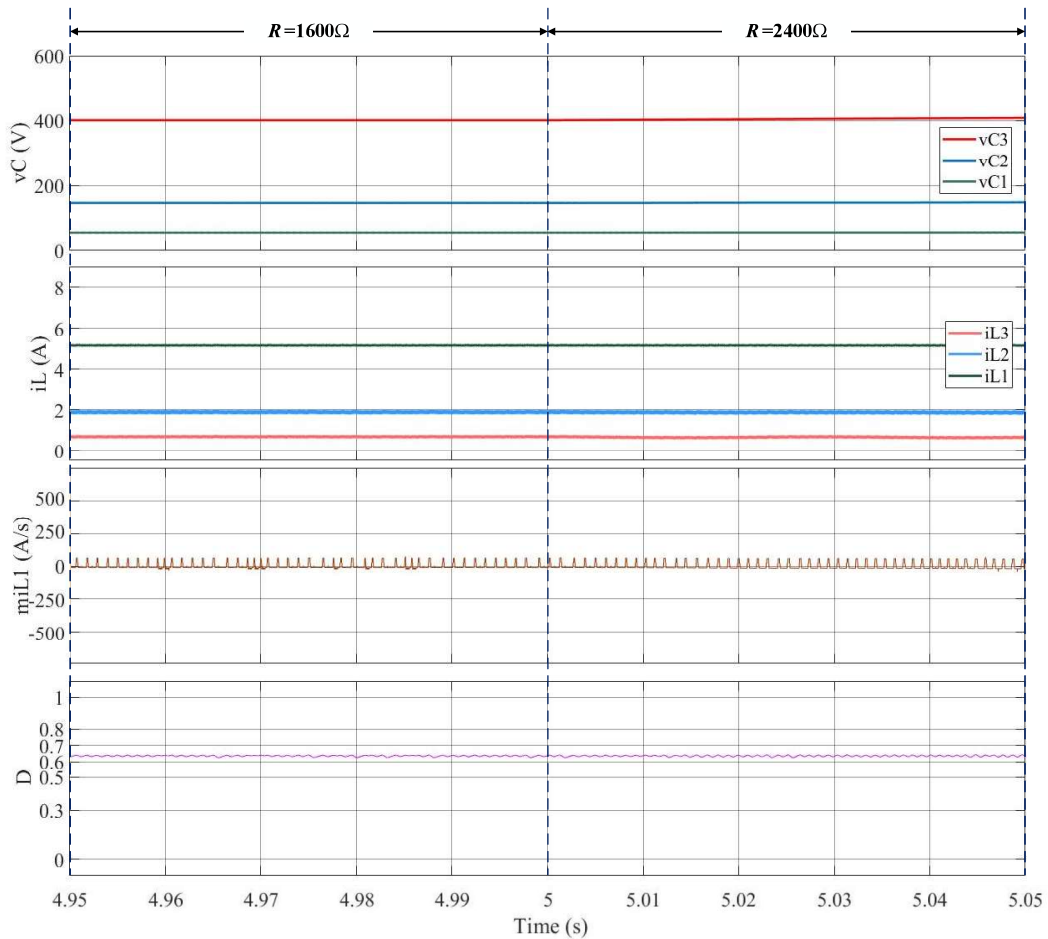
กรณีที่ 3 การจำลองสถานการณ์เมื่อมีการเปลี่ยนแปลงโหลด R เป็น 1600Ω , 3200Ω และ 2400Ω ในช่วงเวลา 0s, 5s และ 10s ตามลำดับ โดยคงค่า V_{in} ที่ 20V และ V_{ref} ที่ 400V ผลการจำลองสถานการณ์แสดงดังรูปที่ 5.8 พบว่าแรงดันตอกคร่อมตัวเก็บประจุ (v_{C1} , v_{C2} , v_{C3}) และกระแสไฟฟ้าผ่านตัวเหนี่ยววน (i_{L1} , i_{L2} , i_{L3}) เกิดการพุ่งเกิน และลดลงอย่างรวดเร็ว เมื่อโหลด R เพิ่มขึ้น และลดลงตามลำดับ อย่างไรก็ตามตัวควบคุมไฟซึ่งคงค่า V_O ที่ 400V ได้ ทั้งนี้การเปลี่ยนแปลงโหลด R จะส่งผลโดยตรงต่อกำลังไฟฟ้า โดยอาจเพิ่มหรือลดลงในสภาวะอยู่ตัวกำลังไฟฟ้าจะมีค่าเปลี่ยนแปลงเป็น 100W,

66.67W และ 133.33W ตามลำดับ เมื่อ V_{in} คงที่ค่ากระแส i_{L1} ถูกควบคุมให้มีค่าสอดคล้องกับการเปลี่ยนแปลงโหลด R ที่เกิดขึ้น โดยในสภาวะอยู่ตัว i_{L1} มีค่าประมาณ 5A, 3.33A และ 6.67A ตามลำดับ

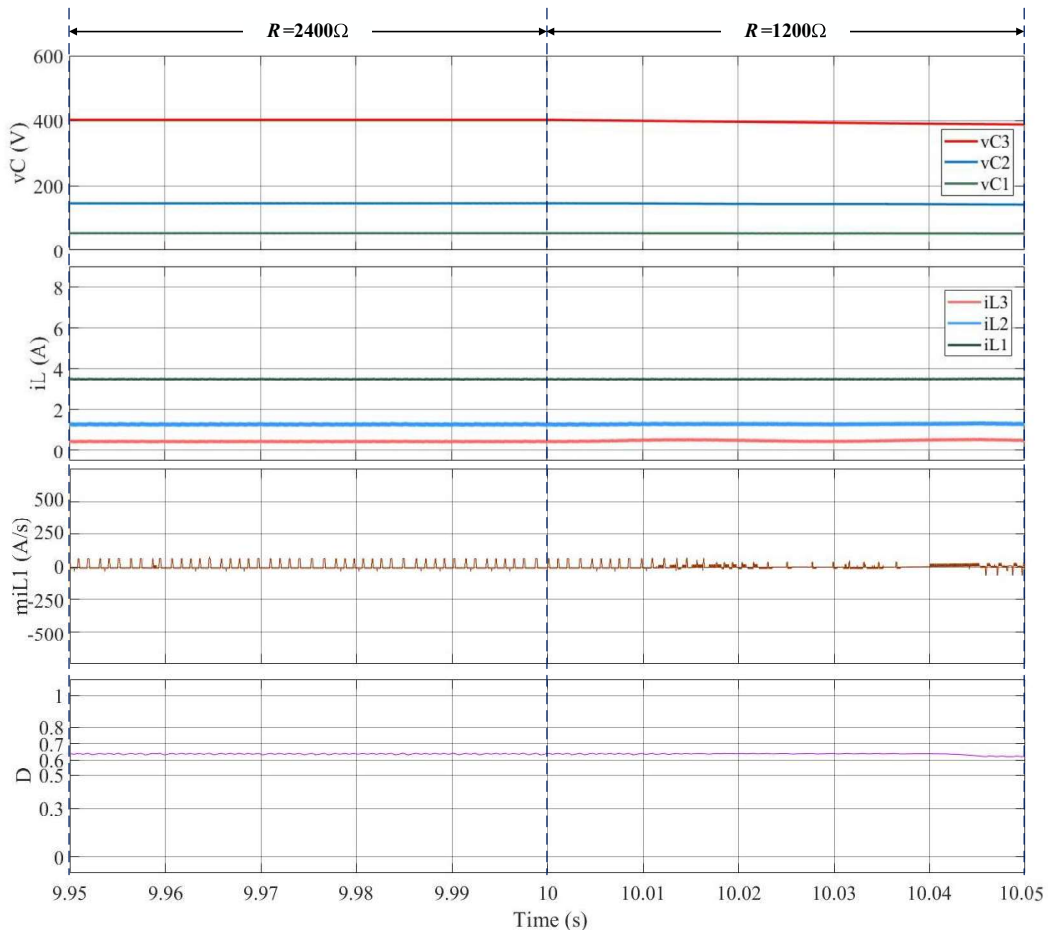


รูปที่ 5.8 พฤติกรรมการทำงานของวงจรกรณีเปลี่ยนแปลงโหลดตัวต้านทาน

ภาพขยายแสดงความแตกต่างพฤติกรรมการทำงานของวงจรเมื่อเปลี่ยนแปลงโหลด R ณ เวลาที่ 5s และ 10s ตามลำดับ แสดงดังในรูปที่ 5.9 และ 5.10 จะเห็นได้ว่าทั้งสองกรณีเปลี่ยนแปลง R ให้ผลตอบสนองของ v_{C3} และ i_{L1} ที่มีการเปลี่ยนแปลงเกิดขึ้นเล็กน้อยในช่วงเวลาที่พิจารณา ส่วน m_{iL1} มีการเปลี่ยนแปลงที่คงที่อยู่ในช่วง $-100A/s$ ถึง $100A/s$ ส่วนค่า D จะถูกควบคุมให้มีค่าคงที่ประมาณ 0.63 เพื่อรักษา V_O ให้เท่ากับ V_{ref} ที่ 400V โดยที่มี V_{in} เป็น 20V



รูปที่ 5.9 ภาพขยายพอดีกรรมการทำงานของกรนีเปลี่ยนแปลงโหลดตัวต้านทาน 1600Ω เป็น 2400Ω



รูปที่ 5.10 ภาพขยายพอดีกรูมการทำงานของวงจรในสภาวะปกติ โดยพิจารณาการเปลี่ยนจุดการทำงานของวงจรทั้ง 3 กรณี สามารถสังเกตพอดีกรูมผลตอบสนองที่เกิดขึ้น เพื่อเปรียบเทียบกับผลตอบสนองที่เกิดขึ้นภายใต้สภาวะเกิดความผิดพร่อง อีกทั้งยังเป็นแนวทางในการพัฒนาวิธีการตรวจสอบความผิดพร่องให้มีความถูกต้อง และรวดเร็ว

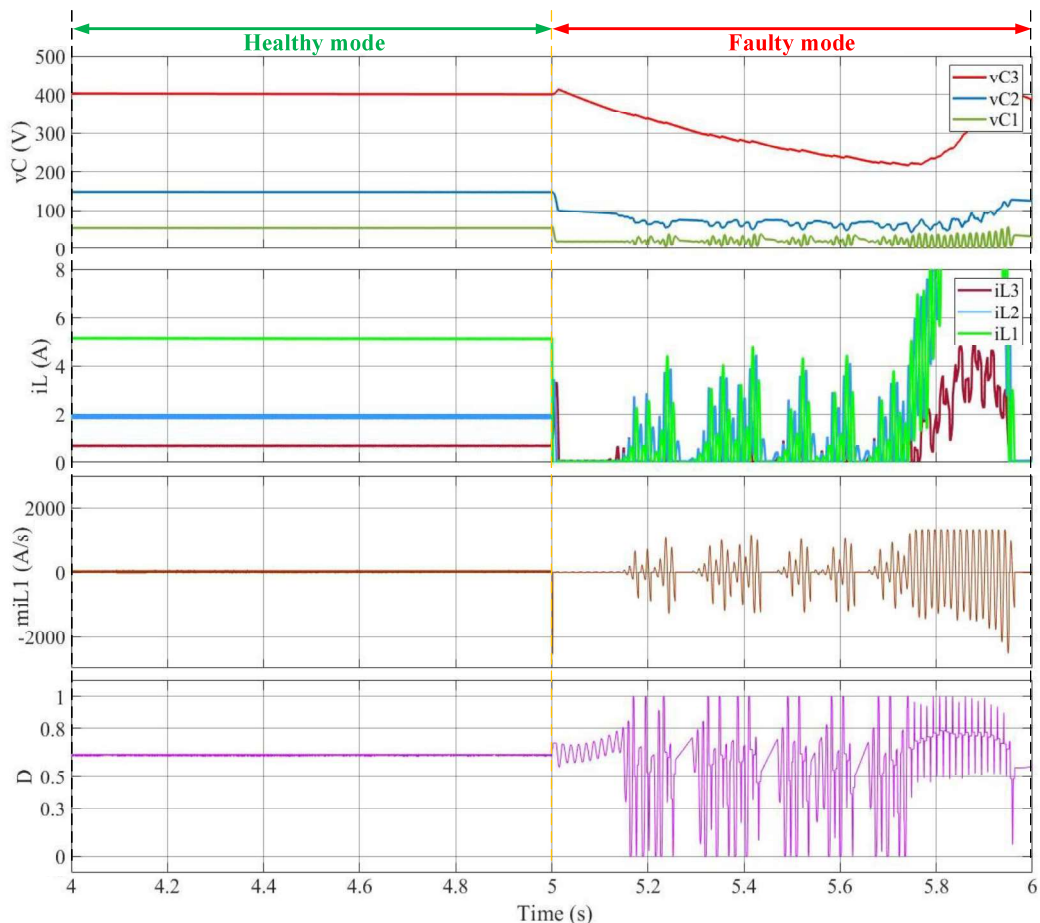
ในการศึกษาการทำงานของวงจรในสภาวะปกติ โดยพิจารณาการเปลี่ยนจุดการทำงานของวงจรทั้ง 3 กรณี สามารถสังเกตพอดีกรูมผลตอบสนองที่เกิดขึ้น เพื่อเปรียบเทียบกับผลตอบสนองที่เกิดขึ้นภายใต้สภาวะเกิดความผิดพร่อง อีกทั้งยังเป็นแนวทางในการพัฒนาวิธีการตรวจสอบความผิดพร่องให้มีความถูกต้อง และรวดเร็ว

5.2.2 การจำลองสถานการณ์วงจรแปลงผันกำลังไฟฟ้าแบบบูสต์เรียงต่อกันสามขั้นเมื่อเกิดความผิดพร่องแบบสวิตช์เปิดวงจร

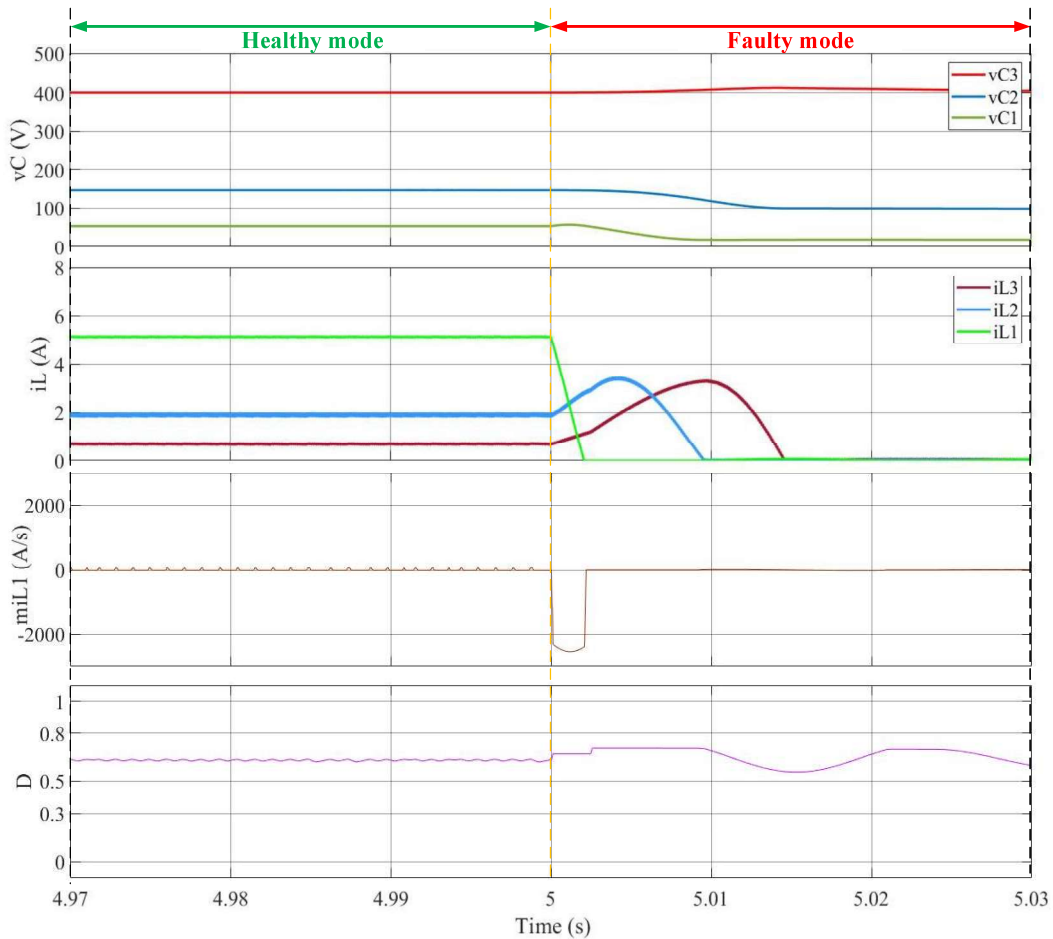
การจำลองสถานการณ์กำหนดให้ V_{ref} เป็น 400V, R เป็น 1600Ω และ V_{in} เป็น 20V คงที่ตลอดการจำลองสถานการณ์ โดยผลการจำลองสถานการณ์พบว่าพอดีกรูมการทำงานของวงจรแปลงผันกำลังไฟฟ้าแบบบูสต์เรียงต่อกันสามขั้นในสภาวะปกติ (Healthy mode) ภายใต้การควบคุมฟซซีที่พัฒนาขึ้น สามารถควบคุมแรงดัน V_O ให้มีค่าเพิ่มขึ้นจากศูนย์ไปยัง V_{ref} ที่ 400V อีกทั้งแรงดันตกคร่อม

ตัวเก็บประจุ (v_{C1} , v_{C2} , v_{C3}) และกระแสที่โหลดผ่านตัวเหนี่ยวนำ (i_{L1} , i_{L2} , i_{L3}) มีผลตอบสนองคงที่ในสภาวะอยู่ตัว หลังจากนั้นวินาทีที่ 5 จะเกิดความผิดพร่องแบบสวิตช์เปิดงจร (Faulty mode) ทั้งนี้การจำลองสถานการณ์จะพิจารณากรณีที่สวิตช์ตัวใดตัวหนึ่งเกิดความผิดพร่องแบบสวิตช์เปิดงจรเท่านั้น ซึ่งจะแบ่งการจำลองสถานการณ์ออกเป็น 3 กรณี ประกอบด้วยการจำลองสถานการณ์ความผิดพร่องแบบสวิตช์เปิดงจรที่ S_1 , S_2 และ S_3 ตามลำดับ ซึ่งมีรายละเอียดดังต่อไปนี้

กรณีที่ 1 การจำลองสถานการณ์ความผิดพร่องแบบสวิตช์เปิดงจรที่ S_1 แสดงดังรูปที่ 5.11 จากผลการจำลองสถานการณ์พบว่าแรงดันตกคร่อมตัวเก็บประจุ (v_{C1} , v_{C2} , v_{C3}) และกระแสที่โหลดผ่านตัวเหนี่ยวนำ (i_{L1} , i_{L2} , i_{L3}) มีค่าลดลง และเกิดการสั่นไกวอย่างชัดเจน รวมทั้ง m_{iL1} และ D เกิดการสั่นไกว และไม่สามารถรักษา V_O ให้มีค่าตาม V_{ref} ที่ 400 V ได้



รูปที่ 5.11 พฤติกรรมการทำงานของวงจรกรณีเกิดความผิดพร่องที่ S_1

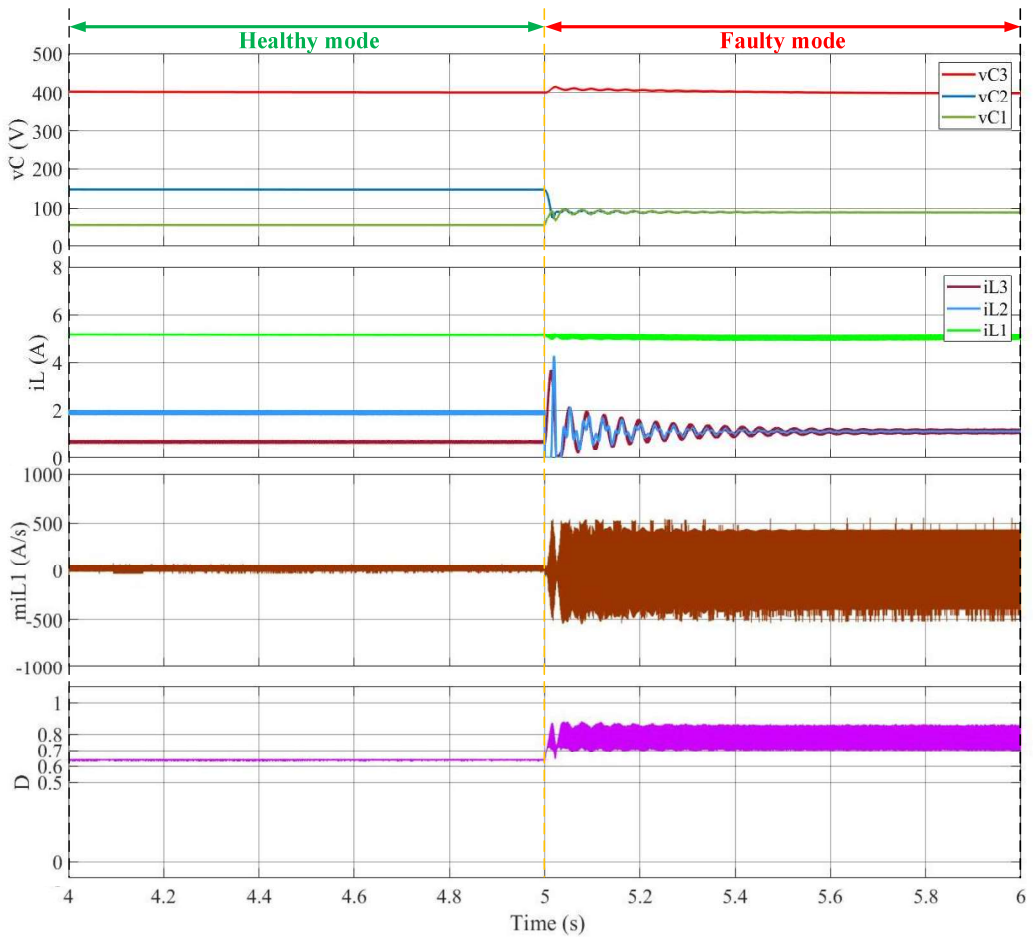


รูปที่ 5.12 ภาพขยายพอดีกรรมการทำงานของวงจรกรณีเกิดความผิดพร่องที่ S_1

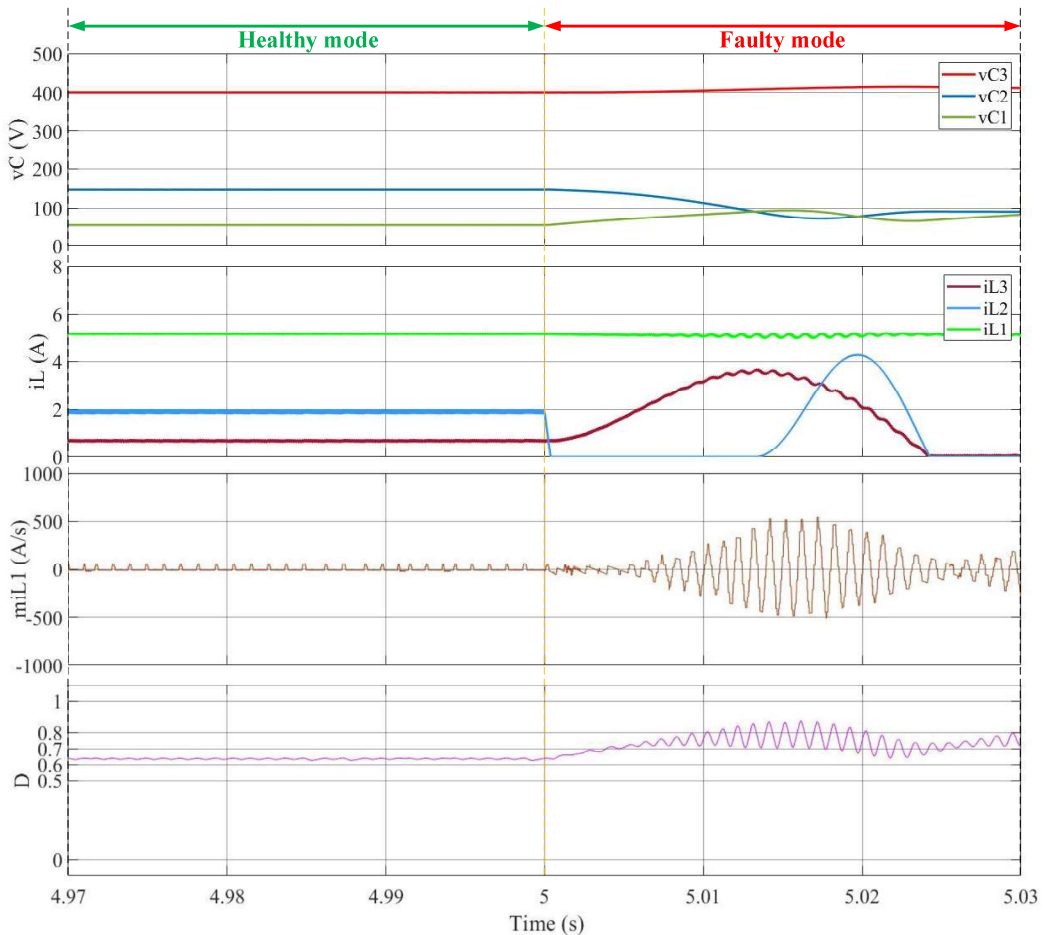
เมื่อพิจารณาภาพขยายเพื่อเปรียบเทียบพอดีกรรมการทำงานของวงจรระหว่างสภาวะปกติและเมื่อเกิดความผิดพร่องที่ S_1 ดังแสดงในรูปที่ 5.12 พบร้าพอดีกรรมการทำงานของวงจรแปลงผันกำลังไฟฟ้าแบบบุสต์เรียงต่อกันสามขั้นหลังจากเกิดความผิดพร่อง i_{L1} จะลดลงอย่างรวดเร็ว จากค่าประมาณ 5A ลดลงจนถึง 0A ใช้เวลาประมาณ 3ms ส่วน m_{iL1} มีค่าติดลบเนื่องจากการที่กระแสลดลงอย่างรวดเร็วโดยมีค่าประมาณ -2300A/s ส่วนแรงดัน v_{C1} , v_{C2} และ v_{C3} มีค่าเพิ่มขึ้นเล็กน้อย ในขณะที่ D มีค่าไม่คงที่ จะเห็นได้ว่า i_{L1} และ m_{iL1} มีผลตอบสนองที่เปลี่ยนแปลงรวดเร็วอย่างเห็นได้ชัด จึงพิจารณาค่าดังกล่าวเพื่อเป็นแนวทางในการพัฒนาวิธีการตรวจจับความผิดพร่องที่ S_1 โดยรายละเอียดจะถูกนำเสนอในหัวข้อถัดไป

กรณีที่ 2 การจำลองสถานการณ์ความผิดพร่องแบบสวิตซ์เปิดวงจรที่ S_2 แสดงดังรูปที่ 5.13 พบร้าตัวควบคุมฟซซึ่งสามารถที่จะเพิ่ม และรักษา V_O มีค่าประมาณ V_{ref} ได้ อย่างไรก็ตามแรงดัน v_{C1} และ v_{C2} เกิดการสั่นไกวเล็กน้อย หลังจากนั้นแรงดันทั้งสองจะมีค่าเท่ากันประมาณ 90V ในสภาวะอยู่

ตัว ส่วนกระแส i_{L2} และ i_{L3} เกิดการสั่นໄกวอย่างเห็นได้ชัด หลังจากนั้นกระแสทั้งสองจะมีเท่ากันค่าประมาณ 1.2A ในสภาพอยู่ตัว เมื่อพิจารณา m_{iL1} พบว่าเกิดการสั่นໄกกว่ามากกว่าในสภาพปกติอย่างเห็นได้ชัด โดยมีค่าการเปลี่ยนแปลงเกินขอบเขต $-250A/s$ ถึง $250A/s$ ส่วน D เพิ่มขึ้นจาก 0.63 เป็น 0.78 อย่างรวดเร็ว และไม่คงที่ เกิดการเปลี่ยนแปลงค่ามากกว่าในสภาพปกติอย่างเห็นได้ชัดเจนเช่นกัน โดยที่สภาพอยู่ตัวมีค่าประมาณ 0.77 เพื่อรักษา V_O ให้เท่ากับ V_{ref} ที่ 400V



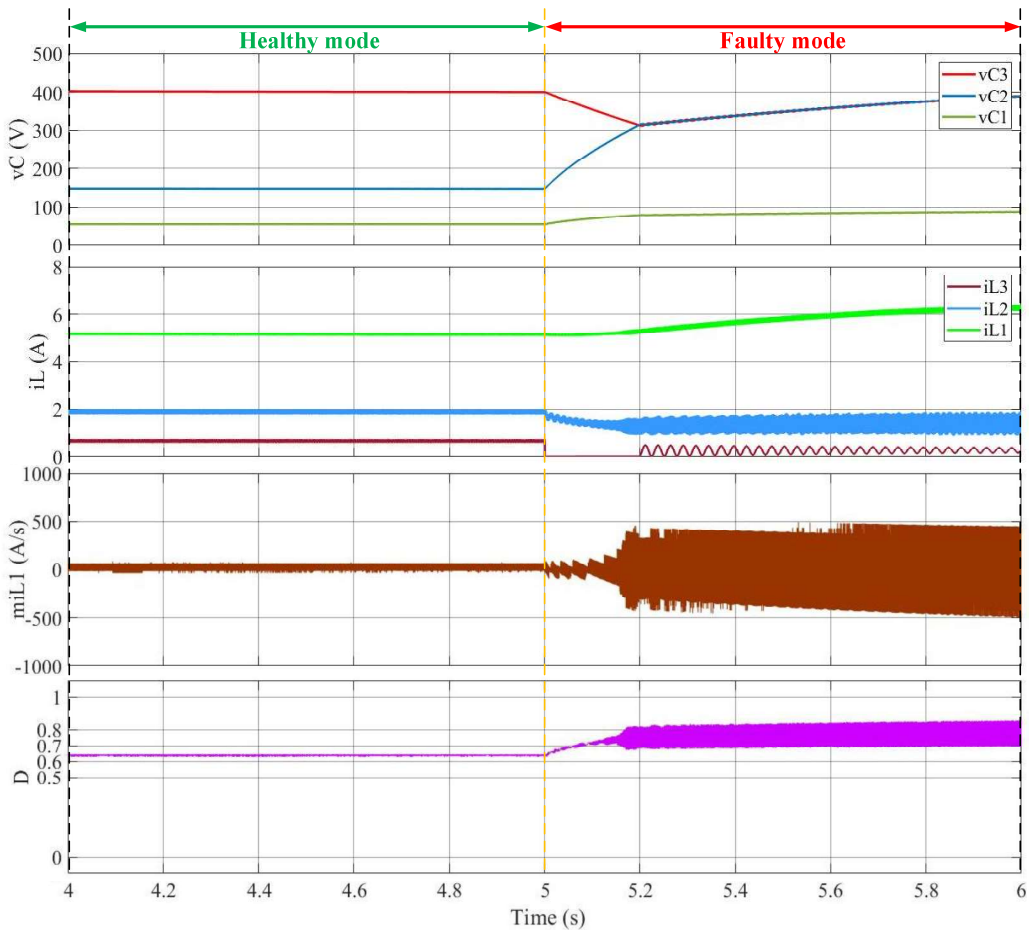
รูปที่ 5.13 พฤติกรรมการทำงานของจرجรรณีเกิดความผิดพร่องที่ S_2



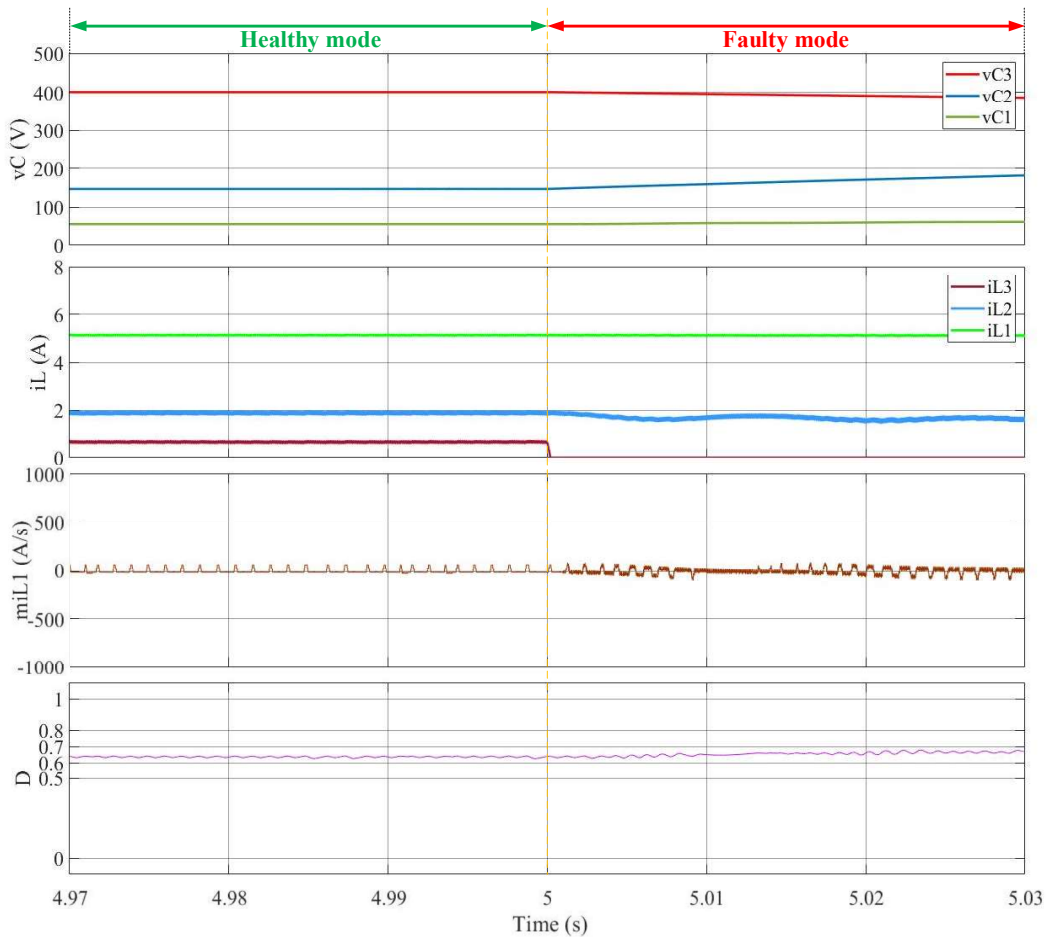
รูปที่ 5.14 ภาพขยายพฤติกรรมการทำงานของวงจรกรณีเกิดความผิดพร่องที่ S_2

จากภาพขยายเพื่อพิจารณาพฤติกรรมการทำงานของวงจรในรูปที่ 5.14 แสดงให้เห็นความแตกต่างพฤติกรรมการทำงานของวงจรระหว่างสภาวะปกติ และเมื่อเกิดความผิดพร่องที่ S_2 จากผลการจำลองสถานการณ์พบว่าพฤติกรรมการทำงานของวงจรเปล่งผ้นกำลังไฟฟ้าแบบบุสต์เรียงต่อกันสามชั้นหลังจากเกิดความผิดพร่อง จะสังเกตได้ว่าแรงดัน v_{C3} มีค่าเพิ่มขึ้นเล็กน้อย กระแส i_{L1} มีการสั่นไกวเล็กน้อย เมื่อพิจารณา m_{iL1} พบว่าหลังจากเกิดความผิดพร่องมีการสั่นไกวทันทีอย่างเห็นได้ชัด สัญญาณ D มีค่าเพิ่มขึ้น ดังนั้น m_{iL1} และ D มีผลตอบสนองที่เปลี่ยนแปลงอย่างรวดเร็ว จึงพิจารณาค่าดังกล่าวเพื่อเป็นแนวทางในการพัฒนาวิธีการตรวจจับความผิดพร่องที่ S_2 โดยรายละเอียดจะถูกนำเสนอในหัวข้อถัดไป
 กรณีที่ 3 การจำลองสถานการณ์ความผิดพร่องแบบสวิตซ์เปิดวงจรที่ S_3 แสดงดังรูปที่ 5.15 พบว่าการควบคุมฟซชี ยังคงสามารถรักษา V_O ตามที่ต้องการได้ อย่างไรก็ตามแรง v_{C1} และ v_{C2} มีค่าเพิ่มขึ้นเป็น 90V และ 400V ตามลำดับ ส่วนแรงดัน v_{C3} มีค่าลดลงจากการคายประจุให้กับโหลดตัวต้านทาน หลังจากนั้นมีค่าเพิ่มขึ้นเข้าหา V_{ref} โดยใช้เวลาเข้าที่ประมาณ 1s ส่วนผลตอบสนองกระแสที่แหล่ง

ผ่านตัวเหนี่ยวนำที่เกิดขึ้นพบว่า i_{L1} มีค่าเพิ่มขึ้นเล็กน้อย ส่วน i_{L2} มีค่าลดลงเล็กน้อย หลังจากนั้นเกิดการสั่นไกอย่างเห็นได้ชัด และ i_{L3} มีค่าลดลงอย่างรวดเร็ว และคงที่ 0A ประมาณ 0.2s หลังจากนั้นมีค่าเพิ่มขึ้นแบบสั่นไก เมื่อพิจารณา m_{IL1} พบว่า ในช่วงแรกค่าไม่เปลี่ยนแปลงประมาณ 0.17s หลังจากนั้นเกิดการสั่นไก โดยมีค่าการเปลี่ยนแปลงมากกว่าในสภาวะปกติอย่างเห็นได้ชัด ส่วน D มีค่าเพิ่มขึ้น และเกิดการสั่นไกมากกว่าในสภาวะปกติ โดยที่สภาวะอยู่ตัวมีค่าประมาณ 0.77 เพื่อรักษา V_O ให้เท่ากับ V_{ref} ที่ 400V



รูปที่ 5.15 พฤติกรรมการทำงานของวงจรกรณีเกิดความผิดพร่องที่ S_3



รูปที่ 5.16 ภาพขยายพอดีกรรมการทำงานของวงจรกรณีเกิดความผิดพร่องที่ S_3

ในการพิจารณาความแตกต่างพอดีกรรมการทำงานระหว่างสภาวะปกติ และเมื่อเกิดความผิดพร่องที่สวิตซ์ S_3 จะอาศัยภาพขยายพอดีกรรมการทำงานของวงจรในรูปที่ 5.16 พบว่า พอดีกรรมการทำงานของวงจรแปลงผันกำลังไฟฟ้าแบบบุสต์เรียงต่อกันสามขั้นหลังจากเกิดความผิดพร่อง ผลตอบสนองของ v_{C3} มีค่าลดลงจากการคายประจุ ส่วนกระแส i_{L1} มีค่าเพิ่มขึ้น หลังจากนั้นมีการสั่นไก เล็กน้อย ส่วน m_{iL1} มีการสั่นไกเล็กน้อยเช่นกัน และสัญญาณ D มีค่าเพิ่มขึ้นเล็กน้อย ดังนั้นจึงพิจารณาค่า v_{C3} เพื่อเป็นแนวทางในการพัฒนาวิธีการตรวจจับความผิดพร่องที่ S_3 โดยรายละเอียดจะถูกนำเสนอในหัวข้อถัดไป

จากการจำลองสถานการณ์แสดงพอดีกรรมของวงจรแปลงผันกำลังไฟฟ้าแบบบุสต์ เรียงต่อกันสามขั้นภายใต้การควบคุมฟซซีที่พัฒนาขึ้นดังที่ได้กล่าวมาข้างต้น ทั้งในสภาวะปกติที่มีการเปลี่ยนแปลงจุดการทำงานของวงจร และในสภาวะที่เกิดความผิดพร่องแบบเบ็ดเติงของห้องสามสวิตซ์ จะเห็นได้ว่าค่ากระแส i_{L1} และแรงดัน V_O ที่ได้จากตัวตรวจจับกระแส และตัวตรวจจับแรงดันที่ใช้ใน

กระบวนการควบคุมฟื้นฟูที่พัฒนาขึ้น รวมถึงสัญญาณ D ที่ได้จากการควบคุมฟื้นฟูที่พัฒนาขึ้นมีการเปลี่ยนแปลงอย่างเห็นได้ชัด เมื่อเกิดความผิดพร่องที่สวิตซ์แต่ละตัว ข้อมูลเหล่านี้จะถูกนำไปใช้ในการตรวจจับความผิดพร่องแบบสวิตซ์เปิดวงจรสรุปได้ดังตารางที่ 5.1

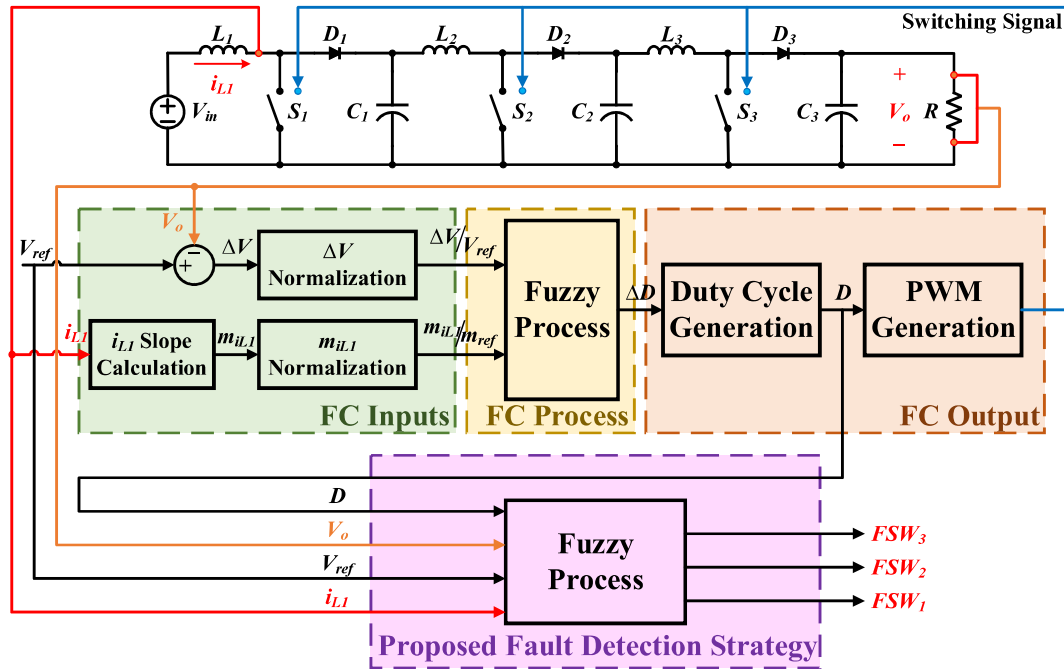
ตารางที่ 5.1 ข้อมูลที่ใช้ในการตรวจจับความผิดพร่องแบบสวิตซ์เปิดวงจร

ความผิดพร่องแบบสวิตซ์เปิดวงจร	พารามิเตอร์ที่พิจารณา
S_1	ค่ากระแสที่เหลือ่านตัวเหนี่ยวนำตัวที่ 1 (i_{L1})
S_2	ค่ากระแสที่เหลือ่านตัวเหนี่ยวนำตัวที่ 1 (i_{L1}) และค่าวัตถุจารหน้าที่ของสวิตซ์ (D)
S_3	ค่าแรงดันตกคร่อมตัวเก็บประจุตัวที่ 3 (V_{C3})

ดังนั้นค่าพารามิเตอร์ที่เปลี่ยนแปลงรวดเร็วอย่างเห็นได้ชัดเมื่อเกิดความผิดพร่องแบบสวิตซ์เปิดวงจรเหล่านี้สามารถนำไปใช้พัฒนาวิธีการตรวจจับความผิดพร่อง รวมถึงพัฒนาการสร้างความคงทนต่อความผิดพร่องให้กับวงจรแปลงผันกำลังไฟฟ้าแบบบุสต์เรียงต่อกันสามขั้นภายในได้แก่การควบคุมฟื้นฟูที่พัฒนาขึ้นเพื่อให้ยังคงสามารถทำงานต่อไปได้อย่างมีประสิทธิผล และต่อเนื่อง

5.3 วิธีการตรวจจับและระบุตำแหน่งความผิดพร่องแบบสวิตซ์เปิดวงจรที่พัฒนาขึ้น

จากการศึกษาพัฒนาระบบดูแลรักษาที่สามารถตรวจจับความผิดพร่องแบบสวิตซ์เปิดวงจรประกอบด้วยกระแส i_{L1} แรงดัน V_{C3} และสัญญาณ D ของวงจรแปลงผันกำลังไฟฟ้าแบบบุสต์เรียงต่อกันสามขั้นภายในได้ตัวควบคุมฟื้นฟูที่พัฒนาขึ้นดังที่ได้กล่าวไว้แล้วในขั้นตอน สามารถนำมาพัฒนาวิธีการตรวจจับความผิดพร่อง (Fault detection strategy) พื้นที่สามารถระบุตำแหน่งสวิตซ์ที่เกิดความผิดพร่องภายในวงจร (Fault identification) โดยใช้กระบวนการฟื้นฟูที่พัฒนาขึ้นดังรูปที่ 5.17 ทั้งนี้จะพิจารณากรณีที่สวิตซ์ตัวใดตัวหนึ่งเกิดความผิดพร่องแบบสวิตซ์เปิดวงจรเท่านั้น

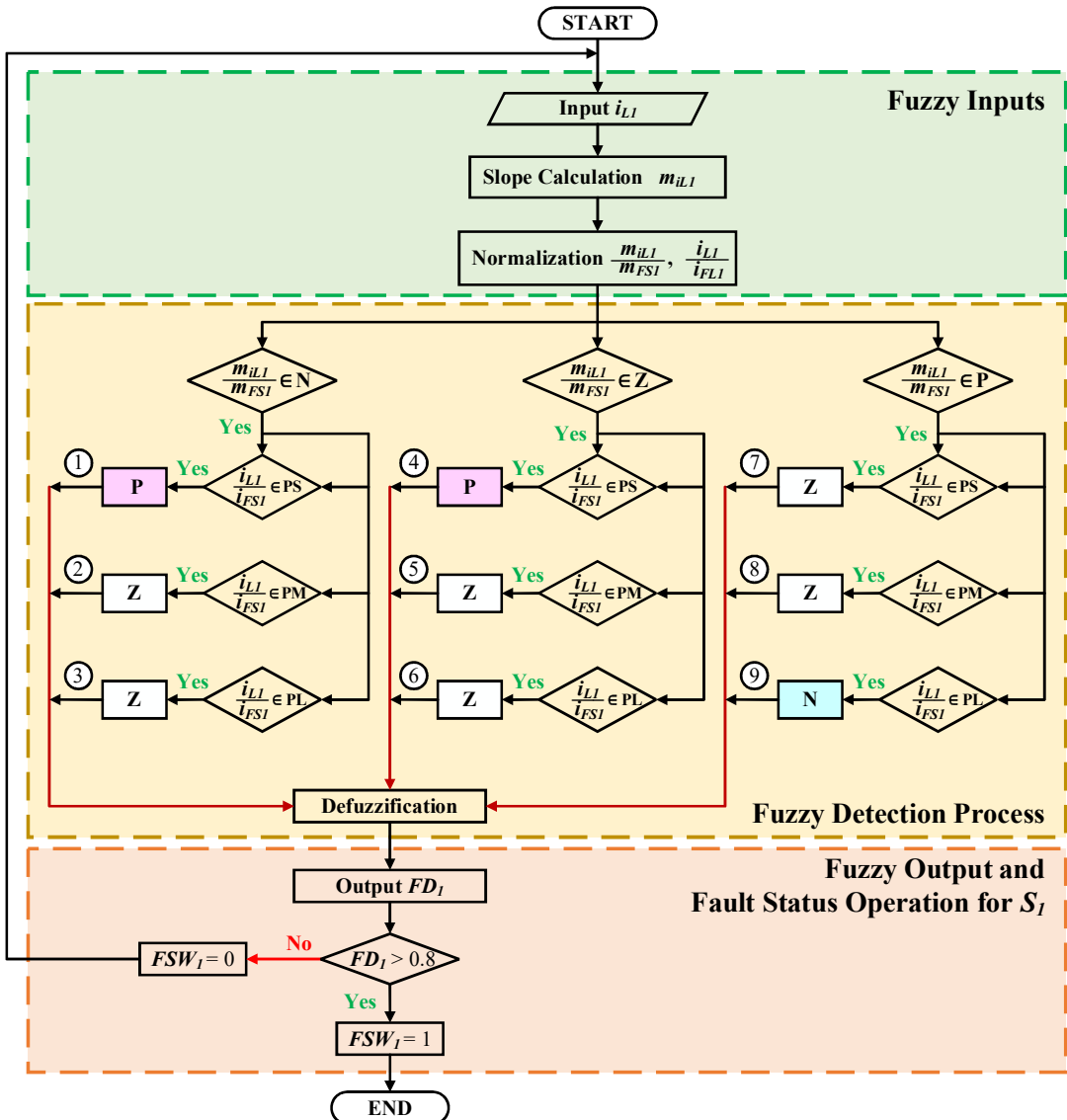


รูปที่ 5.17 โครงสร้างการควบคุมฟัชซีที่พัฒนาขึ้นร่วมกับการตรวจจับความผิดพร่องแบบสวิตช์เปิด วงจร

ในกระบวนการตรวจจับความผิดพร่องแบบสวิตช์เปิดจะจะแสดงผลเอาต์พุตที่เป็นสถานะการตรวจจับความผิดพร่องของสวิตช์ทั้งสามตัว (FSW_1, FSW_2, FSW_3) โดยหากการทำงานของวงจรอยู่ในสภาพปกติ (Healthy mode) สถานะการตรวจจับความผิดพร่องของสวิตช์จะแสดงค่าเป็นศูนย์ ($FSW_n = 0$) แต่หากเกิดความผิดพร่อง (Faulty mode) สถานะการตรวจจับความผิดพร่องของสวิตช์จะแสดงค่าเป็นหนึ่ง ($FSW_n = 1$) ในการตรวจจับความผิดพร่องแบบสวิตช์เปิดของสวิตช์แต่ละตัวมีวิธีการที่แตกต่างกัน ซึ่งเกิดจากการสังเกตพฤติกรรมที่เกิดขึ้นเมื่อเกิดความผิดพร่องแบบสวิตช์เปิดของสวิตช์แต่ละตัว และนำไปสู่การพัฒนาวิธีการตรวจจับความผิดพร่องโดยใช้ตรรกศาสตร์คลุมเครือ หรือฟัชซีโลจิก (Fuzzy logic) โดยมีเนื้อหาดังต่อไปนี้

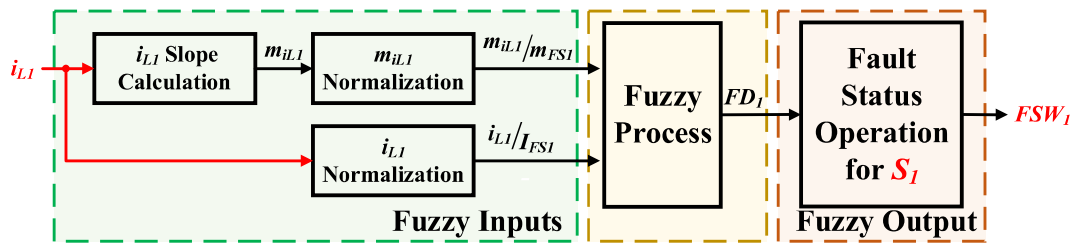
5.3.1 การตรวจจับความผิดพร่องที่ S_1

จากการสังเกตพฤติกรรมของวงจรเมื่อการเกิดความผิดพร่องแบบสวิตช์เปิดวงจรที่ S_1 จะเห็นได้ว่ากระแส i_{L1} และ m_{iL1} มีการเปลี่ยนแปลงที่รวดเร็วอย่างเห็นได้ชัด แผนภาพวิธีการตรวจจับความผิดพร่องที่ S_1 แสดงดังรูปที่ 5.18



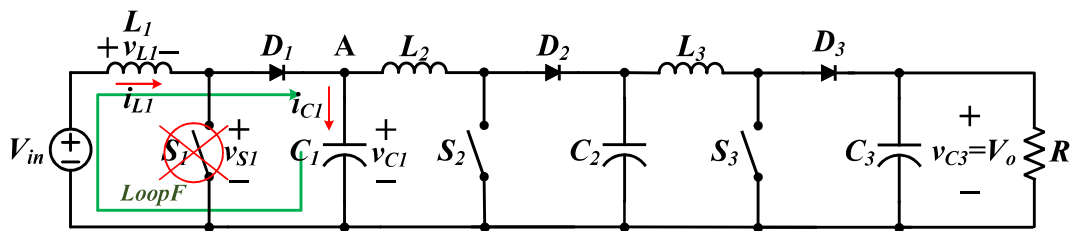
รูปที่ 5.18 แผนภาพวิธีการตรวจจับความผิดพร่องที่ S_1

จากแผนภาพวิธีการตรวจจับความผิดพร่องที่ S_1 ที่แสดงดังรูปที่ 5.19 อินพุตของการตรวจจับความผิดพร่องที่ S_1 ประกอบด้วย ความชันของกระแสที่เหลือผ่านตัวเหนี่ยวนำตัวที่ 1 (m_{iL1}) และกระแส i_{L1} ที่ถูกปรับค่าสเกลในกระบวนการอ้อมแล้วโดยใช้ค่าความชันของกระแสขณะเกิดความผิดพร่องที่ S_1 (m_{FS1}) และกระแสที่เหลือผ่าน L_1 ในสภาพปกติ (i_{FS1}) ตามลำดับ ซึ่งจะถูกกล่าวถึงในขั้นถัดไป



รูปที่ 5.19 โครงสร้างของการตรวจจับความผิดพร่องที่ S_1

จากโครงสร้างของการตรวจจับความผิดพร่องที่ S_1 ดังแสดงในรูปที่ 5.19 จะเห็นได้ว่า อนพุตค่าแรกเริ่มจากการคำนวณค่าความชันของ i_{L1} ให้ได้ค่าความชัน m_{iL1} จากนั้นจะเข้าสู่กระบวนการ m_{iL1} Normalization เพื่อปรับค่าสเกลด้วย m_{FS1} ที่ได้จากการพิจารณาจะแปลงผันกำลังไฟฟ้าแบบบูสต์เรียงต่อกันสามขั้นเมื่อเกิดความผิดพร่องที่ S_1 ที่แสดงในรูปที่ 5.20



รูปที่ 5.20 วงจรแปลงผันกำลังไฟฟ้าแบบบูสต์เรียงต่อกันสามขั้นเมื่อเกิดความผิดพร่องที่ S_1

จากการวิเคราะห์วงจรแปลงผันกำลังไฟฟ้าแบบบูสต์เรียงต่อกันสามขั้นในบทที่ 3 ในสภาพปกติ (Healthy mode) สามารถพิจารณาค่า v_{C1} ได้จากอัตราขยายแรงดันของวงจรแปลงผันกำลังไฟฟ้าแบบบูสต์ขั้นที่ 1 สมการที่ (3.24) ซึ่งจะสามารถวิเคราะห์หาขนาด m_{FS1} จากกฎแรงดันไฟฟ้าของเคอร์ซอฟฟ์ดังสมการที่ (5.1)

$$\text{ลูป F : } -V_{in} + v_{L1} + v_{C1} = 0$$

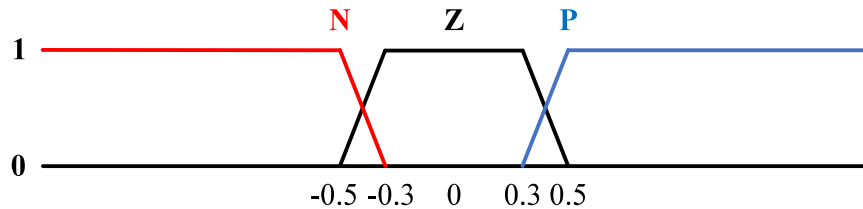
$$m_{FS1} = \left| \frac{di_{L1}}{dt} \right| = \left| \frac{V_{in} - V_{C1}}{L_1} \right| = \frac{V_{in}D}{L_1(1-D)} \quad (5.1)$$

อนพุตค่าที่สองของกระบวนการที่ซึ่งเป็น i_{L1} ที่ปรับค่าสเกลด้วย i_{FS1} โดยคำนวณ i_{FS1} ได้ดังสมการที่ (5.2) ซึ่งพิจารณาได้จากอัตราขยายกระแสของวงจรแปลงผันกำลังไฟฟ้าแบบบูสต์เรียงต่อกันสามขั้นในบทที่ 3 จากสมการ (3.32)

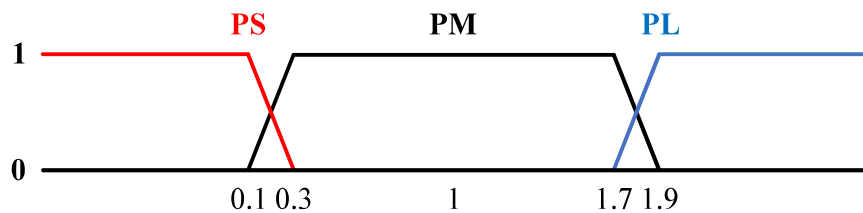
$$i_{FS1} = \frac{I_o}{M_i} = \frac{V_{ref}}{R(1-D)^3} \quad (5.2)$$

ดังนั้นเมื่อพิจารณาค่าพารามิเตอร์ต่าง ๆ ที่ได้กำหนดไว้ในตารางที่ 3.3 และ 3.4 ในบทที่ 3 จะสามารถคำนวณค่า m_{FS1} และ i_{FS1} เท่ากับ 2,319A/s และ 5A ตามลำดับ

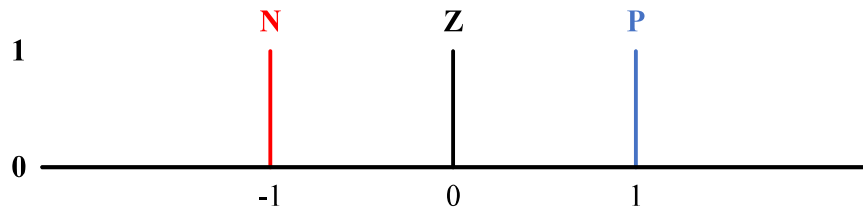
จากผลตอบสนองการทำงานของวงจรแปลงผันกำลังไฟฟ้าแบบบูสต์เรียงต่อกันสามขั้น เมื่อเกิดความผิดพร่องที่ S_1 สามารถพิจารณาฟังก์ชัน samaชิกะระหว่างฟซีเซตของค่า m_{IL1} และ i_{L1} ที่ถูกนอร์มัลไลซ์ (Normalization) ในขอบเขตที่เหมาะสม ดังรูปที่ 5.21 และ 5.22 ตามลำดับ ซึ่งได้จากการสังเกตพุทธิกรรมการทำงานของวงจร



รูปที่ 5.21 ฟังก์ชัน samaชิกอินพุต m_{IL1}/m_{FS1}



รูปที่ 5.22 ฟังก์ชัน samaชิกอินพุต i_{L1}/i_{FS1}



รูปที่ 5.23 ฟังก์ชัน samaชิกเอตพตค่าสัญญาณความผิดพร่องที่สวิตซ์ตัวที่ 1 (FD_1)

จากการสังเกตพฤติกรรมการทำงานของวงจร จะกำหนดรูปร่างของฟังก์ชันสมาชิก อินพุตทั้งสองเป็นแบบเหลี่ยมคงที่ และพิจารณาค่าเชิงภาษาของฟังก์ชันสมาชิกได้ดังนี้ ฟังก์ชันสมาชิกอินพุต m_{IL1}/m_{FS1} กำหนดค่าเชิงภาษาของฟังก์ชันสมาชิก 3 เซต ได้แก่ “Negative: N”, “Zero: Z” และ “Positive: P” ส่วนฟังก์ชันสมาชิกอินพุต i_{L1}/i_{FS1} กำหนดค่าเชิงภาษาของฟังก์ชันสมาชิก 3 เซต ได้แก่ “Positive Small: PS”, “Positive Medium: PM” และ “Positive Large: PL” ส่วนฟังก์ชันสมาชิกເອົາຕຸພຸດສໍາຮັບການຕຽບຄວາມຜິດພ່ອງທີ່ S_1 ຄືສັບຫຍາລືຄວາມຜິດພ່ອງທີ່ $S_1 (FD_1)$ ຈະໃຊ້ຮູປ່າງຂອງຟັງຈີນສໍາເລັດເປັນຄໍາຄົງທີ່ເສັ້ນຕຽບໂທນທີ່ມີ 3 ຄໍາປະກອບດ້ວຍ “Negative: N”, “Zero: Z” ແລະ “Positive: P” ດັ່ງຮູບທີ່ 5.2 ຈຶ່ງເປັນຮູປ່າງກາຮອນໝານຟ້ຳແບບ Sugeno (Sugeno fuzzy inference)

ຄວາມສົມພັນຮູບຂອງອີນພູດ m_{IL1}/m_{FS1} ແລະ i_{L1}/i_{FS1} ແລະເອົາຕຸພຸດຄືອ FD_1 ສາມາຄະແສດງໄດ້ດັ່ງຕາງໆທີ່ 5.2 ກາຮອກແບບກູ້ຂອງຟ້ຳທີ່ວ່າງຕົວແປຣທີ່ 3 ມີດັ່ງນີ້

- 1st IF $m_{IL1}/m_{FS1} = N$ AND $i_{L1}/i_{FS1} = PS$ THEN $FD_1 = P$
- 2nd IF $m_{IL1}/m_{FS1} = N$ AND $i_{L1}/i_{FS1} = PM$ THEN $FD_1 = Z$
- 3rd IF $m_{IL1}/m_{FS1} = N$ AND $i_{L1}/i_{FS1} = PL$ THEN $FD_1 = Z$
- 4th IF $m_{IL1}/m_{FS1} = Z$ AND $i_{L1}/i_{FS1} = PS$ THEN $FD_1 = P$
- 5th IF $m_{IL1}/m_{FS1} = Z$ AND $i_{L1}/i_{FS1} = PM$ THEN $FD_1 = Z$
- 6th IF $m_{IL1}/m_{FS1} = Z$ AND $i_{L1}/i_{FS1} = PL$ THEN $FD_1 = Z$
- 7th IF $m_{IL1}/m_{FS1} = P$ AND $i_{L1}/i_{FS1} = PS$ THEN $FD_1 = Z$
- 8th IF $m_{IL1}/m_{FS1} = P$ AND $i_{L1}/i_{FS1} = PM$ THEN $FD_1 = Z$
- 9th IF $m_{IL1}/m_{FS1} = P$ AND $i_{L1}/i_{FS1} = PL$ THEN $FD_1 = N$

ຕາງໆທີ່ 5.2 ນ່າຍຄວາມຈຳຟ້ຳສົມພັນຮູບກາຮອນໝານຟ້ຳທີ່ 1

i_{L1}/i_{FS1}	m_{IL1}/m_{FS1}	N	Z	P
PS		P	P	Z
PM		Z	Z	Z
PL		Z	Z	N

จากหน่วยความจำฟ์ซีสัมพันธ์ที่ใช้ตรวจสอบความผิดพร่องของสวิตช์ตัวที่ 1 นั้น ค่า เอ้าต์พุต FD_1 ที่ได้จากการทำดีฟ์ซีจะมีค่าอยู่ในช่วง -1 ถึง 1 โดยค่า FD_1 ที่เป็นลบ บ่งบอกถึงการ ทำงานของวงจรในสภาพะปกติ ในขณะที่ค่า FD_1 ที่เป็นบวก บ่งบอกถึงสภาพะที่เกิดความผิดพร่องเพื่อให้ การตรวจสอบมีความถูกต้องและรวดเร็ว จึงได้กำหนดขอบเขตการตรวจสอบความผิดพร่องของเอ้าต์พุต FD_1 ไว้ที่ 0.8 กล่าวคือ หากค่า FD_1 น้อยกว่า 0.8 อาจทำให้การตรวจสอบความผิดพร่องเกิดความ ผิดพลาดในช่วงที่วงจรมีการเปลี่ยนจุดการทำงาน หากกำหนดค่า FD_1 ให้มากกว่า 0.8 จะส่งผลให้ ระยะเวลาในการตรวจสอบความผิดพร่องนานขึ้น ดังแสดงในรูปที่ 5.18 ซึ่งแสดงกระบวนการระบุสถานะ ความผิดพร่องที่สวิตช์ S_1

จากการสังเกตพฤติกรรมการทำงานของวงจรแปลงผันกำลังไฟฟ้าแบบบุสต์เรียงต่อ กันสามชั้นภายใต้การควบคุมฟ์ซีที่พัฒนาขึ้นทั้งในสภาพะปกติและสภาพะเกิดความผิดพร่องที่ S_1 สามารถออกแบบความสัมพันธ์ของอินพุตในการตรวจสอบความผิดพร่องแสดงในรูปของกฎทางฟ์ซีดัง แสดงในตารางที่ 5.2 สามารถอธิบายตัวอย่างการตรวจสอบความผิดพร่องที่ S_1 ได้ดังนี้

กรณีที่ 1 m_{iL1}/m_{FS1} เป็นสมาชิกของเซตlob ($m_{iL1}/m_{FS1} \in N$) ก็ต่อเมื่อ m_{iL} มีค่า น้อยกว่า -0.3 เท่าของ m_{FS1} กระบวนการฟ์ซีของ i_{L1} ณ เวลาใด ๆ พบร่วมมีความเป็นไปได้ที่จะเข้า เงื่อนไขกฎฟ์ซีข้อที่ 1 ถึงกฎที่ 3 กระบวนการดังกล่าวสามารถอธิบายได้ดังนี้

- 1) กฎฟ์ซีข้อที่ 1 เมื่อ i_{L1}/i_{FS1} เป็นบวกค่าน้อยอยู่ในเซต PS หมายถึง i_{L1} ณ เวลา ที่พิจารณา มีค่าต่ำกว่า 0.3 เท่าของ i_{FS1} ดังนั้นตัวตรวจสอบความผิดพร่องต้อง สร้าง FD_1 ที่เป็นบวก (P) จะแสดงถึงการทำงานของวงจรในสภาพะนี้เกิด ความผิดพร่องที่ S_1
- 2) กฎฟ์ซีข้อที่ 2 เมื่อ i_{L1}/i_{FS1} มีค่าบวกปานกลางอยู่ในเซต PM หมายถึง i_{L1} ณ เวลาที่พิจารณา มีค่าอยู่ในช่วง 0.1 ถึง 1.9 เท่าของ i_{FS1} ดังนั้นตัวตรวจสอบ ความผิดพร่องต้องสร้าง FD_1 ที่เป็นศูนย์ (Z) จะแสดงถึงการทำงานของวงจรใน สภาพะนี้เป็นการทำงานปกติ
- 3) กฎฟ์ซีข้อที่ 3 เมื่อ i_{L1}/i_{FS1} มีค่าบวกปานกลางอยู่ในเซต PM หมายถึง i_{L1} ณ เวลาที่พิจารณา มีค่าเกิน 1.7 เท่าของ i_{FS1} ดังนั้นตัวตรวจสอบความผิดพร่องต้อง สร้าง FD_1 ที่เป็นศูนย์ (Z) ซึ่งแสดงถึงสภาพะการทำงานของวงจรแบบปกติ

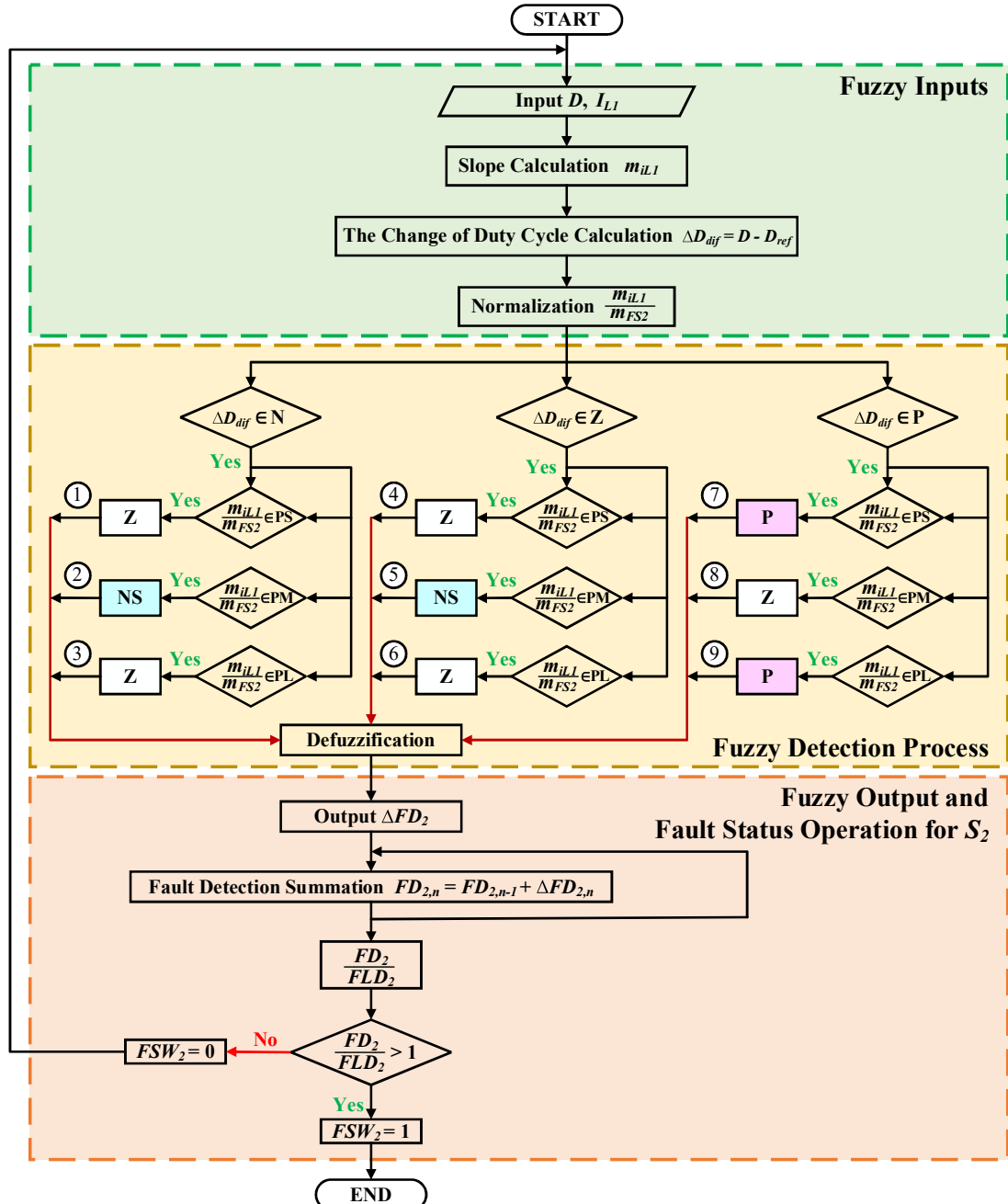
กรณีที่ 2 m_{iL1}/m_{FS1} เป็นสมาชิกของเซตศูนย์ ($m_{iL1}/m_{FS1} \in Z$) ก็ต่อเมื่อ m_{iL} มีค่า อยู่ในช่วง -0.5 ถึง 0.5 เท่าของ m_{FS1} กระบวนการฟ์ซีของ i_{L1} ณ เวลาใด ๆ พบร่วมมีความเป็นไปได้ ที่จะเข้าเงื่อนไขกฎฟ์ซีข้อที่ 4 ถึงกฎที่ 6 กระบวนการดังกล่าวสามารถอธิบายได้ดังนี้

- 4) กฎพื้นที่ข้อที่ 4 เมื่อ i_{L1}/i_{FS1} มีค่าบวกน้อยอยู่ในเขต PS หมายถึง i_{L1} ณ เวลาที่พิจารณา มีค่าต่ำกว่า 0.3 เท่าของ i_{FS1} ดังนั้นตัวตรวจจับความผิดพร่องต้องสร้าง FD_1 ที่เป็นบวก (P) จะแสดงถึงการทำงานของวงจรในสภาพะนี้เกิดความผิดพร่องที่ S_1
- 5) กฎพื้นที่ข้อที่ 5 เมื่อ i_{L1}/i_{FS1} มีค่าบวกปานกลางอยู่ในเขต PM หมายถึง i_{L1} ณ เวลาที่พิจารณา มีค่าอยู่ในช่วง 0.1 ถึง 1.9 เท่าของ i_{FS1} ดังนั้นตัวตรวจจับความผิดพร่องต้องสร้าง FD_1 ที่เป็นศูนย์ (Z) จะแสดงถึงการทำงานของวงจรในสภาพะนี้เป็นการทำงานปกติ
- 6) กฎพื้นที่ข้อที่ 6 เมื่อ i_{L1}/i_{FS1} มีค่าบวกปานกลางอยู่ในเขต PM หมายถึง i_{L1} ณ เวลาที่พิจารณา มีค่าเกิน 1.7 เท่าของ i_{FS1} ดังนั้นตัวตรวจจับความผิดพร่องต้องสร้าง FD_1 ที่เป็นศูนย์ (Z) ซึ่งแสดงถึงสภาพะการทำงานของวงจรแบบปกติ กรณีที่ $3 m_{iL1}/m_{FS1}$ เป็นสมาชิกของเซตศูนย์ ($m_{iL1}/m_{FS1} \in Z$) ก็ต่อเมื่อ m_{iL} มีค่ามากกว่า 0.3 เท่าของ m_{FS1} กระบวนการฟื้นฟูของ i_{L1} ณ เวลาใด ๆ พบร่วมมีความเป็นไปได้ที่จะเข้าเงื่อนไขกฎพื้นที่ 7 ถึงกฎที่ 9 กระบวนการดังกล่าวสามารถอธิบายได้ดังนี้
- 7) กฎพื้นที่ข้อที่ 4 เมื่อ i_{L1}/i_{FS1} มีค่าบวกน้อยอยู่ในเขต PS หมายถึง i_{L1} ณ เวลาที่พิจารณา มีค่าต่ำกว่า 0.3 เท่าของ i_{FS1} ดังนั้นตัวตรวจจับความผิดพร่องต้องสร้าง FD_1 ที่เป็นบวก (P) ซึ่งแสดงถึงสภาพะการทำงานของวงจรแบบปกติ
- 8) กฎพื้นที่ข้อที่ 5 เมื่อ i_{L1}/i_{FS1} มีค่าบวกปานกลางอยู่ในเขต PM หมายถึง i_{L1} ณ เวลาที่พิจารณา มีค่าอยู่ในช่วง 0.1 ถึง 1.9 เท่าของ i_{FS1} ดังนั้นตัวตรวจจับความผิดพร่องต้องสร้าง FD_1 ที่เป็นศูนย์ (Z) จะแสดงถึงการทำงานของวงจรในสภาพะนี้เป็นการทำงานปกติ
- 9) กฎพื้นที่ข้อที่ 6 เมื่อ i_{L1}/i_{FS1} มีค่าบวกปานกลางอยู่ในเขต PM หมายถึง i_{L1} ณ เวลาที่พิจารณา มีค่าเกิน 1.7 เท่าของ i_{FS1} ดังนั้นตัวตรวจจับความผิดพร่องต้องสร้าง FD_1 ที่เป็นศูนย์ (Z) ซึ่งแสดงถึงสภาพะการทำงานของวงจรแบบปกติ

5.3.2 การตรวจจับความผิดพร่องที่ S_2

จากการสังเกตพฤติกรรมของวงจรเมื่อการเกิดความผิดพร่องแบบสวิตช์เปิดวงจรที่ S_2 พบร่วมสัญญาณ D และ m_{iL1} มีการเปลี่ยนแปลงอย่างเห็นได้ชัด จึงพิจารณาค่าดังกล่าวเป็นอินพุตสำหรับการตรวจจับความผิดพร่องที่ S_2 โดยแผนภาพวิธีการตรวจจับความผิดพร่องที่ S_2 แสดงดังรูปที่ 5.24 โดยค่าสัญญาณความผิดพร่องที่ S_2 (FD_2) ในปัจจุบัน จะได้จากการนำค่าสัญญาณความผิดพร่องที่ S_2

ก่อนหน้านี้ ($FD_{2,n-1}$) บวกกับสัญญาณการเปลี่ยนแปลงค่าความผิดพร่องที่สวิตช์ตัวที่ 2 (ΔFD_2) ที่สร้างขึ้นในขณะนั้น ๆ

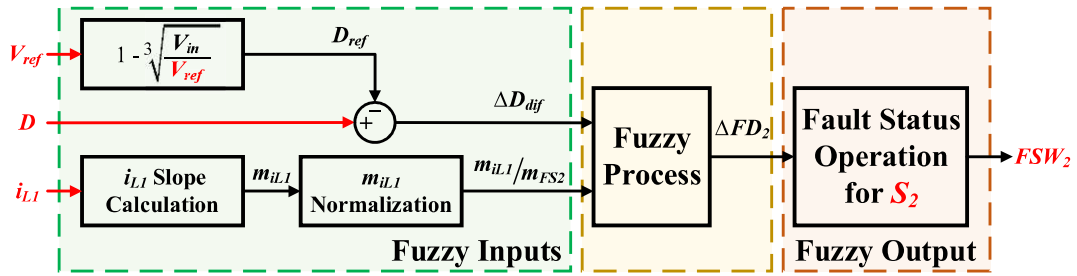


รูปที่ 5.24 แผนภาพวิธีการตรวจจับความผิดพร่องที่ S_2

จากแผนภาพวิธีการตรวจจับความผิดพร่องที่ S_2 ที่แสดงดังรูปที่ 5.15 อินพุตของการตรวจจับความผิดพร่องที่ S_2 ประกอบด้วย ได้แก่ สัญญาณค่าผลต่างของค่าวัสดุจกรหน้าที่ของสวิตช์

(ΔD_{dif}) และ ความชันของกระแสที่โหลดผ่านตัวเหนี่ยวนำตัวที่ 1 (m_{IL1}) ที่ถูกปรับค่าสเกลในกระบวนการนอร์มัลайซ์ด้วยค่าความชันของกระแสขณะเกิดความผิดพร่องที่ S_2 (m_{FS2}) ซึ่งจะถูกกล่าวถึงในข้อต่อไป

อินพุตค่าแรกก่อนเข้ากระบวนการฟิลเตอร์เป็น ΔD_{dif} ดังสมการที่ (5.3) โดย D_{ref} เป็นค่าวัสดุจกรหน้าที่อ้างอิงของสวิตซ์ ซึ่งได้จากการวิเคราะห์วงจรแปลงผันกำลังไฟฟ้าแบบบุสต์เรียงต่อกันสามชั้นในบทที่ 3 ในสภาพปกติ (Healthy mode) โดยที่ V_O เท่ากับ V_{ref} และ V_{in} มีขนาดประมาณ 20V จากอัตราขยายแรงดันของวงจรแปลงผันกำลังไฟฟ้าแบบบุสต์เรียงต่อกันสามชั้นสมการที่ (3.26) สามารถคำนวณ D_{ref} ได้ดังสมการที่ (5.4)



รูปที่ 5.25 โครงสร้างของการตรวจจับความผิดพร่องที่ S_2

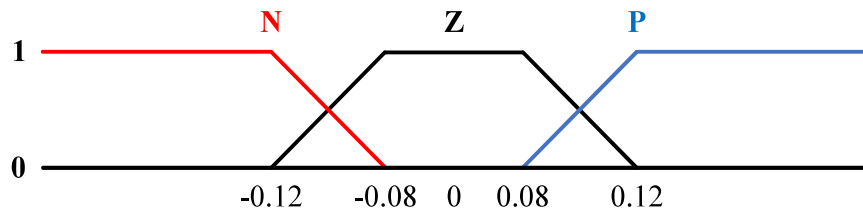
$$\Delta D_{dif} = D - D_{ref} \quad (5.3)$$

$$D_{ref} = 1 - \sqrt[3]{\frac{V_{in}}{V_{ref}}} \quad (5.4)$$

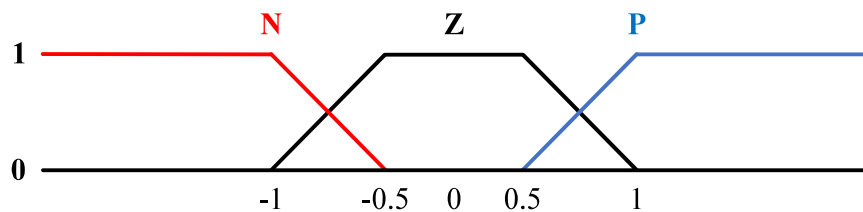
อินพุตค่าที่สองเริ่มจากการคำนวณค่าความชันของ i_{L1} ให้ได้ค่า m_{IL1} จากนั้นจะเข้าสู่กระบวนการ m_{IL1} Normalization เพื่อปรับค่าสเกลด้วย m_{FS2} ที่ได้จากการศึกษาพฤติกรรมของวงจรแปลงผันกำลังไฟฟ้าแบบบุสต์เรียงต่อกันสามชั้นภายใต้การควบคุมพิชชีที่พัฒนาขึ้นในสภาพปกติโดยที่ m_{IL1} มีค่าการเปลี่ยนแปลงอยู่ในช่วง $-100A/s$ ถึง $100A/s$ ดังนั้นจึงกำหนดค่า m_{FS2} เป็นสองเท่าของ m_{ref} สมการที่ (4.3) ซึ่งได้จากการออกแบบควบคุมพิชชีสำหรับวงจรแปลงผันกำลังไฟฟ้าแบบบุสต์เรียงต่อกันสามชั้นในบทที่ 4 ดังนั้น m_{FS2} คำนวณได้ดังสมการที่ (5.5)

$$m_{FS2} = 2m_{ref} \quad (5.5)$$

ดังนั้นหากกำหนดให้แรงดัน V_{ref} ไว้ที่ 400V และพิจารณาค่าพารามิเตอร์ของตัวควบคุมฟลัชซีที่พัฒนาขึ้นในตารางที่ 4.3 จะสามารถคำนวณค่า D_{ref} และ m_{FS2} เท่ากับ 0.635 และ 200A/s ตามลำดับ และจากผลตอบสนองการทำงานของวงจรแปลงผันกำลังไฟฟ้าแบบบูสต์เรียงต่อกันสามชั้น เมื่อเกิดความผิดพร่องที่ S_2 สามารถพิจารณาฟังก์ชันสมาชิกระหว่างฟลัชซีเซตของค่า ΔD_{dif} และ m_{IL1} ที่ถูกปรับค่าให้เป็นบรรหัดฐาน (Normalization) อยู่ในขอบเขต ดังรูปที่ 5.26 และ 5.27 ตามลำดับ ซึ่งได้จากการสังเกตพฤติกรรมการทำงานของวงจร



รูปที่ 5.26 ฟังก์ชันสมาชิกอินพุต ΔD_{dif}



รูปที่ 5.27 ฟังก์ชันสมาชิกอินพุต m_{IL1}/m_{FS2}

ฟังก์ชันสมาชิกอินพุตทั้งสองจะใช้รูปประจำของฟังก์ชันสมาชิกเป็นแบบเหลี่ยมคงที่ ฟังก์ชันสมาชิก ΔD_{dif} และ m_{IL1}/m_{FS2} กำหนดค่าเชิงภาษาของฟังก์ชันสมาชิก 3 เซต ได้แก่ “Negative: N”, “Zero: Z” และ “Positive: P” ส่วนฟังก์ชันสมาชิกเอาต์พุตสำหรับการตรวจจับความผิดพร่องที่ S_2 คือ สัญญาณการเปลี่ยนแปลงค่าความผิดพร่องที่สวิตช์ตัวที่ 2 (ΔFD_2) จะใช้รูปประจำของฟังก์ชันสมาชิกเป็นค่าคงที่เส้นตรงโทนที่มี 3 ค่าประกอบด้วย “Negative Small: NS”, “Zero: Z” และ “Positive: P” ดังรูปที่ 5.28 ซึ่งเป็นรูปแบบการอนุมานฟลัชซีแบบ Sugeno (Sugeno fuzzy inference)



รูปที่ 5.28 ฟังก์ชันสมาชิกการเปลี่ยนแปลงการตรวจจับความผิดพร่องที่ S_2 (ΔFD_2)

จากค่าเชิงภาษาของฟังก์ชันสมาชิก ΔFD_2 ดังแสดงในรูปที่ 5.28 ได้กำหนดค่าเชิงภาษาของ Negative Small ที่ค่า -0.05 ซึ่งไม่สมมาตรกับ Positive ที่ค่า 1 นั้น จากการสังเกตพฤติกรรมการทำงานของวงจรแปลงผันกำลังไฟฟ้าแบบบุสต์เรียงต่อกันสามขั้นภายในตัวการควบคุมพัฒนาขึ้น พบว่าผลตอบสนองของการทำงานของวงจรบางกรณีเมื่อเปลี่ยนจุดการทำงานของวงจรคล้ายคลึงกับการทำงานของวงจรเมื่อเกิดความผิดพร่องที่ S_2 ซึ่งจะถูกกล่าวถึงในขั้นถัดไปในหัวข้อกระบวนการแสดงสถานะความผิดพร่องที่ S_2

ความสัมพันธ์ของอินพุต ΔD_{dif} และ m_{IL1}/m_{FS2} และเอาต์พุต ΔFD_2 สามารถแสดงได้ดังตารางที่ 5.3 การออกแบบกฎพัฒนาเป็น 9 กฎมีดังนี้

- 1st IF $\Delta D_{dif} = N$ AND $m_{IL1}/m_{FS2} = N$ THEN $\Delta FD_2 = Z$
- 2nd IF $\Delta D_{dif} = N$ AND $m_{IL1}/m_{FS2} = Z$ THEN $\Delta FD_2 = NS$
- 3rd IF $\Delta D_{dif} = N$ AND $m_{IL1}/m_{FS2} = P$ THEN $\Delta FD_2 = Z$
- 4th IF $\Delta D_{dif} = Z$ AND $m_{IL1}/m_{FS2} = N$ THEN $\Delta FD_2 = Z$
- 5th IF $\Delta D_{dif} = Z$ AND $m_{IL1}/m_{FS2} = Z$ THEN $\Delta FD_2 = NS$
- 6th IF $\Delta D_{dif} = Z$ AND $m_{IL1}/m_{FS2} = P$ THEN $\Delta FD_2 = Z$
- 7th IF $\Delta D_{dif} = P$ AND $m_{IL1}/m_{FS2} = N$ THEN $\Delta FD_2 = P$
- 8th IF $\Delta D_{dif} = P$ AND $m_{IL1}/m_{FS2} = Z$ THEN $\Delta FD_2 = Z$
- 9th IF $\Delta D_{dif} = P$ AND $m_{IL1}/m_{FS2} = P$ THEN $\Delta FD_2 = P$

ตารางที่ 5.3 หน่วยความจำพัฒนาเพื่อการตรวจสอบความผิดพร่องของสวิตช์ตัวที่ 2

ΔD_{dif}	N	Z	P
m_{IL1}/m_{FS2}	Z	Z	P
N	Z	Z	P
Z	NS	NS	Z
P	Z	Z	P

จากหน่วยความจำพัฒนาเพื่อการตรวจสอบความผิดพร่องของสวิตช์ตัวที่ 2 ข้างต้น เอาต์พุต ΔFD_2 ที่ได้จากการทำดีฟซ์มีค่าอยู่ในช่วง -0.05 ถึง 1 โดยหากค่า ΔFD_2 ติดลบ จะแสดงถึงการทำงานของวงจรในสภาพะปกติ แต่หากค่า ΔFD_2 เป็นบวกจะแสดงถึงการทำงานของวงจรในสภาพะเกิดความผิดพร่องที่ S_2 การวิเคราะห์พฤติกรรมการทำงานของวงจรแปลงผันกำลังไฟฟ้า

แบบบูสต์เรียงต่อกันสามชั้น ทำให้สามารถถอดแบบกระบวนการทางฟ์ชีเพื่อตรวจจับความผิดพร่องที่ S_2 ได้ โดยกำหนดความสัมพันธ์ของอินพุตที่ใช้ในการตรวจจับความผิดพร่องในรูปของกฎฟ์ชี ซึ่งสามารถแสดงในรูปแบบของหน่วยความจำฟ์ชีสัมพันธ์ตามที่ปรากฏในตารางที่ 5.3 ตัวอย่างการตรวจจับความผิดพร่องที่ S_2 สามารถอธิบายได้ดังนี้

กรณีที่ 1 ΔD_{dif} เป็นสมาชิกของเซตลบ ($\Delta D_{dif} \in N$) ก็ต่อเมื่อ ΔD_{dif} มีค่าบวกกว่า -0.08 กระบวนการฟ์ชีของ m_{il1} ณ เวลาใด ๆ พบร่วมมีความเป็นไปได้ที่จะเข้าเงื่อนไขกฎฟ์ชีข้อที่ 1 ถึงกฎที่ 3 กระบวนการดังกล่าวสามารถอธิบายได้ดังนี้

- 1) กฎฟ์ชีข้อที่ 1 เมื่อ m_{il1}/m_{FS2} เป็นบวกอยู่ในเซต P หมายถึง m_{il1} ณ เวลาที่พิจารณา มีค่าต่ำกว่า -0.5 เท่าของ m_{FS2} ดังนั้นตัวตรวจจับความผิดพร่องต้องสร้าง ΔFD_2 ที่เป็นศูนย์ (Z) จะแสดงถึงการทำงานของวงจรในสภาพนี้เป็นการทำงานปกติ
- 2) กฎฟ์ชีข้อที่ 2 เมื่อ m_{il1}/m_{FS2} มีค่าเป็นศูนย์อยู่ในเซต Z หมายถึง m_{il1} ณ เวลาที่พิจารณา มีค่าอยู่ในช่วง $-m_{FS2}$ ถึง m_{FS2} ดังนั้นตัวตรวจจับความผิดพร่องต้องสร้าง ΔFD_2 ที่เป็นลบน้อย (NS) จะแสดงถึงการทำงานของวงจรในสภาพนี้เป็นการทำงานปกติ
- 3) กฎฟ์ชีข้อที่ 3 เมื่อ m_{il1}/m_{FS2} มีค่าบวกอยู่ในเซต P หมายถึง m_{il1} ณ เวลาที่พิจารณา มีค่าเกิน $0.5m_{FS2}$ ดังนั้นตัวตรวจจับความผิดพร่องต้องสร้าง ΔFD_2 ที่เป็นศูนย์ (Z) จะแสดงถึงการทำงานของวงจรในสภาพนี้เป็นการทำงานปกติ

กรณีที่ 2 ΔD_{dif} เป็นสมาชิกของเซตศูนย์ ($\Delta D_{dif} \in Z$) ก็ต่อเมื่อ ΔD_{dif} มีค่าอยู่ในช่วง -0.12 ถึง 0.12 กระบวนการฟ์ชีของ m_{il1} ณ เวลาใด ๆ พบร่วมมีความเป็นไปได้ที่จะเข้าเงื่อนไขกฎฟ์ชีข้อที่ 4 ถึงกฎที่ 6 กระบวนการดังกล่าวสามารถอธิบายได้ดังนี้

- 4) กฎฟ์ชีข้อที่ 4 เมื่อ m_{il1}/m_{FS2} เป็นบวกอยู่ในเซต P หมายถึง m_{il1} ณ เวลาที่พิจารณา มีค่าต่ำกว่า -0.5 เท่าของ m_{FS2} ดังนั้นตัวตรวจจับความผิดพร่องต้องสร้าง ΔFD_2 ที่เป็นศูนย์ (Z) จะแสดงถึงการทำงานของวงจรในสภาพนี้เป็นการทำงานปกติ
- 5) กฎฟ์ชีข้อที่ 5 เมื่อ m_{il1}/m_{FS2} มีค่าเป็นศูนย์อยู่ในเซต Z หมายถึง m_{il1} ณ เวลาที่พิจารณา มีค่าอยู่ในช่วง $-m_{FS2}$ ถึง m_{FS2} ดังนั้นตัวตรวจจับความผิดพร่องต้องสร้าง ΔFD_2 ที่เป็นลบน้อย (NS) จะแสดงถึงการทำงานของวงจรในสภาพนี้เป็นการทำงานปกติ

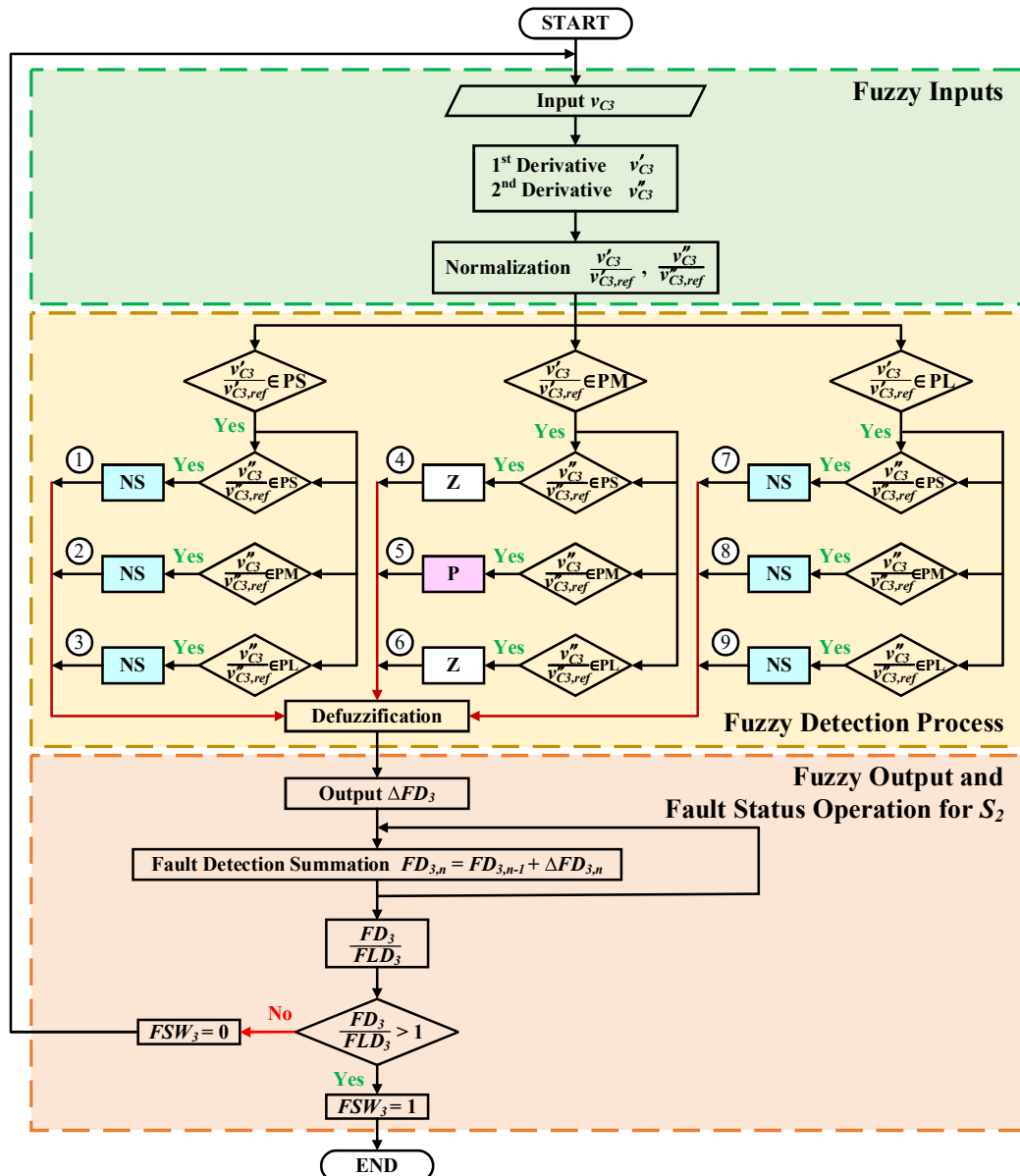
- 6) กฎพื้นที่ข้อที่ 6 เมื่อ m_{IL1}/m_{FS2} มีค่าบวกอยู่ในเขต P หมายถึง m_{IL1} ณ เวลาที่ พิจารณาไม่ค่าเกิน $0.5m_{FS2}$ ดังนั้นตัวตรวจจับความผิดพร่องต้องสร้าง ΔFD_2 ที่ เป็นศูนย์ (Z) จะแสดงถึงการทำงานของวงจรในสภาพะนี้เป็นการทำงานปกติ กรณีที่ 3 ΔD_{dfj} เป็นสมาชิกของเซตศูนย์ ($\Delta D_{dfj} \in Z$) ก็ต่อเมื่อ ΔD_{dfj} มีค่ามากกว่า 0.08 กระบวนการฟื้นฟูของ m_{IL1} ณ เวลาใด ๆ พบร่วมความเป็นไปได้ที่จะเข้าเงื่อนไขกฎพื้นที่ 7 ถึงกฎที่ 9 กระบวนการดังกล่าวสามารถอธิบายได้ดังนี้
- 7) กฎพื้นที่ข้อที่ 7 เมื่อ m_{IL1}/m_{FS2} เป็นบวกอยู่ในเขต P หมายถึง m_{IL1} ณ เวลาที่ พิจารณาไม่ค่าต่ำกว่า -0.5 เท่าของ m_{FS2} ดังนั้นตัวตรวจจับความผิดพร่องต้อง สร้าง ΔFD_2 ที่เป็นบวก (P) จะแสดงถึงการทำงานของวงจรในสภาพะนี้เกิด ความผิดพร่องที่ S_2
- 8) กฎพื้นที่ข้อที่ 8 เมื่อ m_{IL1}/m_{FS2} มีค่าเป็นศูนย์อยู่ในเขต Z หมายถึง m_{IL1} ณ เวลาที่พิจารณาไม่ค่าอยู่ในช่วง $-m_{FS2}$ ถึง m_{FS2} ดังนั้นตัวตรวจจับความผิดพร่อง ต้องสร้าง ΔFD_2 ที่เป็นลบน้อย (NS) จะแสดงถึงการทำงานของวงจรในสภาพะนี้ เป็นการทำงานปกติ
- 9) กฎพื้นที่ข้อที่ 9 เมื่อ m_{IL1}/m_{FS2} มีค่าบวกอยู่ในเขต P หมายถึง m_{IL1} ณ เวลาที่ พิจารณาไม่ค่าเกิน $0.5m_{FS2}$ ดังนั้นตัวตรวจจับความผิดพร่องต้องสร้าง ΔFD_2 ที่ เป็นบวก (P) จะแสดงถึงการทำงานของวงจรในสภาพะนี้เกิดความผิดพร่องที่ S_2

กระบวนการแสดงสถานะการผิดพร่องที่ S_2 จะแสดงสถานะการทำงานปกติ เมื่อ FWS_2 เป็น 0 โดยเมื่อเกิดความผิดพร่องที่ S_2 สถานะ FWS_2 จะเป็น 1 จะเห็นว่ากระบวนการแสดง สถานะการผิดพร่องที่ S_2 มีความแตกต่างจากการแสดงสถานะการผิดพร่องที่ S_1 เนื่องจาก พฤติกรรมการทำงานของวงจรกรณีเกิดการเปลี่ยนแปลงแรงดัน V_{in} จะทำให้ m_{IL1} จะมีค่าการ เปลี่ยนแปลงเกินช่วง $-m_{FS2}$ ถึง m_{FS2} ในระยะเวลาสั้น ๆ เท่านั้นดังที่แสดงในภาพขยายพฤติกรรมการ ทำงานของวงจรกรณีเปลี่ยนแปลงแรงดันอินพุตруปที่ 5.3 และ 5.4 ผลตอบสนองดังกล่าวตรวจกับกฎพื้นที่ของ การตรวจจับความผิดพร่องที่ S_2 ข้อที่ 7 และ 9 ที่ให้ ΔFD_2 เป็นบวก (P) จึงใช้วิธีการบวกสะสมค่าของ ΔFD_2 เข้าช่วงเพื่อให้การตรวจจับความผิดพร่องที่ S_2 มีความถูกต้องยิ่งขึ้น ค่าสัญญาณความผิดพร่องที่ S_2 (FD_2) สามารถพิจารณาได้จากสมการที่ (5.6)

$$FD_{2,n} = FD_{2,n-1} + \Delta FD_{2,n} \quad (5.6)$$

จากสมการคำนวณหาเออร์พุต FD_2 ที่กล่าวมาหากมีค่าเป็นบวกจะแสดงถึงการทำงานของจริงในที่มีความเป็นไปได้ที่จะเกิดสภาวะเกิดความผิดพร่อง เพื่อให้ได้การตรวจจับที่ถูกต้อง จึงกำหนดขอบเขตการตรวจจับความผิดพร่องของเออร์พุต FD_2 อยู่ในช่วงศูนย์ถึงค่าจำกัดการตรวจจับความผิดพร่องที่ S_2 (FLD_2) เพื่อหลีกเลี่ยงการตรวจจับผิดพลาดเมื่อมีการเปลี่ยนแปลงจุดการทำงาน จึงทำการศึกษาพฤติกรรมการทำงานของจริงภายใต้การเปลี่ยนแปลงจุดการทำงาน เพื่อให้ได้ค่า FLD_2 ที่เหมาะสม ซึ่งจะกล่าวในเนื้อหาถัดไป ดังนั้นเพื่อให้ได้การตรวจจับที่ถูกต้องกระบวนการแสดงสถานการณ์ผิดพร่องจะแสดงสถานะ FSW_2 เป็น 1 ก็ต่อเมื่อค่าสัญญาณ FD_2 หารด้วย FLD_2 มีค่ามากกว่า 1

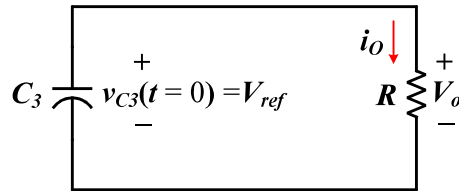
5.3.3 การตรวจจับความผิดพร่องที่ S_3



รูปที่ 5.29 แผนภาพวิธีการตรวจจับความผิดพร่องที่ S_3

จากการสังเกตพัฒนาระบบสิ่งที่ S_3 จะเห็นได้ว่า สัญญาณแรงดัน v_{C3} มีการเปลี่ยนแปลงอย่างเห็นได้ชัด จึงพิจารณาค่าดังกล่าวเป็นอินพุตสำหรับการตรวจจับความผิดพร่องที่ S_3 โดยแผนภาพวิธีการตรวจจับความผิดพร่องที่ S_3 แสดงดังรูปที่ 5.29 โดยที่ค่าสัญญาณความผิดพร่องที่ S_3 (FD_3) ในปัจจุบัน จะได้จากการนำค่าสัญญาณความผิดพร่องที่ S_3 ก่อนหน้านี้ ($FD_{3,n-1}$) บวกกับสัญญาณการเปลี่ยนแปลงค่าความผิดพร่องที่สวิตช์ตัวที่ 3 (ΔFD_3) ที่สร้างขึ้นในขณะนั้น ๆ

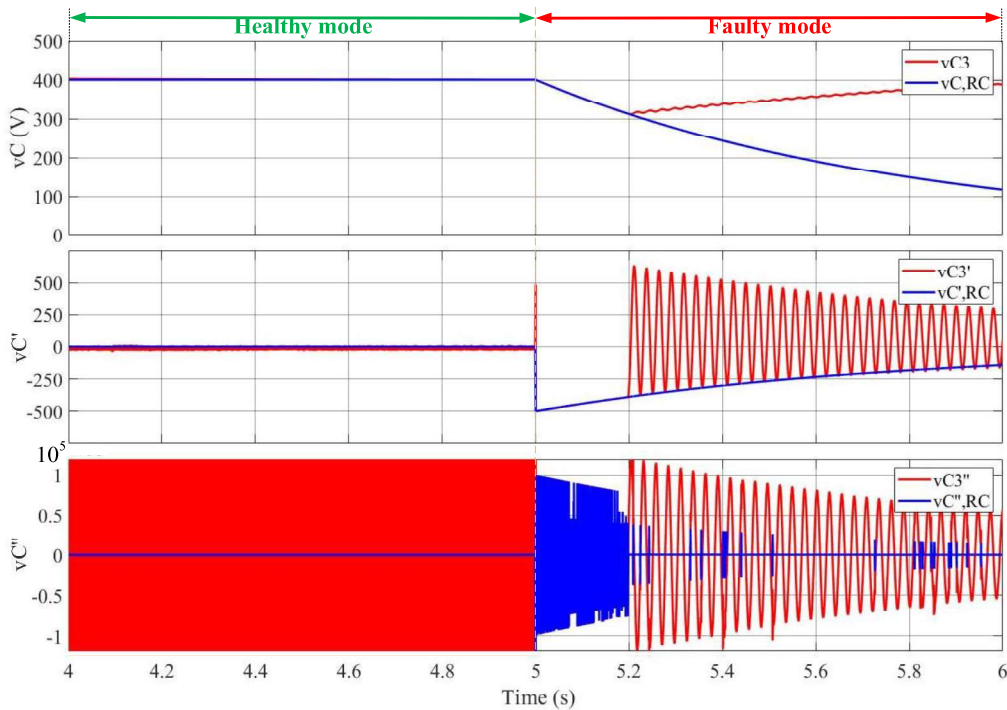
ผลตอบสนองของ v_{C3} เมื่อเกิดความผิดพร่องที่ S_3 พบร่วมมือค่าลดลงจากการหายประจุให้กับ R เนื่องจาก i_{L3} มีค่าเป็น 0A หันที่ที่เกิดความผิดพร่อง ซึ่งจะได้ว่าสมมูลเมื่อเกิดความผิดพร่องที่ S_3 ที่มีลักษณะคล้ายกับวงจร RC ที่มีแรงดันเริ่มต้นเท่ากับแรงดันอ้างอิง ดังแสดงในรูปที่ 5.30 ดังนั้นจะสามารถพิจารณา v_{C3} เมื่อเกิดความผิดพร่องที่ S_3 ได้จากการที่ (5.7)



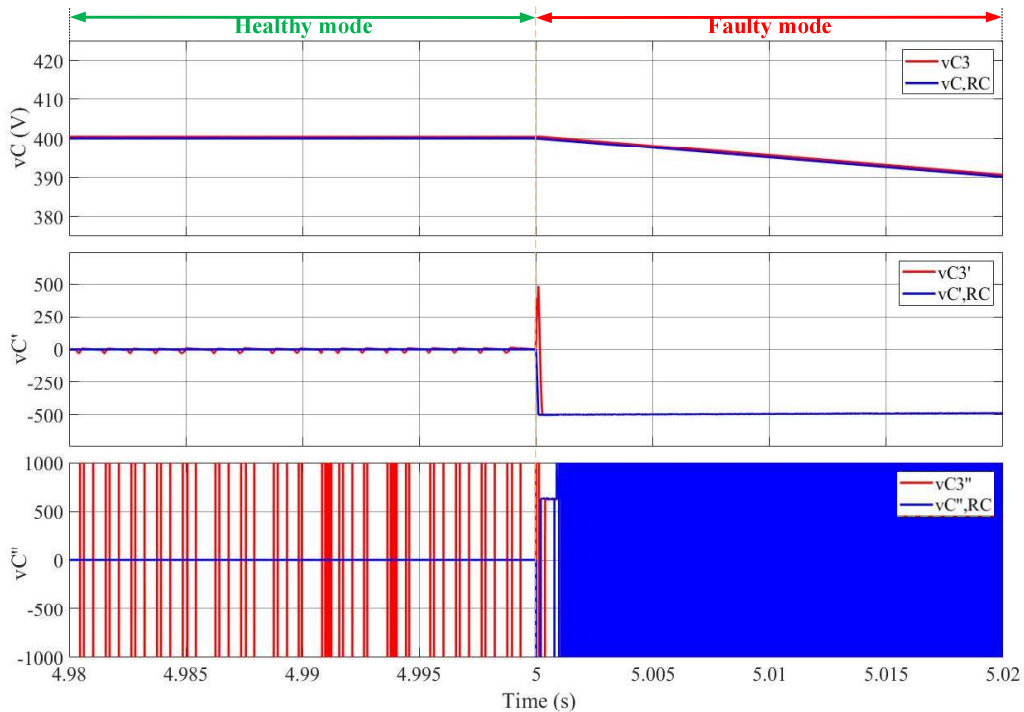
รูปที่ 5.30 วงจรสมมูลเมื่อเกิดความผิดพร่องที่ S_3

$$v_{C3} \quad t = V_{ref} e^{-\frac{t}{RC_3}} \quad (5.7)$$

การจำลองสถานการณ์วงจรแปลงผันกำลังไฟฟ้าแบบบูสต์เรียงต่อกันสามขั้นภาคใต้ตัวควบคุมพัชชีที่พัฒนาขึ้นเมื่อเกิดความผิดพร่องที่ S_3 เปรียบเทียบกับวงจร RC เมื่อ C_3 หายประจุให้โหลด R แสดงดังรูปที่ 5.31 โดยเกิดความผิดพร่องแบบสวิตช์เปิดวงจรที่ S_3 ณ วินาทีที่ 5 จะเห็นได้ว่าแรงดัน v_{C3} มีค่าลดลงจากการหายประจุให้กับ R และมีผลตอบสนองเหมือนกับวงจร RC หลังจากนั้นณ วินาทีที่ 5.2 แรงดัน v_{C3} มีค่าเพิ่มขึ้นเข้าหา V_{ref} เนื่องจากตัวควบคุมพัชชีพยายามควบคุมแรงดันให้ได้ตามต้องการโดยอาศัยสวิตช์สองตัวที่เหลือ ซึ่งยังคงทำงานได้ตามปกติ ส่วนค่าอนุพันธ์อันดับหนึ่งและค่าอนุพันธ์อันดับสองของ v_{C3} มีผลตอบสนองที่คล้ายกันในช่วงเวลาวินาทีที่ 5 ถึง 5.02



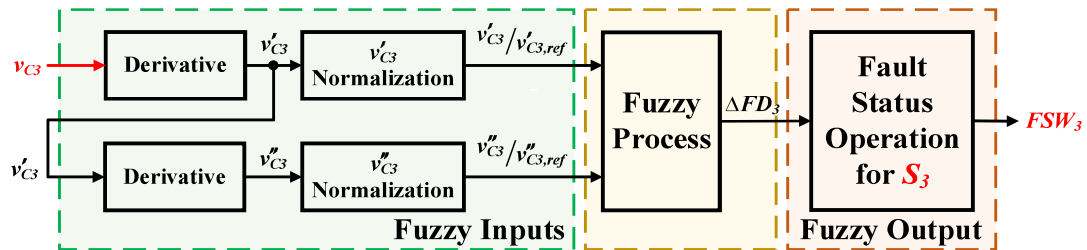
รูปที่ 5.31 ผลการเปรียบเทียบพฤติกรรมการทำงานของวงจรกรณีเกิดความผิดพร่องที่ S_3 และวงจร RC



รูปที่ 5.31 ภาพขยายผลการเปรียบเทียบพฤติกรรมการทำงานของวงจรกรณีเกิดความผิดพร่องที่ S_3 และวงจร RC

รูปที่ 5.32 แสดงภาพขยายเพื่อให้เห็นความแตกต่างระหว่างพัฒนาระบบการทำงานของวงจรที่แสดงในรูปที่ 5.31 เมื่อพิจารณาพัฒนาระบบการทำงานของวงจรแปลงผันกำลังไฟฟ้าแบบบูสต์เรียงต่อกันสามขั้นหลังจากเกิดความผิดพร่องที่ S_3 และวงจร RC พบว่าแรงดัน v_{C3} ของวงจรแปลงผันกำลังไฟฟ้าแบบบูสต์เรียงต่อกันสามขั้น และแรงดัน v_C ของวงจร RC มีค่าลดลงจาก 400V อย่างต่อเนื่อง โดยการคายประจุให้กับ R ส่วนอนุพันธ์อันดับหนึ่งของ v_{C3} และ v_C มีค่าเท่ากับประมาณ $-500V/s$ และอนุพันธ์อันดับสองของ v_{C3} และ v_C มีค่าเท่ากับประมาณ $625V/s^2$ ในช่วงเวลาสั้น ๆ หลังจากเกิดความผิดพร่อง ดังนั้นจึงใช้ค่าอนุพันธ์อันดับหนึ่งและอันดับสองของ v_{C3} ในการตรวจจับความผิดพร่องแบบสวิตซ์เปิดวงจรที่ S_3

จากแผนภาพวิธีการตรวจจับความผิดพร่องที่ S_3 ข้างต้น อินพุตของการตรวจจับความผิดพร่องที่ S_3 ได้แก่ ค่าอนุพันธ์อันดับหนึ่งของ v_{C3} และค่าอนุพันธ์อันดับสองของ v_{C3} ที่ถูกปรับค่าสเกลในกระบวนการอิมัลไลซ์ด้วยค่าอนุพันธ์อันดับหนึ่งอ้างอิงของ v_{C3} ($V'_{C3,ref}$) และค่าอนุพันธ์อันดับสองอ้างอิงของ v_{C3} ($V''_{C3,ref}$) ตามลำดับ โดยที่สัญญาณ v_{C3} ได้จากการตรวจวัดค่าแรงดันที่ใช้ในกระบวนการควบคุมฟิลเตอร์ที่พัฒนาขึ้นจากนั้นทำการหาค่าอนุพันธ์ หรืออัตราการเปลี่ยนแปลงของค่าแรงดัน v_{C3} ดังรูปที่ 5.33



รูปที่ 5.33 โครงสร้างของการตรวจจับความผิดพร่องที่ S_3

จากโครงสร้างของการตรวจจับความผิดพร่องที่ S_3 ดังแสดงในรูปที่ 5.33 จะเห็นได้ว่า อินพุตค่าแรกเริ่มจากการอนุพันธ์ของ v_{C3} ให้ได้ค่าอนุพันธ์อันดับหนึ่งของ v_{C3} (V'_{C3}) หลังจากนั้นจะถูกปรับค่าสเกลด้วยค่า $V'_{C3,ref}$ ในกระบวนการอิมัลไลซ์ ที่ได้จากการพิจารณาวงจรแปลงผันกำลังไฟฟ้าแบบบูสต์เรียงต่อกันสามขั้นเมื่อเกิดความผิดพร่องที่ S_3 และวงจร RC โดยที่ค่า $V'_{C3,ref}$ สามารถพิจารณาจากผลตอบสนองทางธรรมชาติของวงจร RC ดังแสดงในรูปที่ 5.30 เมื่อ V_{ref} คือแรงดันที่ตัดคร่อมตัวเก็บประจุ ณ เวลา $t = 0$ วินาที ดังสมการที่ (5.8)

$$v'_{C3} \Big|_{t=0} = -\frac{V_{ref} e^{-t/\tau_{RC}}}{RC} \quad (5.8)$$

จะเห็นได้ว่า V'_{C3} แปรผันตามเวลา อย่างไรก็ตามการตรวจจับความผิดพร่องของสวิตช์ จำเป็นต้องมีความรวดเร็ว จึงพิจารณา $V'_{C3,ref}$ เมื่อเกิดความผิดพร่องทันที หรือช่วงเวลาที่ตัวเก็บประจุเริ่มคายประจุ ดังนั้นจึงกำหนดให้ตัวแปรเวลามีค่าเป็นศูนย์ ($t = 0s$) ซึ่งจะสามารถวิเคราะห์หาขนาด $V'_{C3,ref}$ ได้ดังสมการที่ (5.9)

$$V'_{C3,ref} = -\frac{V_{ref}}{RC} \quad (5.9)$$

จากค่าอนุพันธ์อันดับหนึ่งของ V_{C3} (V'_{C3}) ที่ได้จากการอนุพันธ์ข้างต้น ในขณะเดียวกัน V'_{C3} จะเข้าสู่กระบวนการอนุพันธ์อีกครั้งให้ได้ค่าอนุพันธ์อันดับสองของ V_{C3} (V''_{C3}) หลังจากนั้นจะถูกปรับค่าสเกลลด้วยค่า $V''_{C3,ref}$ ในกระบวนการอرمัลไลซ์ โดยที่ค่า $V'_{C3,ref}$ สามารถพิจารณาได้จากค่าอนุพันธ์ของ V'_{C3} ดังที่แสดงในสมการที่ (5.10)

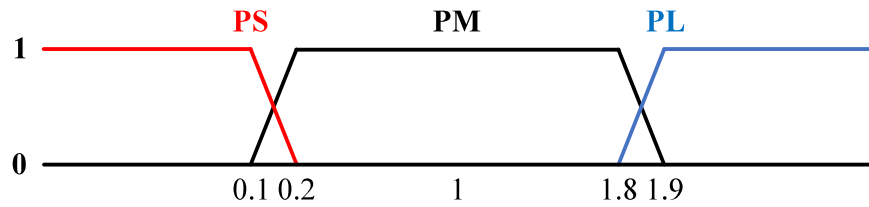
$$V''_{C3} = \frac{V_{ref} e^{-t/RC}}{RC^2} \quad (5.10)$$

เช่นเดียวกันกับการพิจารณา $V'_{C3,ref}$ การตรวจจับความผิดพร่องของสวิตช์จำเป็นต้องมีความรวดเร็ว จึงพิจารณา $V''_{C3,ref}$ เมื่อเกิดความผิดพร่องทันที หรือช่วงเวลาที่ตัวเก็บประจุเริ่มคายประจุ ณ เวลาที่ 0 วินาที ซึ่งจะสามารถวิเคราะห์หาขนาด $V''_{C3,ref}$ ได้ดังสมการที่ (5.11)

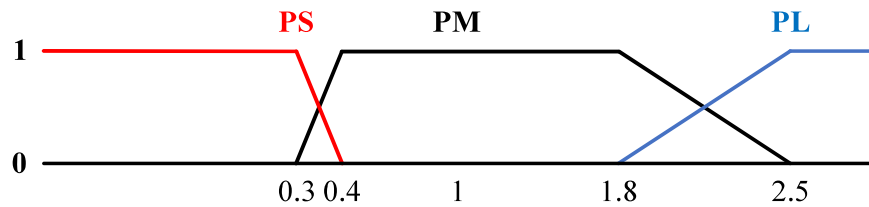
$$V''_{C3,ref} = \frac{V_{ref}}{RC^2} \quad (5.11)$$

ดังนั้nm เมื่อพิจารณาค่าพารามิเตอร์ต่าง ๆ ที่ได้กำหนดไว้ในตารางที่ 3.3 และ 3.4 ในบทที่ 3 จะสามารถคำนวณค่า $V'_{C3,ref}$ และ $V''_{C3,ref}$ เท่ากับ $-500V/s$ และ $625V/s^2$ ตามลำดับ

จากผลตอบสนองการทำงานของวงจรแปลงผันกำลังไฟฟ้าแบบบูสต์เรียงต่อกันสามขั้น เมื่อเกิดความผิดพร่องที่ S_3 สามารถพิจารณาฟังก์ชันสมาชิกของค่า V'_{C3} และ V''_{C3} ที่ถูกปรับค่าให้เป็นบรรทัดฐาน (Normalization) ในขอบเขตเฉพาะที่ต้องการ ดังรูปที่ 5.34 และ 5.35 ตามลำดับ ซึ่งได้จากการสังเกตพฤติกรรมการทำงานของวงจร

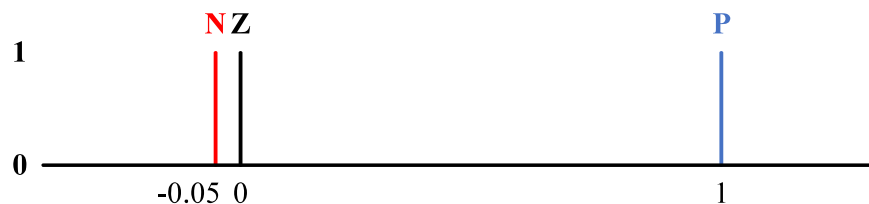


รูปที่ 5.34 พังก์ชันสมาชิกอินพุต $V'_{C3}/V'_{C3,ref}$



รูปที่ 5.34 พังก์ชันสมาชิกอินพุต $V''_{C3}/V''_{C3,ref}$

พังก์ชันสมาชิกอินพุตทั้งสองจะใช้รูปร่างของพังก์ชันสมาชิกเป็นแบบเหลี่ยมคงที่
 พังก์ชันสมาชิก $V'_{C3}/V'_{C3,ref}$ และ $V''_{C3}/V''_{C3,ref}$ กำหนดค่าเชิงภาษาของพังก์ชันสมาชิก 3 เซต ได้แก่
 “Positive Small: PS”, “Positive Medium: PM” และ “Positive Large: PL” ส่วนพังก์ชันสมาชิก
 เอ้าต์พุตสำหรับการตรวจจับความผิดพร่องของสวิตช์ตัวที่ 3 คือสัญญาณการเปลี่ยนแปลงความผิดพร่อง
 ที่สวิตช์ตัวที่ 3 (ΔFD_3) จะใช้รูปร่างของพังก์ชันสมาชิกเป็นค่าคงที่สั่นตระโหนที่มี 3 ค่าประกอบด้วย
 “Negative Small: NS”, “Zero: Z” และ “Positive: P” ดังรูปที่ 5.36 ซึ่งเป็นรูปแบบการอนุมานฟuzzi
 แบบ Sugeno (Sugeno fuzzy inference)



รูปที่ 5.36 พังก์ชันสมาชิกการเปลี่ยนแปลงการตรวจจับความผิดพร่องที่ S_3 (ΔFD_3)

เช่นเดียวกันกับการกำหนดค่าเชิงภาษาของพังก์ชันสมาชิกเอ้าต์พุตสำหรับการ
 ตรวจจับความผิดพร่องที่ S_2 จากการศึกษาพฤติกรรมของวงจรแปลงผันกำลังไฟฟ้าแบบบูสต์เรียงต่อ
 กันสามขั้นภายในได้ตัวควบคุมฟ์ซซีที่พัฒนาขึ้น พบว่าเมื่อเกิดความผิดพร่องที่ S_3 วงจรจะมีการ
 ตอบสนองที่คล้ายคลึงกับการเปลี่ยนจุดการทำงานของวงจรในบางสถานการณ์ ดังนั้น จึงกำหนดค่า

เชิงภาษาของฟังก์ชันสมาชิก ΔFD_3 เป็นน้อยมาก (Negative Small) ไว้ที่ -0.05 โดยค่าเมี้ยได้สมมาตรกับค่า Positive ดังที่แสดงในรูปที่ 5.36 ซึ่งจะถูกกล่าวถึงในขั้นถัดไปในหัวข้อกระบวนการแสดงสถานะความผิดพร่องที่ S_3

ความสัมพันธ์ของอินพุต $v'_{C3}/V'_{C3,ref}$ และ $v''_{C3}/V''_{C3,ref}$ และเอาต์พุต ΔFD_3 สามารถแสดงได้ดังตารางที่ 5.4 การออกแบบของฟังก์ชันระหว่างตัวแปรทั้ง 3 มีดังนี้

- 1st IF $v'_{C3}/V'_{C3,ref} = PS$ AND $v''_{C3}/V''_{C3,ref} = PS$ THEN $\Delta FD_3 = N$
- 2nd IF $v'_{C3}/V'_{C3,ref} = PS$ AND $v''_{C3}/V''_{C3,ref} = PM$ THEN $\Delta FD_3 = N$
- 3rd IF $v'_{C3}/V'_{C3,ref} = PS$ AND $v''_{C3}/V''_{C3,ref} = PL$ THEN $\Delta FD_3 = N$
- 4th IF $v'_{C3}/V'_{C3,ref} = PM$ AND $v''_{C3}/V''_{C3,ref} = PS$ THEN $\Delta FD_3 = Z$
- 5th IF $v'_{C3}/V'_{C3,ref} = PM$ AND $v''_{C3}/V''_{C3,ref} = PM$ THEN $\Delta FD_3 = P$
- 6th IF $v'_{C3}/V'_{C3,ref} = PM$ AND $v''_{C3}/V''_{C3,ref} = PL$ THEN $\Delta FD_3 = Z$
- 7th IF $v'_{C3}/V'_{C3,ref} = PL$ AND $v''_{C3}/V''_{C3,ref} = PS$ THEN $\Delta FD_3 = N$
- 8th IF $v'_{C3}/V'_{C3,ref} = PL$ AND $v''_{C3}/V''_{C3,ref} = PM$ THEN $\Delta FD_3 = N$
- 9th IF $v'_{C3}/V'_{C3,ref} = PL$ AND $v''_{C3}/V''_{C3,ref} = PL$ THEN $\Delta FD_3 = N$

ตารางที่ 5.4 หน่วยความจำฟังก์ชันพันธ์ของการตรวจจับความผิดพร่องของสวิตซ์ตัวที่ 3

$v'_{C3}/V'_{C3,ref}$	PS	PM	PL
$v''_{C3}/V''_{C3,ref}$	NS	Z	NS
PS	NS	P	NS
PM	NS	Z	NS
PL	NS	Z	NS

จากการวิเคราะห์ผลลัพธ์ของฟังก์ชันสมาชิก ΔFD_3 จะเห็นได้ว่าค่าที่ได้สามารถใช้ในการระบุสภาพความผิดพร่องที่ S_3 ได้ โดยหากค่า ΔFD_3 มีค่าเป็นลบ จะแสดงว่าระบบอยู่ในสภาพปกติ แต่หากค่า ΔFD_3 มีค่าเป็นบวก จะปังซึ่งการเกิดความความผิดพร่อง การวิเคราะห์พฤติกรรมการทำงานของวงจรแปลงผันกำลังไฟฟ้าแบบบูสต์เรียงต่อกันสามชั้น ทำให้สามารถออกแบบกระบวนการทางฟังก์ชันเพื่อตรวจจับความผิดพร่องที่ S_3 ได้ โดยกำหนดความสัมพันธ์ของอินพุตที่ใช้ในการตรวจจับความผิดพร่องในรูปของกฎฟังก์ชัน ซึ่งสามารถแสดงในรูปแบบของหน่วยความจำฟังก์ชันพันธ์ตามที่ปรากฏในตารางที่ 5.4 ตัวอย่างการตรวจจับความผิดพร่องที่ S_3 สามารถอธิบายได้ดังนี้

กรณีที่ 1 $V'_{C3}/V'_{C3,ref}$ เป็นสมาชิกของเซตบวกค่าน้อย ($V'_{C3}/V'_{C3,ref} \in PS$) ก็ ต่อเมื่อ V'_{C3} มีค่าน้อยกว่า 0.2 เท่าของ $V'_{C3,ref}$ กระบวนการฟ์ชีของ V''_{C3} ณ เวลาใด ๆ พบว่ามี ความเป็นไปได้ที่จะเข้าเงื่อนไขกฎฟ์ชีข้อที่ 1 ถึงกฎที่ 3 กระบวนการดังกล่าวสามารถอธิบายได้ดังนี้

- 1) กฎฟ์ชีข้อที่ 1 เมื่อ $V''_{C3}/V''_{C3,ref}$ เป็นบวกอยู่ในเซต PS หมายถึง V''_{C3} ณ เวลา ที่พิจารณา มีค่าต่ำกว่า 0.4 เท่าของ $V''_{C3,ref}$ ดังนั้นตัวตรวจสอบความผิดพร่อง ต้องสร้าง ΔFD_3 ที่เป็นลบน้อย (NS) จะแสดงถึงการทำงานของวงจรในสภาวะนี้ เป็นการทำงานปกติ
- 2) กฎฟ์ชีข้อที่ 2 เมื่อ $V''_{C3}/V''_{C3,ref}$ มีค่าเป็นศูนย์อยู่ในเซต PM หมายถึง V''_{C3} ณ เวลา ที่พิจารณา มีค่าอยู่ในช่วง 0.3 ถึง 2.5 เท่าของ m_{FS2} ดังนั้นตัวตรวจสอบ ความผิดพร่องต้องสร้าง ΔFD_3 ที่เป็นลบน้อย (NS) จะแสดงถึงการทำงานของ วงจรในสภาวะนี้เป็นการทำงานปกติ
- 3) กฎฟ์ชีข้อที่ 3 เมื่อ $V''_{C3}/V''_{C3,ref}$ เป็นบวกอยู่ในเซต PL หมายถึง V''_{C3} ณ เวลา ที่พิจารณา มีค่ามากกว่า 1.8 เท่าของ $V''_{C3,ref}$ ดังนั้นตัวตรวจสอบความผิดพร่อง ต้องสร้าง ΔFD_3 ที่เป็นลบน้อย (NS) จะแสดงถึงการทำงานของวงจรในสภาวะนี้ เป็นการทำงานปกติ

กรณีที่ 2 $V'_{C3}/V'_{C3,ref}$ เป็นสมาชิกของเซตค่าบวกปานกลาง ($V'_{C3}/V'_{C3,ref} \in PM$) ก็ต่อเมื่อ V'_{C3} ณ เวลา ที่พิจารณา มีค่าอยู่ในช่วง 0.1 ถึง 1.9 เท่าของ $V'_{C3,ref}$ กระบวนการฟ์ชีของ V''_{C3} ณ เวลาใด ๆ พบว่ามีความเป็นไปได้ที่จะเข้าเงื่อนไขกฎฟ์ชีข้อที่ 4 ถึงกฎที่ 6 กระบวนการ ดังกล่าวสามารถอธิบายได้ดังนี้

- 4) กฎฟ์ชีข้อที่ 4 เมื่อ $V''_{C3}/V''_{C3,ref}$ เป็นบวกอยู่ในเซต PS หมายถึง V''_{C3} ณ เวลา ที่พิจารณา มีค่าต่ำกว่า 0.4 เท่าของ $V''_{C3,ref}$ ดังนั้นตัวตรวจสอบความผิดพร่อง ต้องสร้าง ΔFD_3 ที่เป็นศูนย์ (Z) จะแสดงถึงการทำงานของวงจรในสภาวะนี้เป็น การทำงานปกติ
- 5) กฎฟ์ชีข้อที่ 5 เมื่อ $V''_{C3}/V''_{C3,ref}$ มีค่าเป็นศูนย์อยู่ในเซต PM หมายถึง V''_{C3} ณ เวลา ที่พิจารณา มีค่าอยู่ในช่วง 0.3 ถึง 2.5 เท่าของ m_{FS2} ดังนั้นตัวตรวจสอบ ความผิดพร่องต้องสร้าง ΔFD_3 ที่เป็นบวก (P) จะแสดงถึงการทำงานของวงจร ในสภาวะนี้เกิดความผิดพร่องที่ S_3
- 6) กฎฟ์ชีข้อที่ 6 เมื่อ $V''_{C3}/V''_{C3,ref}$ เป็นบวกอยู่ในเซต PL หมายถึง V''_{C3} ณ เวลา ที่พิจารณา มีค่ามากกว่า 1.8 เท่าของ $V''_{C3,ref}$ ดังนั้นตัวตรวจสอบความผิดพร่อง

ต้องสร้าง ΔFD_3 ที่เป็นศูนย์ (Z) จะแสดงถึงการทำงานของวงจรในสภาพนี้เป็นการทำงานปกติ

กรณีที่ 2 $V'_{C3}/V'_{C3,ref}$ เป็นสมาชิกของเซตค่าบวกปานกลาง ($V'_{C3}/V'_{C3,ref} \in PM$) ก็ต่อเมื่อ V'_{C3} ณ เวลาที่พิจารณา มีค่ามากกว่า 1.8 เท่าของ $V'_{C3,ref}$ กระบวนการพื้นที่ของ V''_{C3} ณ เวลาใด ๆ พบร่วมกับความเป็นไปได้ที่จะเข้าเงื่อนไขกฎพื้นที่ข้อที่ 7 ถึงกฎที่ 9 กระบวนการดังกล่าวสามารถอธิบายได้ดังนี้

- 7) กฎพื้นที่ข้อที่ 7 เมื่อ $V''_{C3}/V''_{C3,ref}$ เป็นบวกอยู่ในเซต PS หมายถึง V''_{C3} ณ เวลาที่พิจารณา มีค่ามากกว่า 0.4 เท่าของ $V''_{C3,ref}$ ดังนั้นตัวตรวจสอบความผิดพร่องต้องสร้าง ΔFD_3 ที่เป็นลบน้อย (NS) จะแสดงถึงการทำงานของวงจรในสภาพนี้เป็นการทำงานปกติ
- 8) กฎพื้นที่ข้อที่ 8 เมื่อ $V''_{C3}/V''_{C3,ref}$ มีค่าเป็นศูนย์อยู่ในเซต PM หมายถึง V''_{C3} ณ เวลาที่พิจารณา มีค่าอยู่ในช่วง 0.3 ถึง 2.5 เท่าของ m_{FS2} ดังนั้นตัวตรวจสอบความผิดพร่องต้องสร้าง ΔFD_3 ที่เป็นลบน้อย (NS) จะแสดงถึงการทำงานของวงจรในสภาพนี้เป็นการทำงานปกติ
- 9) กฎพื้นที่ข้อที่ 9 เมื่อ $V''_{C3}/V''_{C3,ref}$ เป็นบวกอยู่ในเซต PL หมายถึง V''_{C3} ณ เวลาที่พิจารณา มีค่ามากกว่า 1.8 เท่าของ $V''_{C3,ref}$ ดังนั้นตัวตรวจสอบความผิดพร่องต้องสร้าง ΔFD_3 ที่เป็นลบน้อย (NS) จะแสดงถึงการทำงานของวงจรในสภาพนี้เป็นการทำงานปกติ

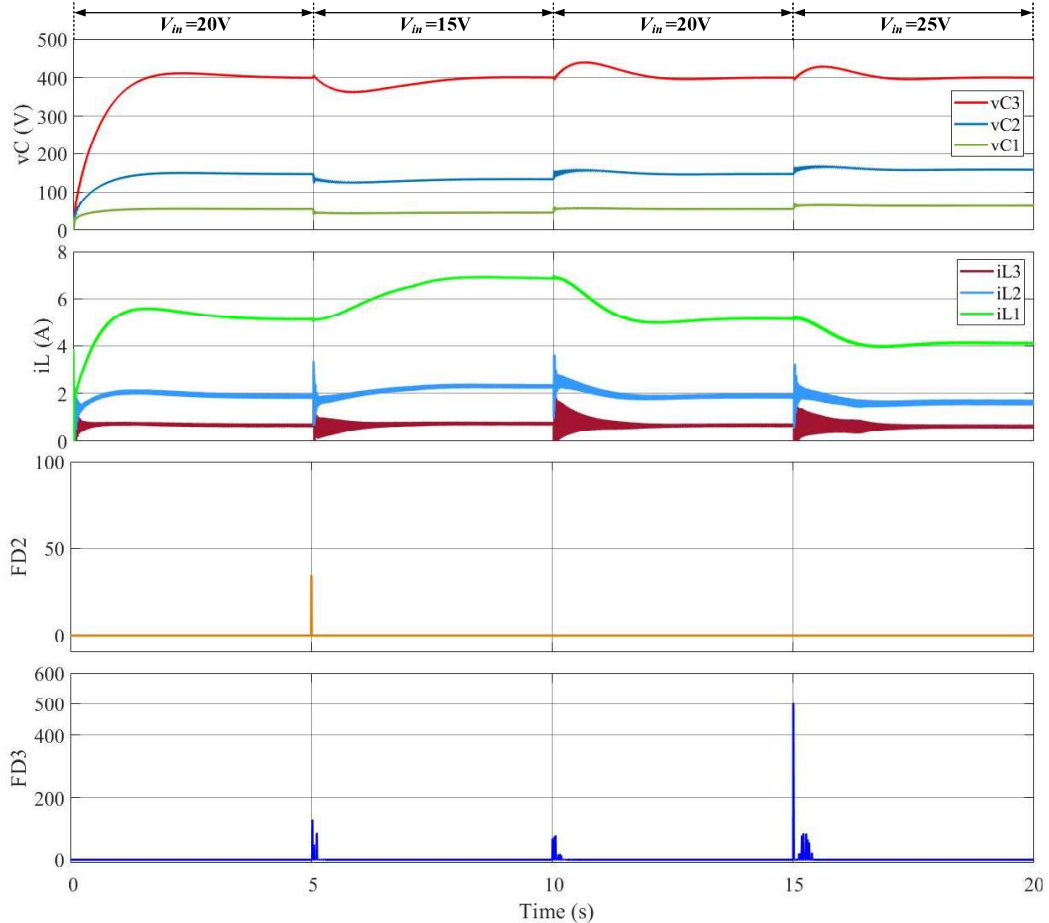
กระบวนการแสดงสถานะการผิดพร่องที่ S_3 จะมีกระบวนการคล้ายคลึงกับการแสดงสถานะการผิดพร่องที่ S_2 โดยจะแสดงสถานะการทำงานปกติ เมื่อ FWS_3 เป็น 0 โดยเมื่อเกิดความผิดพร่องที่ S_3 สถานะ FSW_3 จะเป็น 1 อย่างไรก็ตามจากการสังเกตพฤติกรรมการทำงานของวงจร พบร่วมกับเมื่อมีการเปลี่ยนจุดการทำงานของแรงดัน V_{in} และ V_{ref} บางกรณี ที่ทำให้กระแส i_{L3} มีค่าเป็น 0A ในระยะเวลาสั้น ๆ เท่านั้น โดยในช่วงดังกล่าว C_3 จะทำหน้าที่คายประจุให้กับ R ทั้งที่ช่วงเวลาดังกล่าวควรเป็นช่วงการอัดประจุ ซึ่งผลตอบสนองดังกล่าวตรงกับกฎพื้นที่ของการตรวจสอบความผิดพร่องของสวิตช์ตัวที่ 3 ข้อที่ 5 ที่ให้ ΔFD_3 เป็นบวก (P) จึงอาศัยวิธีการบวกสะสมค่าของ ΔFD_3 เข้าช่วยเพื่อให้การตรวจสอบความผิดพร่องที่ S_3 มีความถูกต้องยิ่งขึ้น ค่าสัญญาณความผิดพร่องที่ S_3 (FD_3) สามารถพิจารณาได้จากสมการที่ (5.12)

$$FD_{3,n} = FD_{3,n-1} + \Delta FD_{3,n} \quad (5.12)$$

จากสมการคำนวณหาเอาต์พุต FD_2 ที่กล่าวมานี้ค่าเป็นไปได้ทั้งค่าบวกและลบ โดยที่ค่าบวกจะแสดงถึงการทำงานของวงจรในสภาพเกิดความผิดพร่อง เพื่อให้ได้การตรวจจับที่ถูกต้อง จึงกำหนดขอบเขตการตรวจจับความผิดพร่องของเอาต์พุต FD_3 อยู่ในช่วงศูนย์ถึงค่าจำกัดการตรวจจับความผิดพร่องที่ S_3 (FLD_3) เพื่อหลีกเลี่ยงการตรวจจับผิดพลาดเมื่อมีการเปลี่ยนแปลงจุดการทำงาน จึงทำการศึกษาพฤติกรรมการทำงานของวงจรภายใต้การเปลี่ยนแปลงจุดการทำงาน เพื่อให้ได้ค่า FLD_3 ที่เหมาะสมจากการศึกษาพฤติกรรม ซึ่งจะกล่าวในเนื้อหาถัดไป ดังนั้นเพื่อให้ได้การตรวจจับที่ถูกต้อง กระบวนการแสดงสถานการณ์ผิดพร่องจะแสดงสถานะ FSW_3 เป็น 1 ก็ต่อเมื่อค่าสัญญาณ FD_3 หารด้วย FLD_3 มีค่ามากกว่า 1

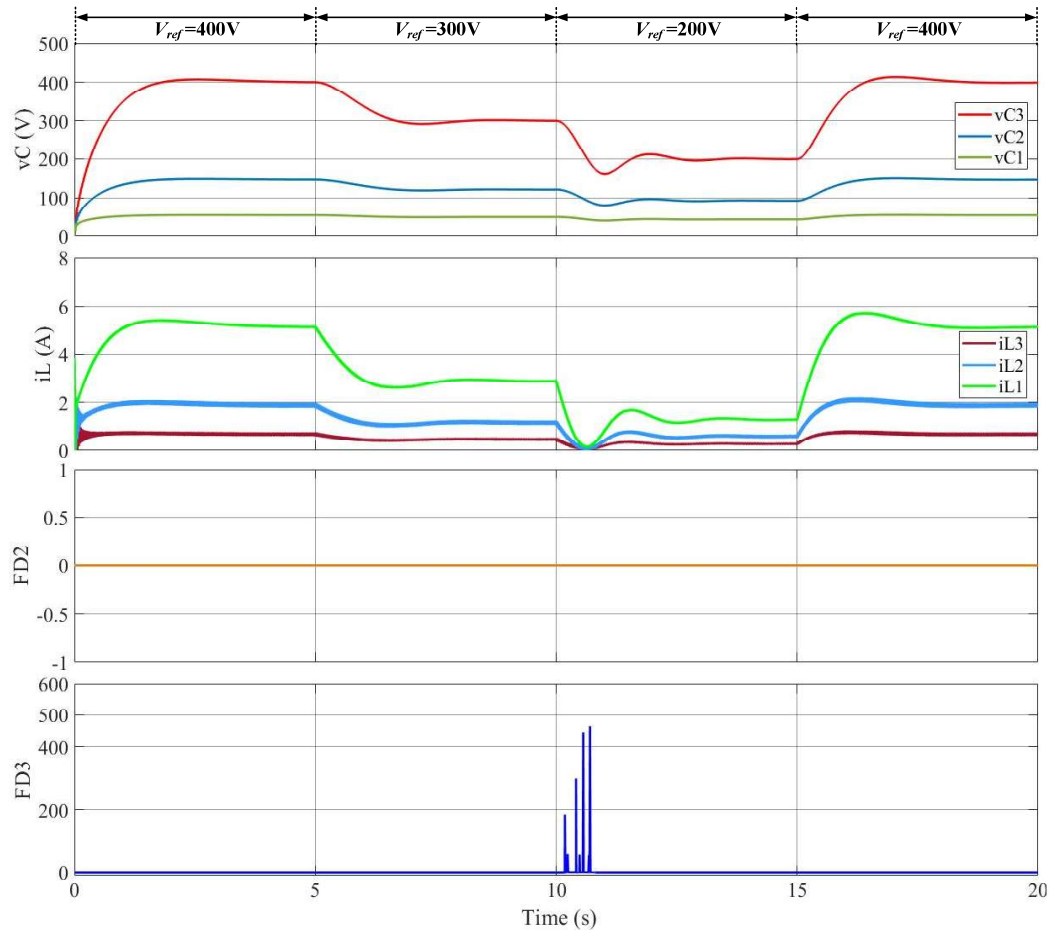
จากระบวนการแสดงสถานะการผิดพร่อง (Fault Status Operation) ของการตรวจจับความผิดพร่องที่ S_2 และ S_3 มีค่าจำกัดการตรวจจับความผิดพร่องสวิตช์ (FLD_2 , FLD_3) ซึ่งสามารถพิจารณาได้จากพฤติกรรมกรณีการเปลี่ยนแปลงจุดการทำงานโดยแบ่งออกเป็น 3 กรณี ประกอบด้วย ผลการจำลองสถานการณ์เมื่อมีการเปลี่ยนแปลงแรงดันอินพุต (V_{in}) ผลการจำลองสถานการณ์เมื่อมีการเปลี่ยนแปลงแรงดันอ้างอิง (V_{ref}) และผลการจำลองสถานการณ์เมื่อมีการเปลี่ยนแปลงโหลดตัวต้านทาน (R) การจำลองสถานการณ์แสดงแรงดันตกคร่อมตัวเก็บประจุ (V_{C1} , V_{C2} , V_{C3}) กระแสที่เหลือผ่านตัวเหนี่ยวนำ (i_{L1} , i_{L2} , i_{L3}) ค่าจำกัดการตรวจจับความผิดพร่อง FLD_2 และ FLD_3 แสดงดังรูปที่ 5.37 โดยที่เอาต์พุตของการตรวจจับความผิดพร่อง FD_2 และ FD_3 ได้จากสมการที่ (5.6) และ (5.12) ตามลำดับ

กรณีที่ 1 การจำลองสถานการณ์เมื่อมีการเปลี่ยนแปลง V_{in} เป็น 20V, 15V, 20V และ 25V ในช่วงเวลา 0s, 5s, 10s และ 15s ตามลำดับ โดยที่คงค่า V_{ref} และ R ไว้ที่ 400V และ 1600Ω ตามลำดับ ดังรูปที่ 5.37 สังเกตเห็นได้ว่า FD_2 มีขนาดเท่าประมาณ 0, 35, 0 และ 0 ตามลำดับ เนื่องจากเมื่อมีการเปลี่ยนแปลง V_{in} จาก 20V เป็น 15V จะส่งผลให้ m_{iL1} เกิดการสั่นไก และมีค่าการเปลี่ยนแปลง เกินช่วง $-2m_{ref}$ ถึง $2m_{ref}$ A/s อีกทั้ง D เกิดการสั่นไก ในเวลาสั้น ๆ ผลตอบสนองที่เกิดขึ้นตรงกับกฎฟชซีที่ให้อาต์พุต ΔFD_2 เป็นค่า Positive สำหรับการตรวจจับความผิดพร่องที่ S_2 ในขณะเดียวกัน FD_3 มีขนาดเท่าประมาณ 0, 125, 80 และ 500 ตามลำดับ เนื่องจากการเปลี่ยนแปลงจุดการทำงานในช่วงเวลาที่ 5s, 10s และ 15s ทำให้กระแส i_{L3} มีค่าเป็น 0A ในระยะเวลาสั้น ๆ เท่านั้น โดยในช่วงตั้งกล่าว C_3 จะทำหน้าที่คายประจุให้กับ R ทั้งที่ช่วงเวลาตั้งกล่าว ควรเป็นช่วงการอัดประจุ ซึ่งผลตอบสนองที่ตรงกับกฎฟชซีที่ให้อาต์พุต ΔFD_3 เป็นค่า Positive ในกระบวนการฟชซีสำหรับการตรวจจับความผิดพร่องที่ S_3 ดังนั้นเพื่อหลีกเลี่ยงความผิดพลาดในการตรวจจับความผิดพร่องจึงกำหนดค่า FLD_2 และ FLD_3 เป็น 50 และ 600 ตามลำดับ



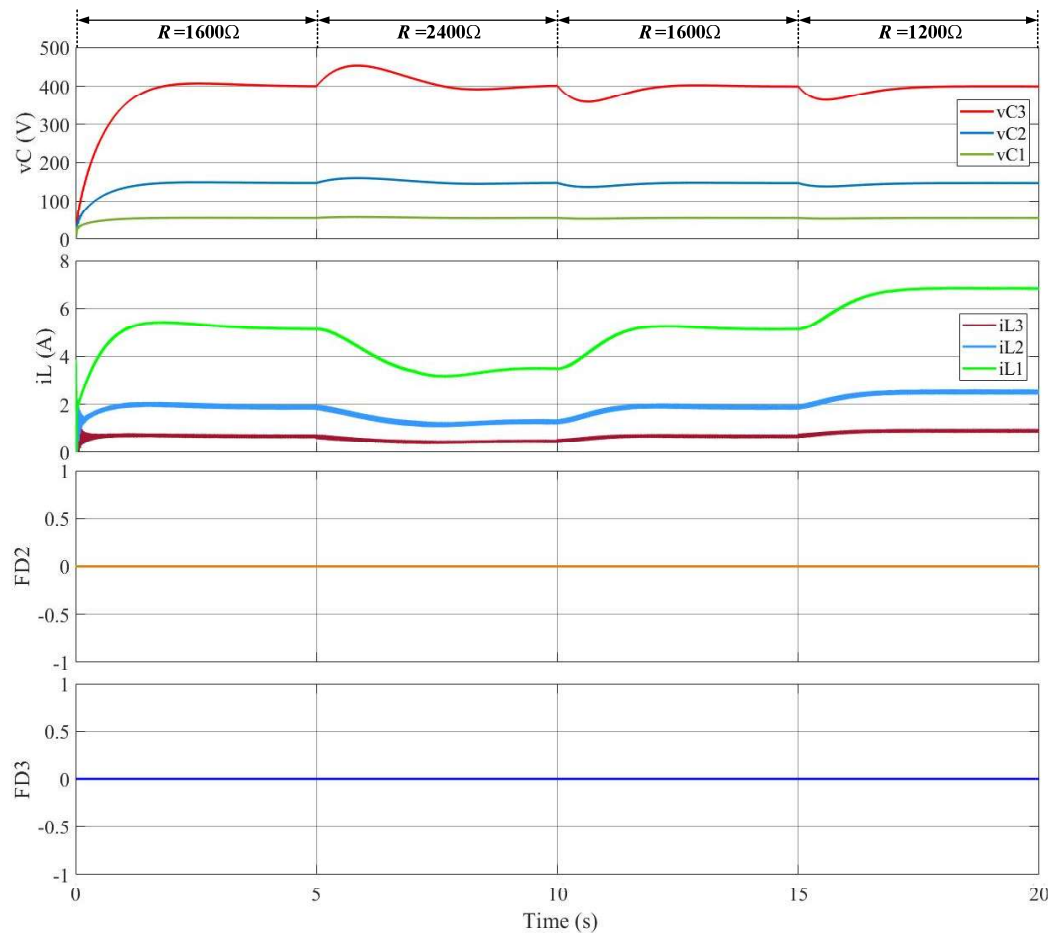
รูปที่ 5.37 การจำลองสถานการณ์หากค่า FLD_2 และ FLD_3 กรณีเปลี่ยนแปลงแรงดันอินพุต

กรณีที่ 2 การจำลองสถานการณ์เมื่อมีการเปลี่ยนแปลง V_{ref} เป็น 400V, 300V, 200V และ 400V ในช่วงเวลา 0s, 5s, 10s และ 15s ดังรูปที่ 5.38 พบว่าเมื่อมีการเปลี่ยนแปลงแรงดัน V_{ref} ลดลงจาก 300V เป็น 200V ส่งผลให้ FD_3 มีขนาดสูงสุดประมาณ 460 เนื่องจากขณะที่การเปลี่ยนแปลง V_{ref} จาก 300V เป็น 200V เท่านั้นที่ส่งผลให้ i_{L3} มีค่าเป็น 0A ในช่วงระยะเวลาสั้น ๆ ซึ่งผลตอบสนองที่เกิดขึ้นตรงกับกฎพัชซีที่ให้อาต์พุต ΔFD_3 เป็นค่า Positive ของการตรวจจับความผิดพร่องที่ S_3 ในขณะเดียวกันเมื่อมีการณ์ค่า FD_2 จะเห็นได้ว่าเมื่อมีการเปลี่ยนแปลง V_{ref} แต่ละครั้ง จะได้ค่า FD_2 มีขนาดเท่ากับศูนย์ เนื่องจากผลตอบสนองที่เกิดขึ้น ไม่ตรงกับกฎพัชซีที่ให้อาต์พุต ΔFD_2 เป็นค่า Positive ในกระบวนการพัชซีของการตรวจจับความผิดพร่องที่ S_2 อย่างไรก็ตามการกำหนดค่า FLD_3 ที่ 600 ก่อนหน้านี้ ยังมีความครอบคลุมและสามารถหลีกเลี่ยงความผิดพลาดที่อาจเกิดขึ้นในการตรวจจับความผิดพร่องที่ S_3 ได้



รูปที่ 5.38 การจำลองสถานการณ์หากค่า FLD_2 และ FLD_3 กรณีเปลี่ยนแปลงแรงดันอ้างอิง

กรณีที่ 3 การจำลองสถานการณ์เมื่อมีการเปลี่ยนแปลง R เป็น 1600Ω , 2400Ω , 1600Ω และ 1200Ω ในช่วงเวลา $0s$, $5s$, $10s$ และ $15s$ ตามลำดับ โดยที่คงค่า V_{in} และ V_{ref} ไว้ที่ $20V$ และ $400V$ ตามลำดับ ผลการจำลองสถานการณ์จะแสดงที่ไฟล์ผ่านตัวหนี่ยวนำ แรงดันตกคู่ร่วมตัวเก็บประจุ และเอาต์พุตของการตรวจจับความผิดพร่องทั้งสองสอด对着ดังรูปที่ 5.39 ถังเกตเห็นได้ว่าเมื่อมีการเปลี่ยนแปลง R แต่ละค่า ส่งผลให้ค่าเอาต์พุต ΔFD_2 และ ΔFD_3 มีค่าเป็นศูนย์ เนื่องจากผลตอบสนองจากการเปลี่ยนแปลงจุดการทำงานที่เกิดขึ้น ไม่ตรงกับกฎฟื้ซซีที่ให้อเอาต์พุต ΔFD_2 และ ΔFD_3 เป็นค่า Positive ในกระบวนการฟื้ซซีของการตรวจจับความผิดพร่องที่ S_2 และ S_3 ตามลำดับ



รูปที่ 5.39 การจำลองสถานการณ์หากค่า FLD_2 และ FLD_3 กรณีเปลี่ยนแปลงโหลดตัวต้านทาน

เพื่อหลีกเลี่ยงความผิดพลาดที่เกิดจากการตรวจจับความผิดพร่อง จำเป็นต้องมีการพิจารณาค่าจำกัดการตรวจจับความผิดพร่องสวิตช์ทั้งสอง (FLD_2 , FLD_3) โดยอาศัยผลจำลองสถานการณ์การทำงานของวงจรแปลงผันกำลังไฟฟ้าแบบบูสต์เรียงต่อกันสามขั้นภายในให้การควบคุมฟซซีที่พัฒนาขึ้น เมื่อการทำงานการเปลี่ยนแปลงจุดการทำงาน ซึ่งพบว่ากรณีเปลี่ยนแปลงแรงดันอินพุตให้ผลตอบสนองสั้น ๆ ที่คล้ายกับการเกิดความผิดพร่องที่ S_2 และ S_3 ซึ่งผลตอบสนองที่เกิดขึ้นตรงกับกฎฟซซีที่ให้เอกสารพุต ΔFD_2 และ ΔFD_3 เป็นค่า Positive เมื่อพิจารณาเอกสารพุตของการตรวจจับความผิดพร่อง FD_2 และ FD_3 ได้จากการที่ (5.6) และ (5.12) ตามลำดับ ภาตใต้การเปลี่ยนแปลงจุดการทำงานได้ศึกษา ซึ่งจะสามารถกำหนดค่า FLD_2 และ FLD_3 ที่สามารถหลีกเลี่ยงความผิดพลาดที่เกิดจากการตรวจจับความผิดพร่องได้ดังตารางที่ 5.5

จากการศึกษาพัฒนาระบบในการทำงานของวงจรในสภาพะปกติในสภาพะการเปลี่ยนแปลงจุดการทำงานต่าง ๆ และเมื่อเกิดความผิดพร่อง ภายใต้การทำงานการควบคุมฟซชีที่พัฒนาขึ้น โดยพิจารณาผลตอบสนองของกระแส i_{L1} แรงดัน V_{C3} และ สัญญาณ D ภายใต้การควบคุมฟซชีที่พัฒนาขึ้น สามารถนำมาพัฒนาวิธีการตรวจจับความผิดพร่อง (Fault detection strategy) เพื่อที่จะสามารถระบุตำแหน่งที่เกิดความผิดพร่องภายในวงจร โดยใช้กระบวนการฟซชีในการตรวจจับความผิดพร่องแสดงดังรูปที่ 5.17 การตรวจจับความผิดพร่องของแต่ละสวิตซ์มีพารามิเตอร์ต้องพิจารณาในการดำเนินการปรับค่าสเกล หรือเรียกว่าการนอร์มัลไซซ์ (Normalization) เพื่อปรับขนาดค่าให้อยู่ภายในขอบเขตการทำงานที่การควบคุมฟซชีที่พัฒนาขึ้นสามารถทำงานได้อย่างครอบคลุม ดังตารางที่ 5.5 โดยพิจารณาจากค่าพารามิเตอร์ต่าง ๆ ประกอบด้วยค่าพารามิเตอร์ตัวเห็นี่ยวน่า และตัวเก็บประจุภายในวงจร และค่าพารามิเตอร์ของการควบคุมฟซชีที่พัฒนาขึ้น ดังตารางที่ 3.3, 3.4 และ 4.2 ตามลำดับ อีกทั้งยังมีค่าจำกัดการตรวจจับความผิดพร่องทั้งสอง (FLD_2 , FLD_3)

ตารางที่ 5.5 ค่าพารามิเตอร์ของการตรวจจับความผิดพร่องแบบสวิตซ์เปิดวงจรที่พัฒนาขึ้น

การตรวจจับ ความผิดพร่อง	พารามิเตอร์	สัญลักษณ์	ขนาด	หน่วย
S_1	ค่าความชันของกระแสขณะเกิดความผิดพร่องที่ S_1	m_{FS1}	2,319	A/s
	ค่ากระแสที่ไฟล์ผ่าน L_1 ในสภาพะปกติ	i_{FS1}	5	A
S_2	ค่าวัสดุจักรหน้าที่อ้างอิงของสวิตซ์	D_{ref}	0.635	-
	ค่าความชันของกระแสขณะเกิดความผิดพร่องที่ S_2	m_{FS2}	200	A/s
	ค่าจำกัดการตรวจจับความผิดพร่องที่ S_2	FLD_2	50	-
S_3	ค่าอนุพันธ์อันดับหนึ่งอ้างอิงของ V_{C3}	$V'_{C3,ref}$	-500	V/s
	ค่าอนุพันธ์อันดับสองอ้างอิงของ V_{C3}	$V''_{C3,ref}$	625	V/s ²
	ค่าจำกัดการตรวจจับความผิดพร่องที่ S_3	FLD_3	600	-

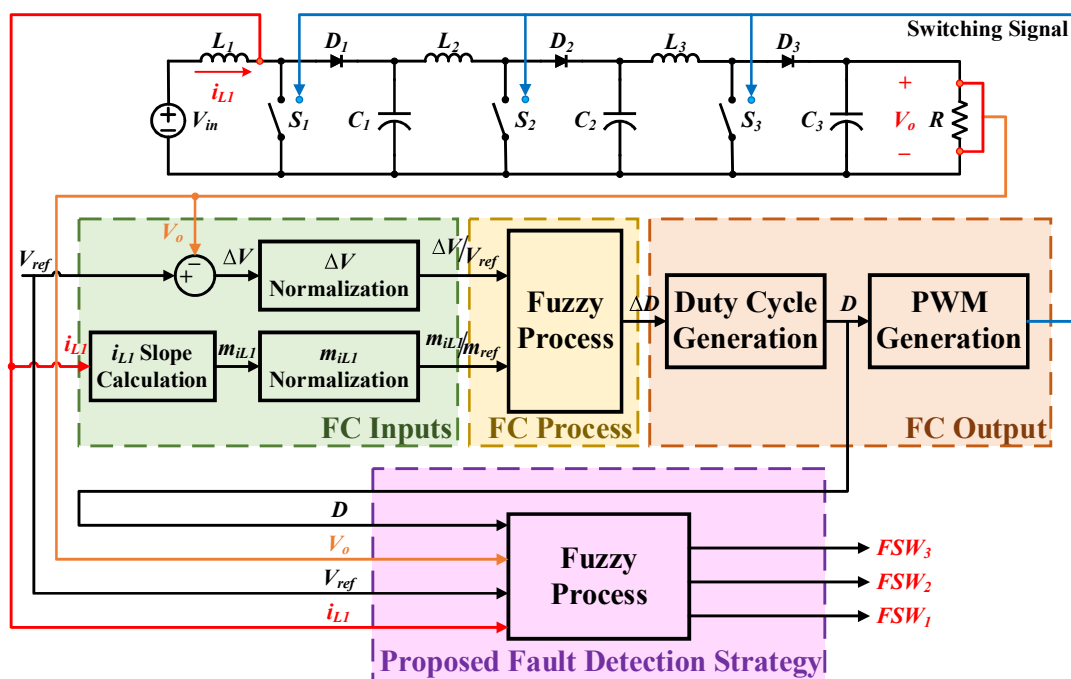
5.4 การจำลองสถานการณ์

เพื่อแสดงประสิทธิผลของตัวตรวจจับความผิดพร่องที่พัฒนาขึ้นที่สามารถตรวจจับได้อย่างถูกต้องและรวดเร็ว จะอาศัยโปรแกรม MATLAB SIMULINK เข้าช่วยในการจำลองสถานการณ์การตรวจจับ

ความผิดพร่องแบบสวิตช์เปิดวงจรสำหรับวงแปรผันกำลังไฟฟ้าแบบบูสต์เรียงต่อกันสามขั้นภายใต้การควบคุมฟิซซีที่พัฒนาขึ้น โดยใช้ค่าพารามิเตอร์ของวงจร และค่าพารามิเตอร์การควบคุมฟิซซีที่พัฒนาขึ้น ที่กล่าวไว้ในบทที่ 3 และ 4 ตามลำดับ การจำลองสถานการณ์แบบอุตสาหกรรม 3 กรณี ได้แก่ การตรวจจับความผิดพร่องแบบสวิตช์เปิดวงจรในสภาพการทำงานปกติ การตรวจจับความผิดพร่องแบบสวิตช์เปิดวงจรให้กับวงจรแปรผันกำลังไฟฟ้าแบบบูสต์เรียงต่อกันสามขั้น โดยสามารถระบุตำแหน่งความผิดพร่องที่เกิดขึ้นในแต่ละสวิตช์ได้อย่างถูกต้องและรวดเร็ว เพื่อให้การรักษาการทำงานของวงจรจากความผิดพร่อง โดยจะพิจารณากรณีที่สวิตช์ตัวใดตัวหนึ่งเกิดความผิดพร่องขึ้นท่านั้น

5.4.1 การตรวจจับความผิดพร่องแบบสวิตช์เปิดวงจรในสภาพการทำงานปกติ

การจำลองสถานการณ์การตรวจจับความผิดพร่องแบบสวิตช์เปิดวงจรในสภาพการทำงานปกติ เพื่อยืนยันว่าวิธีการตรวจจับความผิดพร่องแบบสวิตช์เปิดวงจรที่พัฒนาขึ้นนี้มีความสามารถในการตรวจจับความผิดพร่อง และระบุตำแหน่งของสวิตช์ได้อย่างถูกต้อง การจำลองสถานการณ์การตรวจจับความผิดพร่องแบบสวิตช์เปิดวงจรที่ S_1 , S_2 และ S_3 โดยผลการจำลองสถานการณ์จะแสดงค่าแรงดันต่อกครรภ์ตัวเก็บประจุ กระแสที่แหล่งกำเนิด กระแสที่โหลดผ่านตัวเหนี่ยวนำ และสัญญาณการตรวจจับความผิดพร่อง ตั้งแต่เริ่มต้นการทำงานของวงจรในสภาพปกติ และเกิดความผิดพร่องแบบสวิตช์เปิดวงจรที่วินาทีที่ 5 ทั้งนี้โครงสร้างที่ใช้แสดงดังรูปที่ 5.40



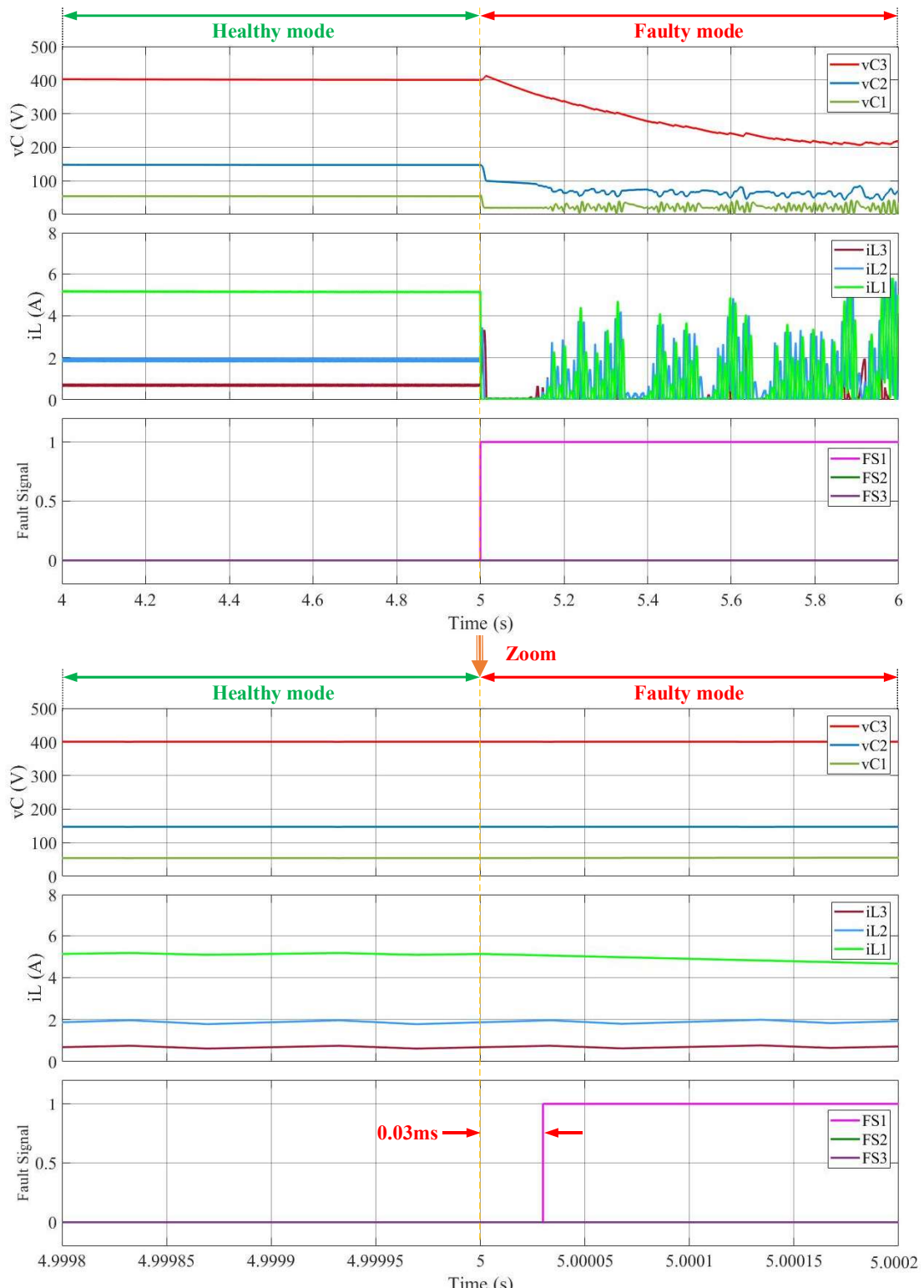
รูปที่ 5.40 โครงสร้างการควบคุมฟิซซีและการตรวจจับความผิดพร่องแบบสวิตช์เปิดวงจรที่พัฒนาขึ้น

ผลการจำลองสถานการณ์การตรวจจับความผิดพร่องแบบสวิตซ์เปิดวงจรที่ S_1 , S_2 และ S_3 แสดงดังรูปที่ 5.41, 5.42 และ 5.43 ตามลำดับ พบรูปแบบการทำงานของวงจร และการตรวจจับความผิดพร่องที่พัฒนาขึ้นดังนี้

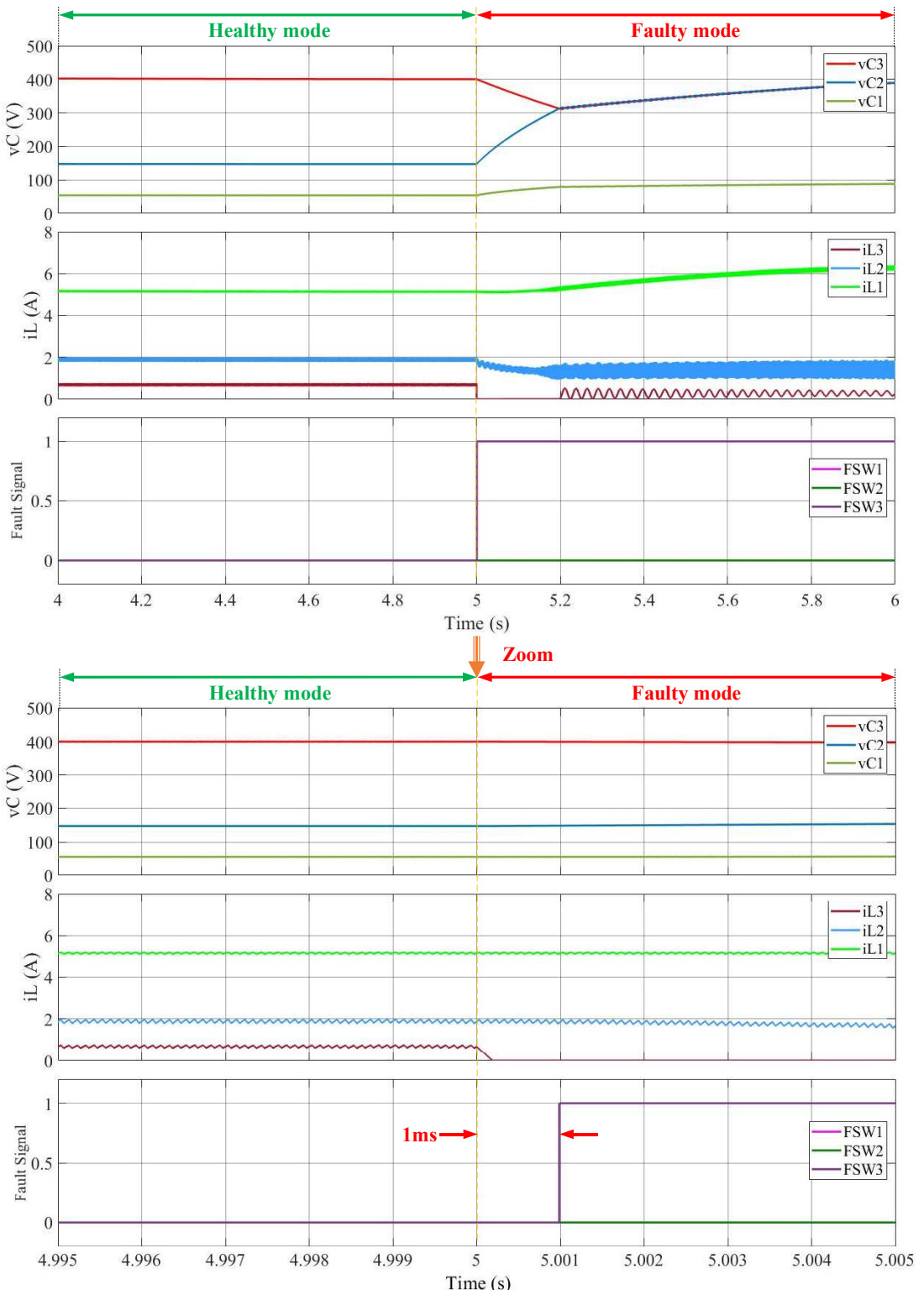
การตรวจจับความผิดพร่องแบบสวิตซ์เปิดวงจรที่ S_1 : พิจารณาปุ่ม 5.41 พบร่วงต้น V_{C1} , V_{C2} และ V_{C3} ลดลงอย่างเห็นได้ชัด ส่วนกระแส i_{L1} , i_{L2} และ i_{L3} ลดลงอย่างรวดเร็วจนถึง 0A ในกรณีตรวจจับความผิดพร่องแบบสวิตซ์เปิดวงจรที่ S_1 ได้อาศัย i_{L1} และ m_{iL1} เมื่อพิจารณาภาพขยายจะเห็นได้ว่า i_{L1} มีขนาดลดลงจากสภาวะอยู่ตัวที่ค่าประมาณ 5A ลดลงจนถึง 0A และ m_{iL1} มีค่าติดลบจากการที่กระแสลดลงอย่างรวดเร็ว ซึ่งมีค่าประมาณ $-2300A/s$ ซึ่งผลตอบสนองดังกล่าวตกลอยู่ในกฎฟื้ชซีที่ 1 และ 4 ดังที่กล่าวไว้ดังตารางที่ 5.2 ทำให้สามารถตรวจจับความผิดพร่องที่เกิดขึ้นโดยใช้เวลา 0.03ms

การตรวจจับความผิดพร่องแบบสวิตซ์เปิดวงจรที่ S_2 : จากรูปที่ 5.47 พบร่วงต้น V_O ยังคงค่าตาม V_{ref} ที่ 400V โดยตัวควบคุมฟื้ชซี เมื่อพิจารณา m_{iL1} พบร่วงต้น V_O ให้เกิดการสั่นไกที่มีค่าการเปลี่ยนแปลงมากกว่าในสภาวะปกติอย่างเห็นได้ชัด และ D เพิ่มขึ้นอย่างรวดเร็ว หลังจากนั้นเกิดการสั่นไกมากกว่าในสภาวะปกติอย่างเห็นได้ชัด ซึ่งผลตอบสนองดังกล่าวตกลอยู่ในกฎฟื้ชซีที่ 7 และ 9 ให้ค่าเอกสารพุตเป็น Positive ของการตรวจจับความผิดพร่องที่ S_2 ดังที่กล่าวไว้ดังตารางที่ 5.3 ทำให้สามารถตรวจจับความผิดพร่องที่เกิดขึ้นโดยใช้เวลา 0.0054s หรือ 5.4ms

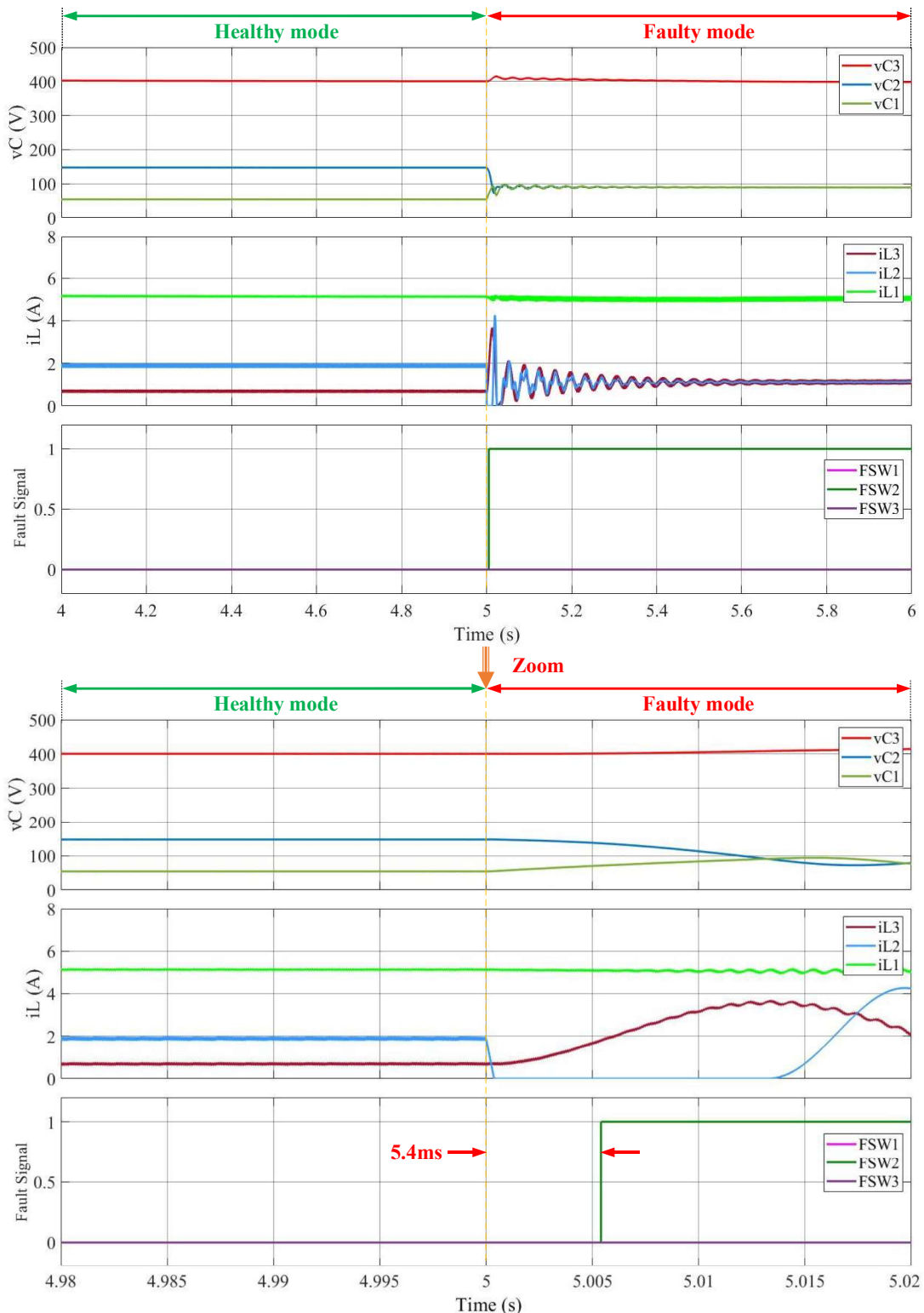
การตรวจจับความผิดพร่องแบบสวิตซ์เปิดวงจรที่ S_3 : พิจารณาปุ่ม 5.41 จะเห็นว่า แรงต้น V_{C3} มีค่าลดลงจากการหายประจุให้กับ R ส่งผลให้ค่าอนุพันธ์อันดับหนึ่งของ V_{C3} และค่าอนุพันธ์อันดับสองของ V_{C3} มีผลตอบสนองสอดคล้องกับกฎฟื้ชซีที่ 5 ให้ค่าเอกสารพุตเป็นบวก ดังที่แสดงไว้ดังตารางที่ 5.4 ทำให้สามารถตรวจจับความผิดพร่องที่เกิดขึ้นโดยใช้เวลา 1ms



รูปที่ 5.41 การจำลองสถานการณ์การตรวจจับความผิดพร่องแบบเบ็ดที่ S_1



รูปที่ 5.42 การจำลองสถานการณ์การตรวจจับความผิดพร่องแบบเปิดที่ S_2



รูปที่ 5.43 การจำลองสถานการณ์การตรวจจับความผิดพร่องแบบเปิดที่ S_3

5.4.2 การจำลองสถานการณ์การตรวจจับความผิดพร่องแบบสวิตช์เปิดวงจรภายใต้การเปลี่ยนแปลงจุดการทำงานของวงจร

เพื่อยืนยันประสิทธิผลของวิธีการตรวจจับความผิดพร่องแบบสวิตช์เปิดวงจรที่พัฒนาขึ้นว่าสามารถตรวจจับความผิดพร่องได้อย่างถูกต้องภายในสภาวะการทำงานของวงจรที่เปลี่ยนแปลง จะแบ่งออกเป็น 5 กรณี การเพิ่มขึ้นของแรงดันอินพุต การลดลงของแรงดันอินพุต การลดลงของแรงดันอ้างอิง การเพิ่มขึ้นของโหลดตัวต้านทาน และการลดลงของโหลดตัวต้านทาน

กรณีที่ 1 การจำลองสถานการณ์เมื่อมีการเปลี่ยนแปลง V_{in} เพิ่มขึ้นจาก 20V เป็น 25V ณ วินาทีที่ 5 โดยที่คงค่า V_{ref} และ R ไว้ที่ 400V และ 1600Ω ตามลำดับ จากรูปที่ 5.44 พบว่าในสภาวะการทำงานปกติจะมีการเพิ่มขึ้นของ V_{in} ส่งผลให้แรงดัน V_{C1} , V_{C2} และ V_{C3} การฟุ้งเกิน อย่างไร้ตัวตามตัวควบคุมฟซชีที่พัฒนาขึ้นสามารถรักษาระดับ V_O ให้มีค่าลดลงเข้าหา V_{ref} ที่ 400V ส่วน i_{L1} และ i_{L2} มีค่าลดลง เพื่อรักษากำลังไฟฟ้าอินพุตเท่ากับกำลังไฟฟ้าเอาต์พุตไว้ที่ 100W โดยใช้เวลาในการเข้าสู่สภาวะอยู่ตัวประมาณ 2.3s หลังจากนั้นที่วินาทีที่ 10 ซึ่งแบ่งออกเป็น 3 สถานการณ์ของการเกิดความผิดพร่องที่ S_1 , S_2 และ S_3 ดังที่แสดงดังรูปที่ 5.44 (ก), (ข) และ (ค) เมื่อพิจารณาภาพขยายจะเห็นได้ว่าผลตอบสนองความผิดพร่องแบบสวิตช์เปิดวงจรที่เกิดขึ้น ส่งผลให้ตัวตรวจจับความผิดพร่องสามารถตรวจจับความผิดพร่องที่ S_1 , S_2 และ S_3 โดยใช้เวลา 0.024ms, 9.239ms และ 0.978ms ตามลำดับ และในที่สุดให้เห็นว่าวิธีการตรวจจับความผิดพร่องที่พัฒนาขึ้นสามารถตรวจจับได้อย่างถูกต้องและรวดเร็ว อีกทั้งยังไม่มีการตรวจจับความผิดพร่องที่ผิดพลาดในช่วงที่การเปลี่ยนแปลงของ V_{in} ที่เพิ่มขึ้น

กรณีที่ 2 การจำลองสถานการณ์เมื่อมีการเปลี่ยนแปลง V_{in} ลดลงจาก 20V เป็น 15V ณ วินาทีที่ 5 โดยที่คงค่า V_{ref} และ R ไว้ที่ 400V และ 1600Ω ตามลำดับ จากรูปที่ 5.45 พบว่าในสภาวะการทำงานปกติจะมีการลดลงของ V_{in} ส่งผลให้แรงดัน V_{C1} , V_{C2} และ V_{C3} เกิดการลดลง อย่างไร้ตัวตามตัวควบคุมฟซชีที่พัฒนาขึ้นสามารถรักษาระดับ V_O ให้มีค่าเพิ่มขึ้นเข้าหา V_{ref} ที่ 400V ส่วน i_{L1} และ i_{L2} มีค่าเพิ่มขึ้น โดยใช้เวลาในการเข้าสู่สภาวะอยู่ตัวประมาณ 3s หลังจากนั้นที่วินาทีที่ 10 ซึ่งแบ่งออกเป็น 3 สถานการณ์ของการเกิดความผิดพร่องที่ S_1 , S_2 และ S_3 เมื่อพิจารณาภาพขยายจะเห็นได้ว่าผลตอบสนองความผิดพร่องแบบสวิตช์เปิดวงจรที่เกิดขึ้น ส่งผลให้ตัวตรวจจับความผิดพร่องสามารถตรวจจับความผิดพร่องที่พัฒนาขึ้นสามารถตรวจจับได้อย่างถูกต้องและรวดเร็ว อีกทั้งยังไม่มีการตรวจจับความผิดพร่องที่ผิดพลาดในช่วงที่การเปลี่ยนแปลงของ V_{in} ที่ลดลง

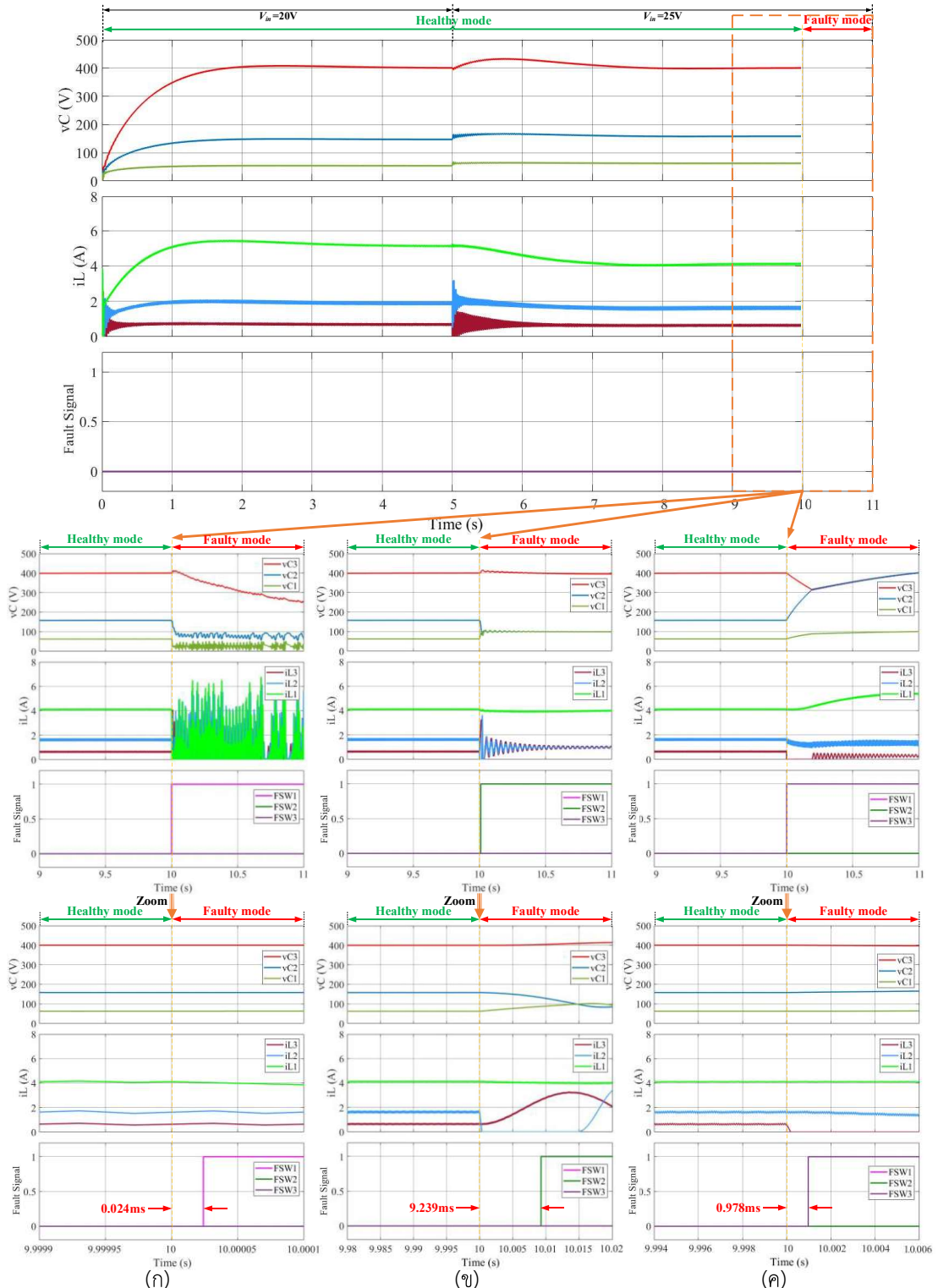
กรณีที่ 3 การจำลองสถานการณ์เมื่อมีการเปลี่ยนแปลง V_{ref} ลดลงจาก 400V เป็น 200V ณ วินาทีที่ 5 โดยที่คงค่า V_{in} และ R ไว้ที่ 20V และ 1600Ω ตามลำดับ หลังจากนั้นที่วินาทีที่ 10

เกิดความผิดพร่องแบบสวิตซ์เปิดวงจรที่ S_1 , S_2 และ S_3 จากรูปที่ 5.46 พบว่าในสภาวะการทำงานปกติ V_{C1} , V_{C2} และ V_{C3} ส่วน i_{L1} , i_{L2} และ i_{L3} มีผลที่ลดลง และสอดคล้องไปในทิศทางเดียวกัน ตัวควบคุมฟซชีที่พัฒนาขึ้นสามารถรักษาระดับ V_O ให้ได้ตามต้องการที่ลดลงจาก 400V เป็น 200V โดยใช้เวลาในการเข้าสู่สภาวะอยู่ตัวประมาณ 3.5s หลังจากนั้นที่วินาทีที่ 10 ซึ่งแบ่งออกเป็น 3 สถานการณ์ของการเกิดความผิดพร่องที่ S_1 , S_2 และ S_3 เมื่อพิจารณาภาพขยายจะเห็นได้ว่าผลตอบสนองความผิดพร่องแบบสวิตซ์เปิดวงจรที่เกิดขึ้น ส่งผลให้ตัวตรวจจับความผิดพร่องสามารถตรวจจับความผิดพร่องได้โดยใช้เวลา 0.083ms, 14.995ms และ 2.651ms ตามลำดับ แสดงให้เห็นว่าวิธีการตรวจจับความผิดพร่องที่พัฒนาขึ้นสามารถตรวจจับได้อย่างถูกต้องและรวดเร็ว อีกทั้งยังไม่มีการตรวจจับความผิดพร่องที่ผิดพลาดในช่วงที่การเปลี่ยนแปลงของ V_{ref} ลดลง

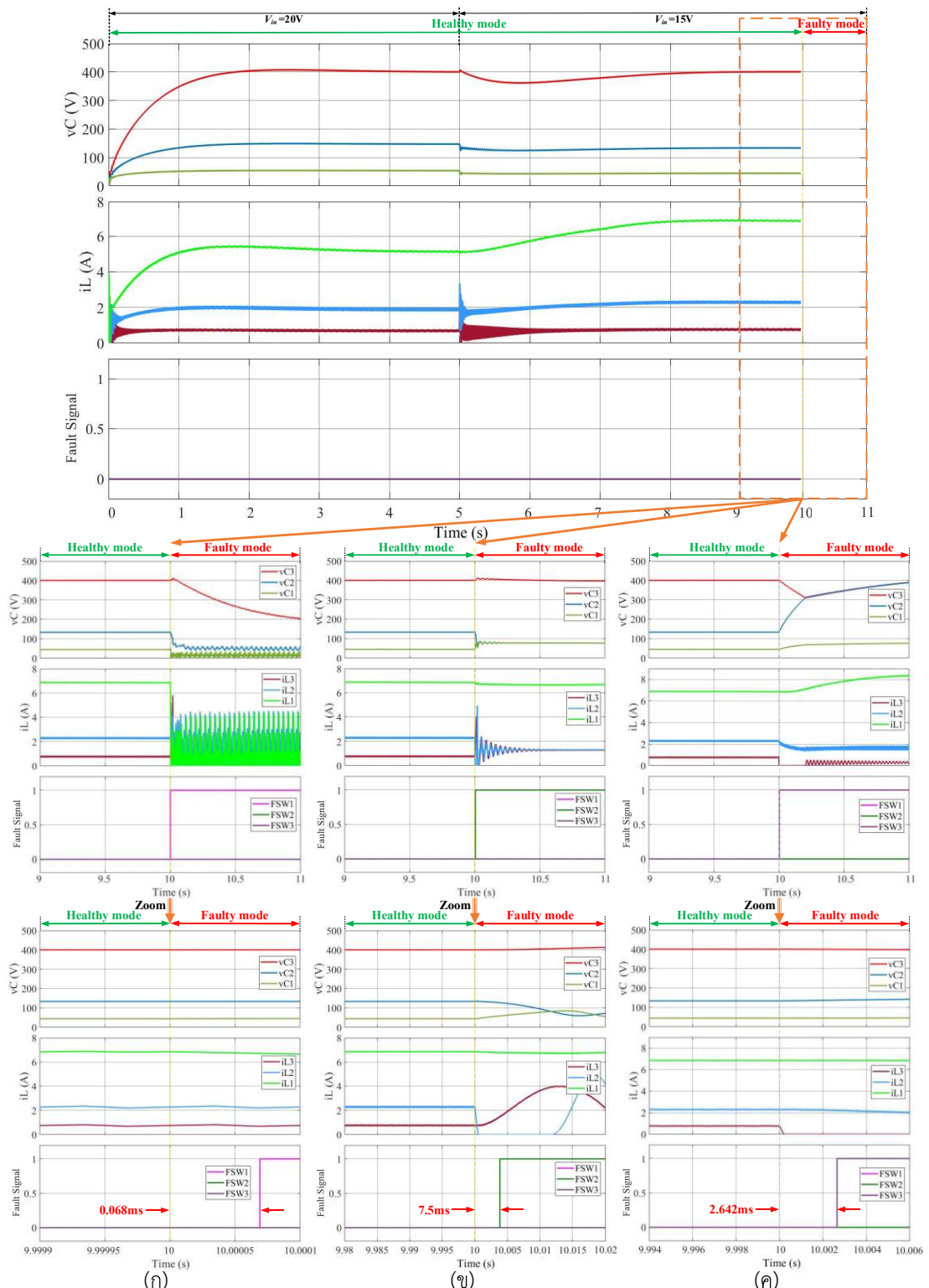
กรณีที่ 4 การจำลองสถานการณ์เมื่อมีการเปลี่ยนแปลง R เพิ่มขึ้นจาก 1600Ω เป็น 2400Ω ณ วินาทีที่ 5 โดยที่คงค่า V_{in} และ V_{ref} ไว้ที่ 20V และ 400V ตามลำดับ จากรูปที่ 5.47 พบว่าในสภาวะการทำงานปกติขณะที่มีการเพิ่มขึ้นของ R ส่งผลให้แรงดัน V_{C1} , V_{C2} และ V_{C3} เกิดการผุ่งเกิน จากการเปลี่ยนแปลงกำลังไฟฟ้าที่ลดลงจาก 100W เป็น 66.67W อย่างไรก็ตามตัวควบคุมฟซชีที่พัฒนาขึ้นสามารถรักษาระดับ V_O ให้มีค่าตาม V_{ref} ที่ 400V โดยการปรับกระแส i_{L1} , i_{L2} และ i_{L3} ลดลง ซึ่งใช้เวลาในการเข้าสู่สภาวะอยู่ตัวประมาณ 3s หลังจากนั้นที่วินาทีที่ 10 ซึ่งแบ่งออกเป็น 3 สถานการณ์ของการเกิดความผิดพร่องที่ S_1 , S_2 และ S_3 ดังที่แสดงดังรูปที่ 5.47 (ก), (ข) และ (ค) เมื่อพิจารณาภาพขยายจะเห็นได้ว่าผลตอบสนองความผิดพร่องได้โดยใช้เวลา 0.031ms, 7.5ms และ 1.696ms ตามลำดับ แสดงให้เห็นว่าวิธีการตรวจจับความผิดพร่องที่พัฒนาขึ้นสามารถตรวจจับความผิดพร่องได้อย่างถูกต้องและรวดเร็ว อีกทั้งยังไม่มีการตรวจจับความผิดพร่องที่ผิดพลาดในช่วงที่การเปลี่ยนแปลงของ R ที่เพิ่มขึ้น

กรณีที่ 5 การจำลองสถานการณ์เมื่อมีการเปลี่ยนแปลง R ลดลงจาก 1600Ω เป็น 1200Ω ณ วินาทีที่ 5 โดยที่คงค่า V_{in} และ V_{ref} ไว้ที่ 20V และ 400V ตามลำดับจากรูปที่ 5.48 พบว่าในสภาวะการทำงานปกติขณะที่มีการลดลงของ R ส่งผลให้กำลังไฟฟ้าที่เพิ่มขึ้นจาก 100W เป็น 133.33W ทันที ในขณะเดียวกันแรงดัน V_{C1} , V_{C2} และ V_{C3} เกิดการลดลง อย่างไรก็ตามตัวควบคุมฟซชีที่พัฒนาขึ้นสามารถรักษาระดับ V_O ให้มีค่าตาม V_{ref} ที่ 400V โดยการปรับค่า i_{L1} , i_{L2} และ i_{L3} เพิ่มขึ้น ซึ่งใช้เวลาในการเข้าสู่สภาวะอยู่ตัวประมาณ 3s หลังจากนั้นที่วินาทีที่ 10 ซึ่งแบ่งออกเป็น 3 สถานการณ์ของการเกิดความผิดพร่องที่ S_1 , S_2 และ S_3 เมื่อพิจารณาภาพขยายจะเห็นได้ว่าผลตอบสนองความผิดพร่องได้โดยใช้เวลา 0.03ms, 4.559ms และ 1.043ms ตามลำดับ แสดงให้เห็นว่าวิธีการตรวจจับความผิดพร่องที่พัฒนาขึ้น

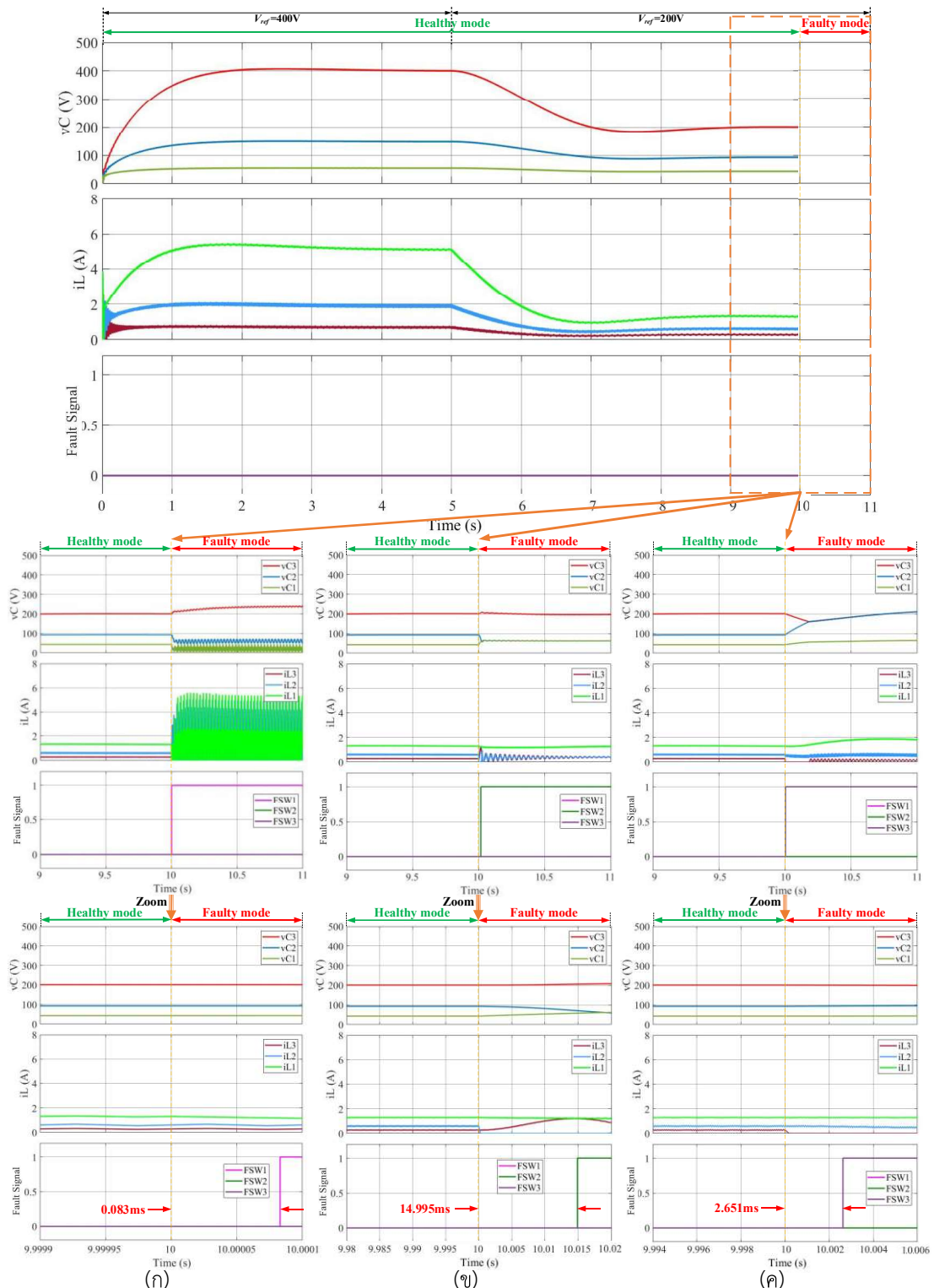
สามารถตรวจจับได้อย่างถูกต้องและรวดเร็ว อีกทั้งยังไม่มีการตรวจจับความผิดพร่องที่ผิดพลาดในช่วงที่การเปลี่ยนแปลงของ R ที่ลดลง



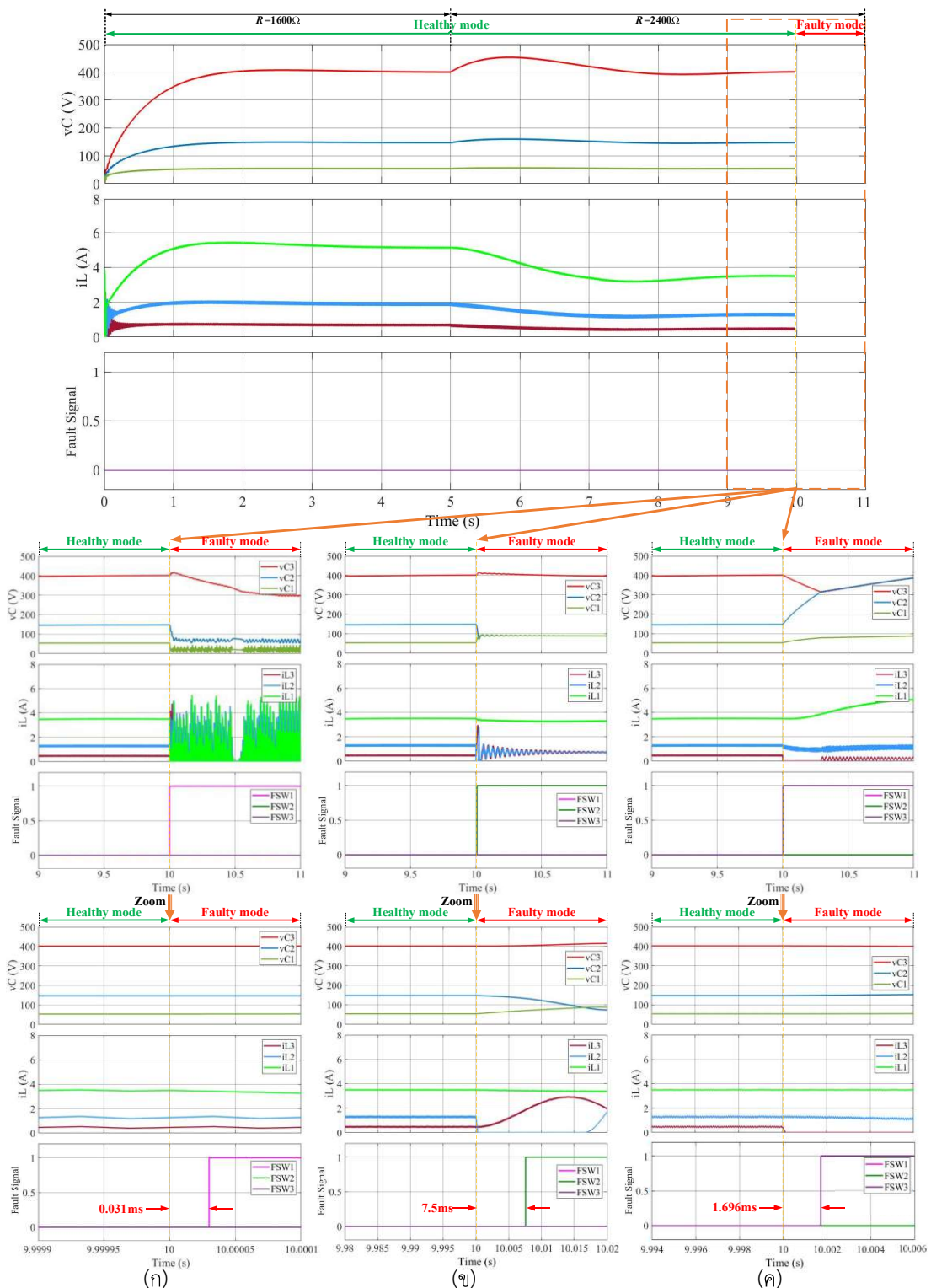
รูปที่ 5.44 ผลการตรวจจับความผิดพร่องแบบสิ่งจราจัยใต้การเพิ่มขึ้นของแรงดันอินพุต



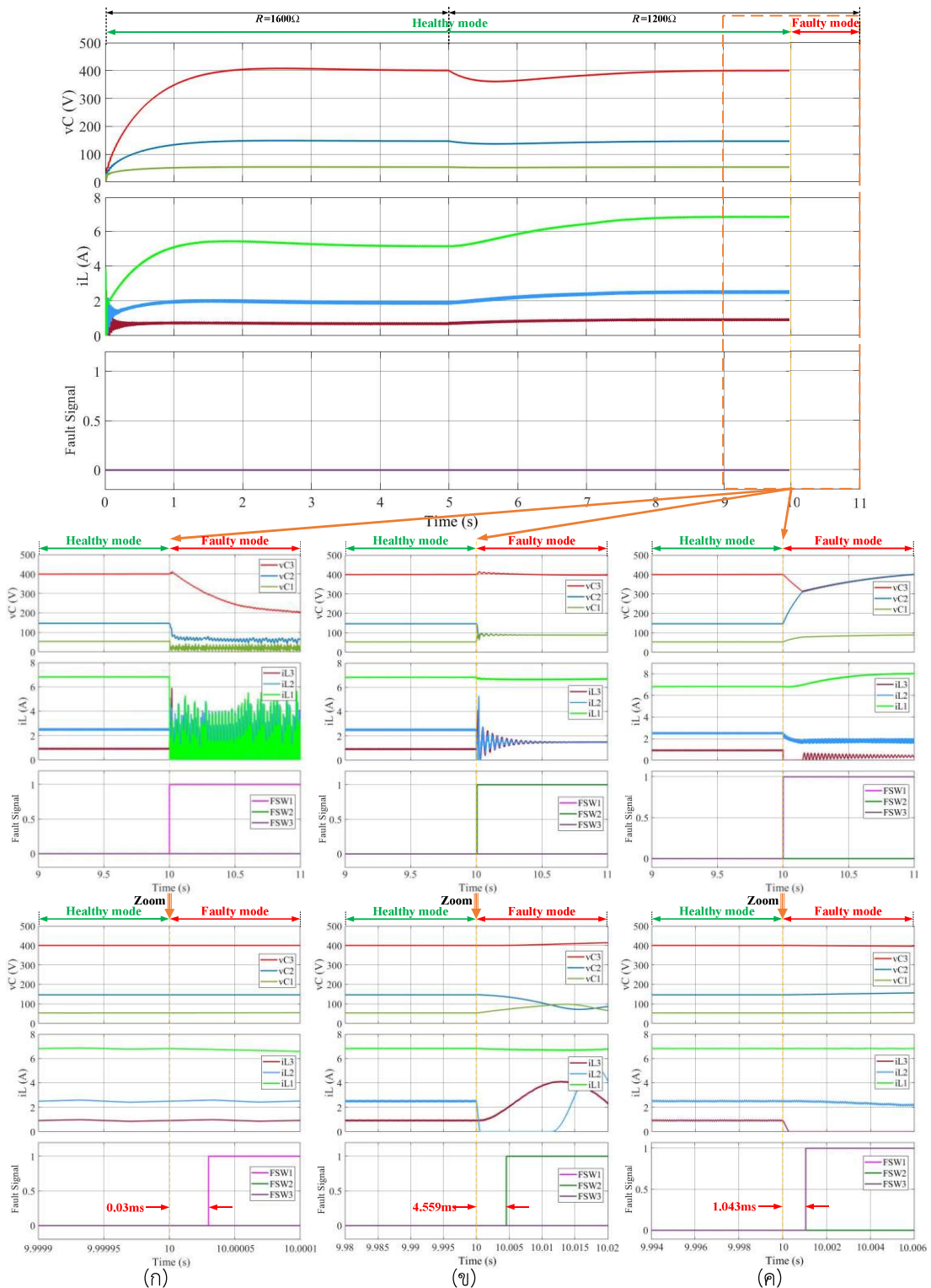
รูปที่ 5.45 ผลการตรวจจับความผิดพลาดของแบบสวิตซ์เปิดวงจรภายในตัวการลดลงของแรงดันอินพุต



รูปที่ 5.46 ผลการตรวจจับความผิดพร่องแบบสวิตช์เปิดวงจรภายในให้การลดลงของแรงดันอ้างอิง



รูปที่ 5.47 ผลการตรวจจับความผิดพร่องแบบสวิตช์เปิดวงจรภายในตัวการเพิ่มขึ้นของโหลดตัวต้านทาน



รูปที่ 5.48 ผลการตรวจจับความผิดพร่องแบบสวิตช์เปิดวงจรภายใต้การลดลงของโหลดตัวต้านทาน

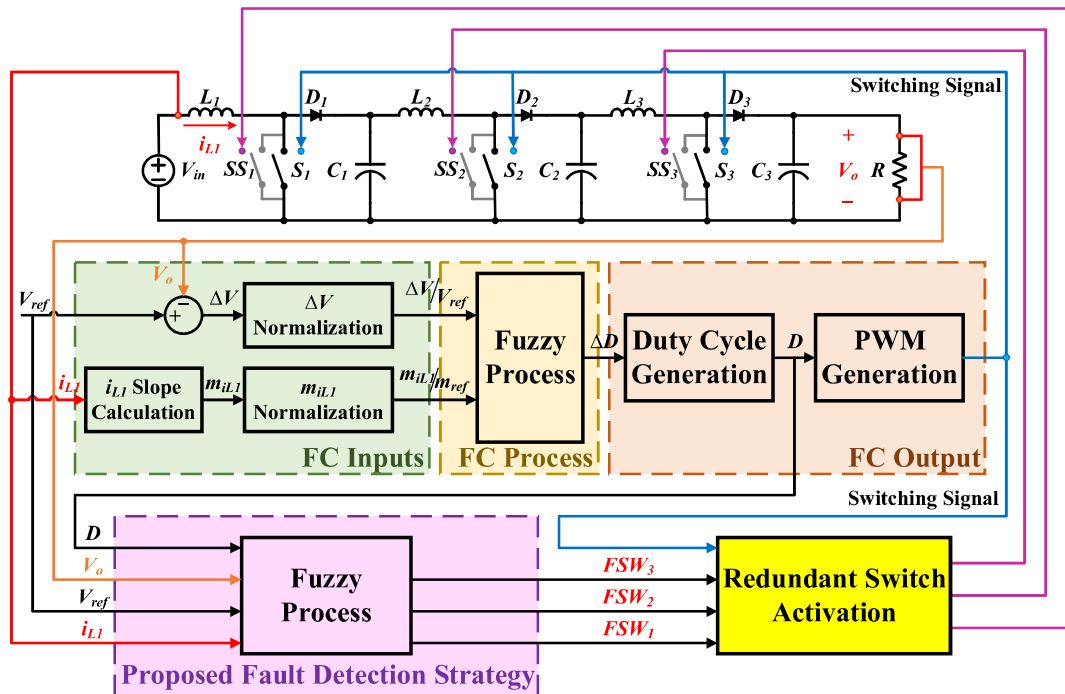
จากการจำลองสถานการณ์การตรวจจับความผิดพร่องแบบสวิตช์เปิดวงจรที่พัฒนาขึ้นสำหรับวงจรแปลงผันกำลังไฟฟ้าแบบบุสต์เรียงต่อกันสามชั้นภายใต้การเปลี่ยนแปลงจุดการทำงานของวงจร จะเห็นได้ว่าตัวตรวจจับความผิดพร่องสามารถตรวจจับ และสามารถระบุตำแหน่งที่เกิดความผิดพร่องได้อย่างรวดเร็วและถูกต้อง อีกทั้งยังไม่มีความผิดพลาด ในขณะที่มีการเปลี่ยนแปลงจุดการทำงาน โดยผลการตรวจจับความผิดพร่องแบบสวิตช์เปิดวงจรที่พัฒนาขึ้นสามารถสรุปได้ดังตารางที่ 5.6

ตารางที่ 5.6 ผลการตรวจจับความผิดพร่องแบบสวิตช์เปิดวงจรภายใต้การเปลี่ยนแปลงจุดการทำงาน

กรณี	การเปลี่ยนแปลงจุดการทำงาน	เวลาในการตรวจจับความผิดพร่อง (ms)		
		S_1	S_2	S_3
1	เพิ่ม V_{in} จาก 20V เป็น 25V	0.024	9.239	0978
2	ลด V_{in} จาก 20V เป็น 15V	0.068	7.5	2.642
3	ลด V_{ref} จาก 400V เป็น 200V	0.083	14.995	2.651
4	เพิ่ม R จาก 1600Ω เป็น 2400Ω	0.031	7.5	1.696
5	ลด R จาก 1600Ω เป็น 1200Ω	0.03	4.559	1.043

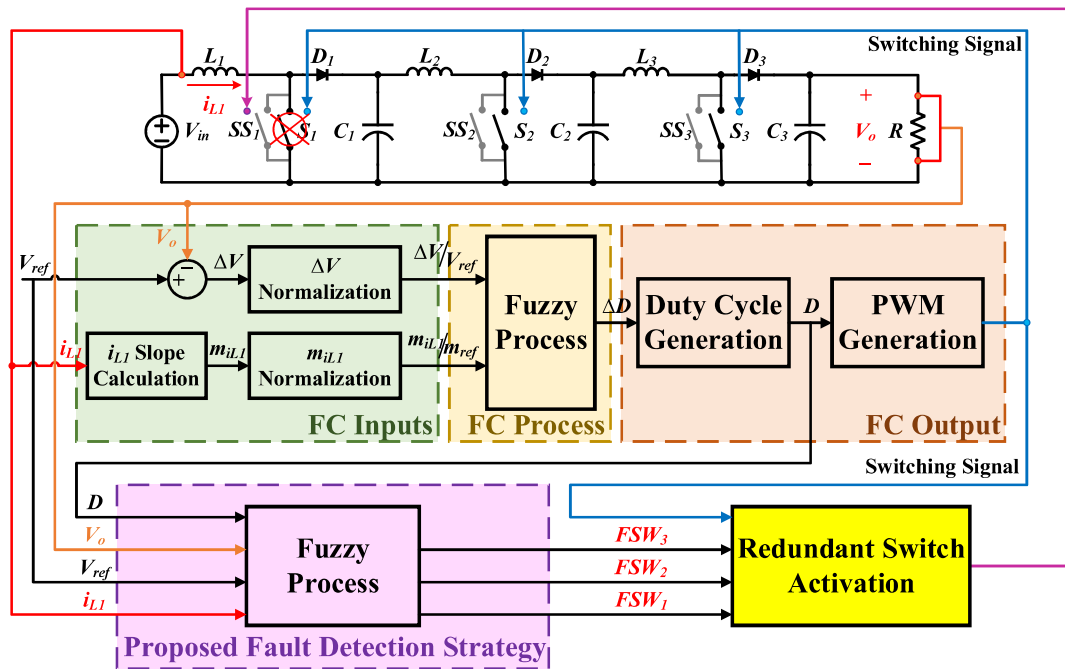
5.4.3 การจำลองสถานการณ์การทำงานของวงจรภายใต้สภาวะความคงทนต่อความผิดพร่อง

ในหัวข้อนี้เป็นการจำลองสถานการณ์ของวงจรแปลงผันกำลังไฟฟ้าแบบบุสต์เรียงต่อกันสามชั้นภายใต้ตัวควบคุมพื้นที่ที่มีคงทนต่อความผิดพร่อง โดยพิจารณากรณีที่สวิตช์ตัวใดตัวหนึ่งเกิดความผิดพร่องเท่านั้นดังรูปที่ 5.49 เมื่อตรวจพบว่าสวิตช์ตัวใดเกิดความผิดพร่องจะสั่งให้สวิตช์ตัวสำรอง (SS_1, SS_2, SS_3) ทำงานแทนทันที โดยอาศัยกระบวนการเปิดใช้งานสวิตช์สำรอง (Redundant switch activation) เพื่อให้วงจรสามารถทำงานต่อได้ด้วยสมรรถนะที่ดี ผลการจำลองสถานการณ์สามารถแบ่งออกเป็น 3 กรณี โดยพิจารณาผลของแรงดันต่ำกรรไกรต่ำเก็บประจุ กระแสที่ไหลผ่านตัวเหนี่ยวนำ และสถานะการตรวจจับความผิดพร่องทั้งสาม ทั้งสภาวะการทำงานปกติ (Healthy mode) สภาวะเกิดความผิดพร่อง (Faulty mode) และสภาวะความคงทนต่อความผิดพร่อง (Fault-tolerant mode) ดังนี้

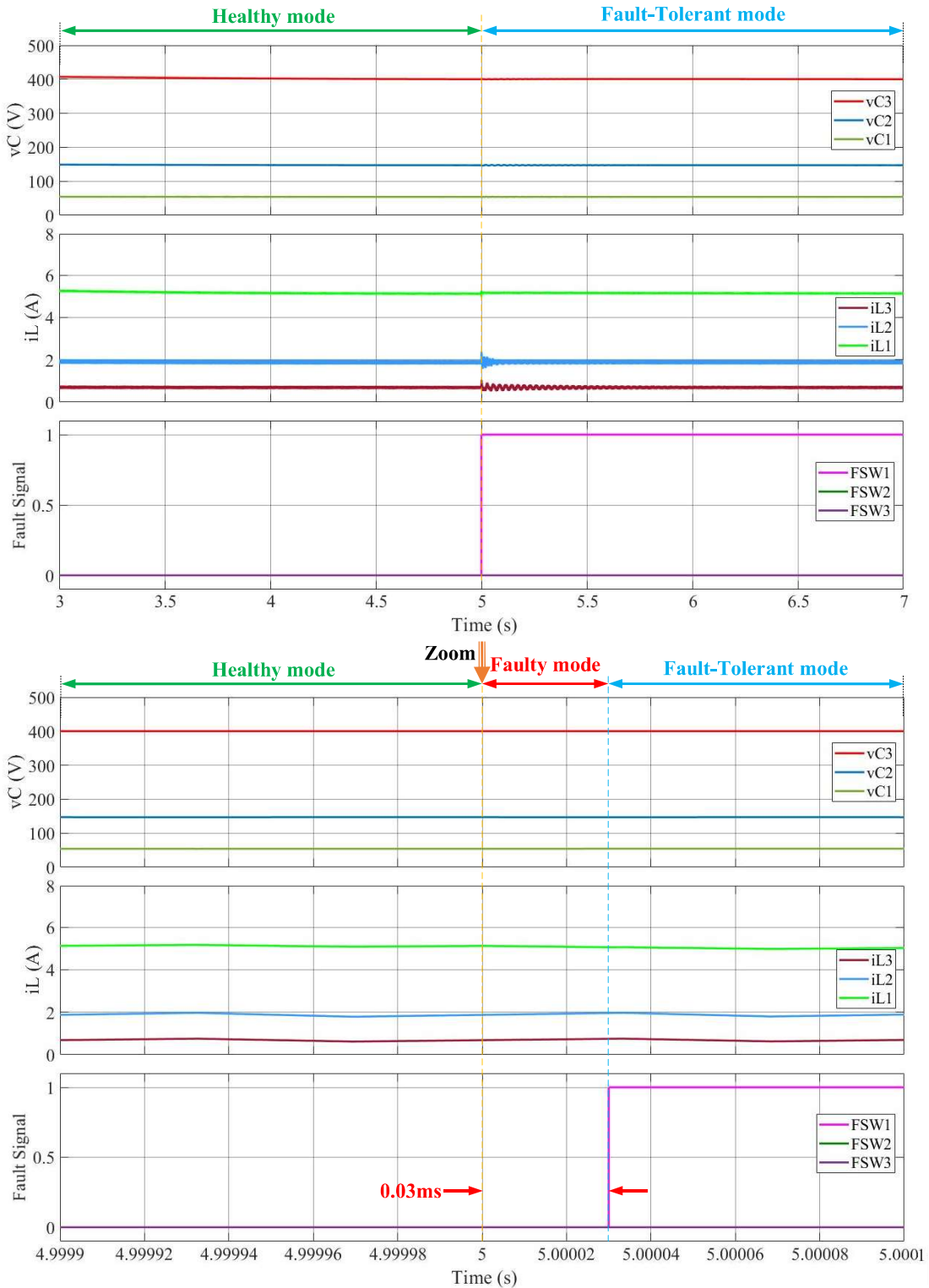


รูปที่ 5.49 โครงสร้างวงจรแปลงผันกำลังไฟฟ้าแบบบุสต์เรียงต่อกันสามขั้นที่มีความคงทนต่อความผิดหวัง

กรณีที่ 1 การจำลองสถานการณ์ที่มีค่าคงทนต่อความผิดหวังแบบสวิตช์เปิดวงจรที่ S_1 ซึ่งมีโครงสร้างวงจรสำหรับการจำลองสถานการณ์แสดงรูปที่ 5.50 เมื่อเกิดความผิดหวังแบบสวิตช์เปิดวงจร ผลการจำลองสถานการณ์แสดงได้ดังรูปที่ 5.51 จากผลการจำลองสถานการณ์จะเห็นได้ว่าในเวลาช่วงเริ่มต้นถึงวินาทีที่ 5 วงจรแปลงผันกำลังไฟฟ้าแบบบุสต์เรียงต่อกันสามขั้นทำงานเป็นปกติ วงจรสามารถเพิ่มระดับ V_{in} ที่มีแรงตันต่ำประมาณ 20V ให้มี V_o สูงถึงประมาณ 400V ต่อมาที่เวลาวินาทีที่ 5 เกิดความผิดหวังแบบสวิตช์เปิดวงจรขึ้นที่ S_1 ส่งผลให้สามารถตรวจพบความผิดหวังได้จากผลตอบสนองที่เกิดขึ้น ซึ่งแสดงได้จากสัญญาณ FSW_1 มีค่าเปลี่ยนจาก 0 เป็น 1 โดยใช้เวลาในการตรวจจับความผิดหวังประมาณ 0.03ms หลังจากตรวจพบความผิดหวังระบบควบคุมจะทำการส่งสัญญาณควบคุมการทำงานของสวิตช์ S_1 เป็นให้สวิตช์สำรอง SS_1 เพื่อให้สวิตช์สำรองทำงานแทน จะสังเกตเห็นได้ว่าหลังจาก SS_1 ทำงานแทนที่ S_1 แล้ว วงจรยังคงสามารถรักษาระดับ V_o ให้มีค่าคงที่ได้ตามต้องการ เพื่อให้วงจรยังคงทำงานต่อไปได้อย่างมีประสิทธิผล

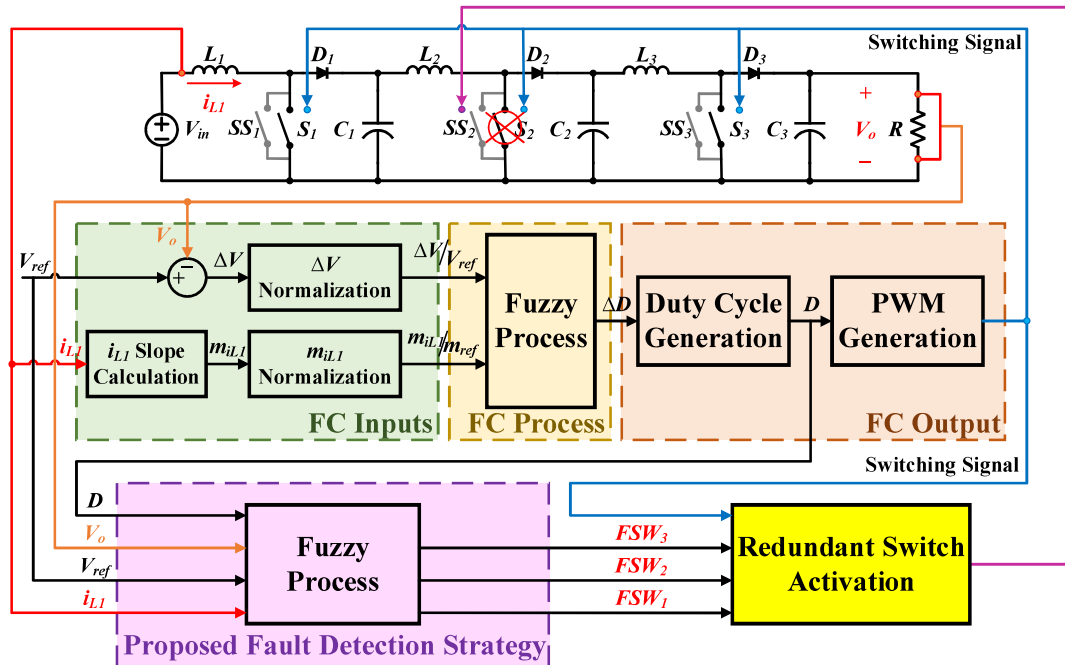


รูปที่ 5.50 วงจรแปลงผันกำลังไฟฟ้าแบบบุสต์เรียงต่อกันสามขั้นที่มีคงทนต่อความผิดพร่องที่ S_1

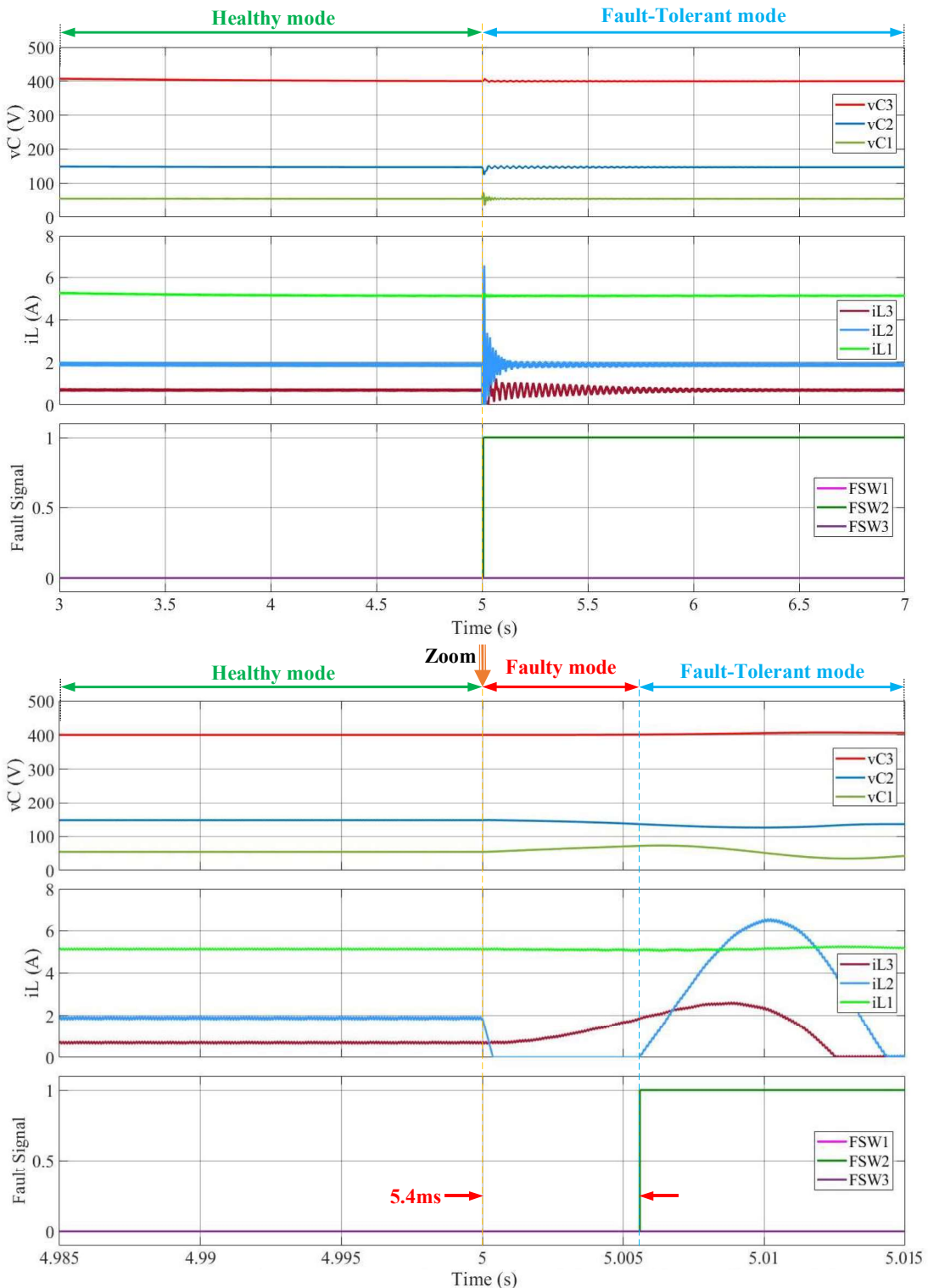


รูปที่ 5.51 ผลการจำลองกรณีเกิดความผิดพร่องที่ S_1 ในสถานะคงทันต่อความผิดพร่อง

กรณีที่ 2 การจำลองสถานการณ์ว่างจรที่มีคิงทนต่อกำลังไฟฟ้าแบบสวิตช์เปิดวงจรที่ S_2 ซึ่งมีโครงสร้างวงจรสำหรับการจำลองสถานการณ์แสดงรูปที่ 5.52 เมื่อเกิดความผิดพร่องแบบสวิตช์เปิดวงจร มีผลการจำลองสถานการณ์แสดงได้ดังรูปที่ 5.53 จากผลการจำลองสถานการณ์จะเห็นที่เวลาวินาทีที่ 5 เกิดความผิดพร่องแบบสวิตช์เปิดวงจรขึ้นที่ S_2 ส่งผลให้สามารถตรวจพบความผิดพร่องได้จากผลตอบสนองที่เกิดขึ้น ซึ่งแสดงได้จากสัญญาณความผิดพร่องของสวิตช์ FSW_2 มีค่าเปลี่ยนจาก 0 เป็น 1 โดยใช้เวลาในการตรวจจับประมาณ 5.4ms หลังจากตรวจพบความผิดพร่องระบบควบคุมจะทำการส่งสัญญาณควบคุมการทำงานของ S_2 ไปให้ SS_2 ทำงานแทน จะสังเกตเห็นได้ว่าวงจรยังคงสามารถรักษาระดับ V_o ให้มีค่าคงที่ได้ตามต้องการ เพื่อให้วงจรยังคงทำงานต่อไปได้อย่างมีประสิทธิผล อย่างไรก็ตาม i_{L2} และ i_{L3} เกิดการพุ่งเกิน หลังจากนั้นจะตรวจสอบความผิดพร่องให้มีค่าที่สอดคล้องกับค่า V_{ref} ที่ต้องการ

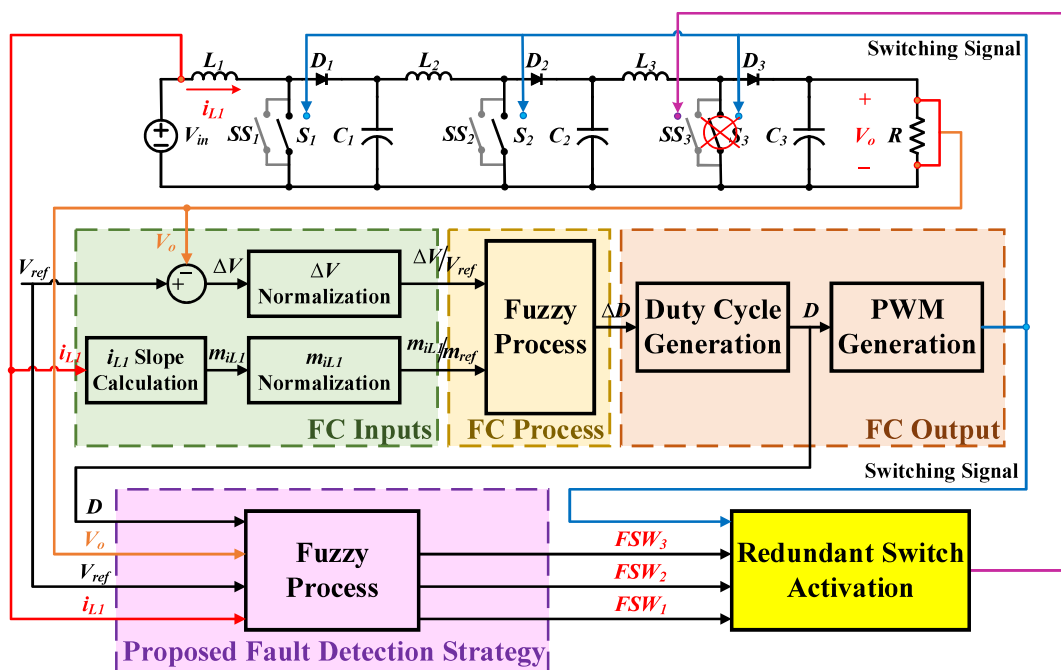


รูปที่ 5.52 วงจรแปลงผันกำลังไฟฟ้าแบบบุสต์เรียงต่อกันสามขั้นที่มีคิงทนต่อกำลังไฟฟ้าที่ S_2

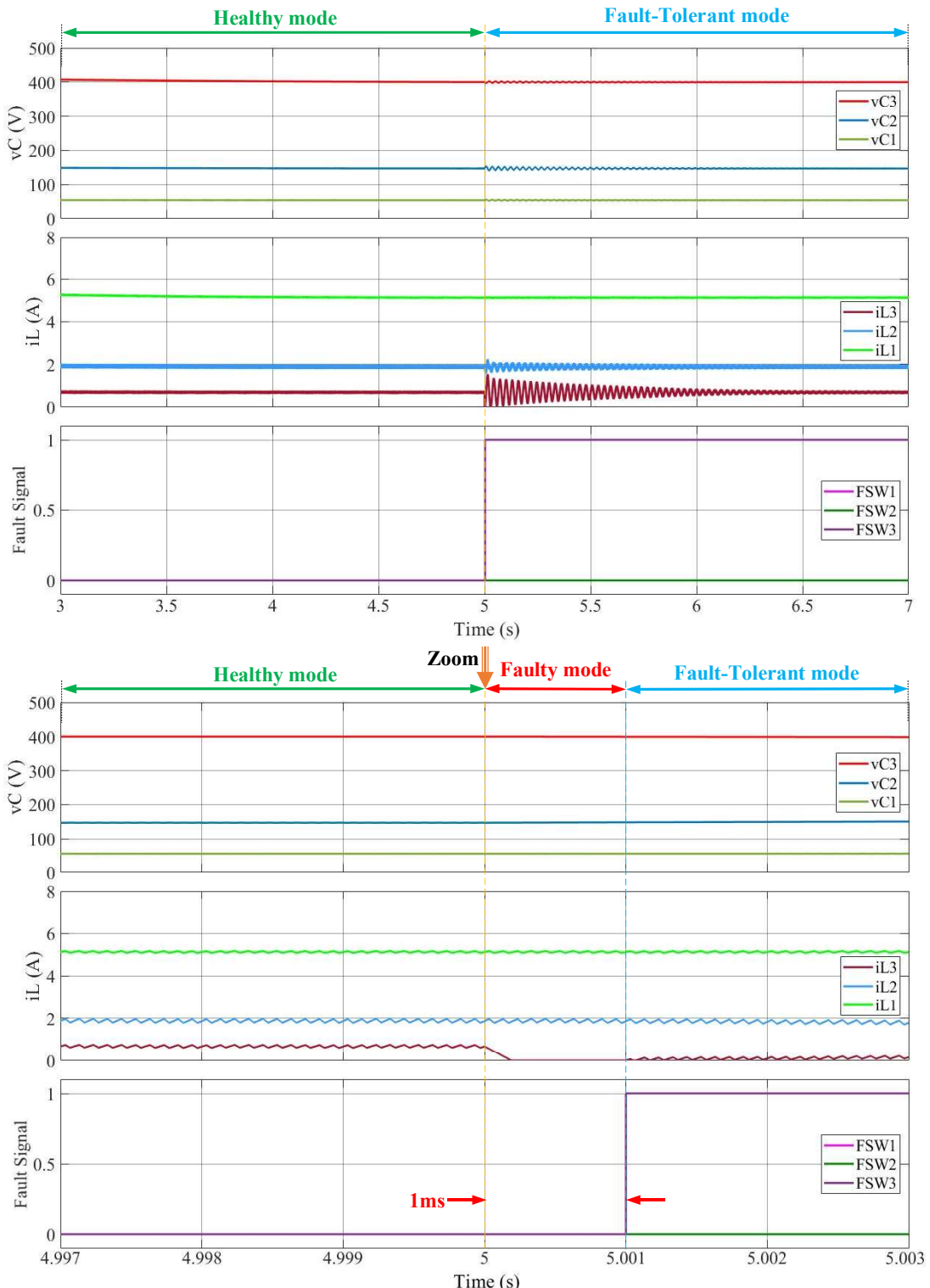


รูปที่ 5.53 ผลการจำลองกรณีเกิดความผิดพร่องที่ S_2 ในสภาพวงจรที่ต่อความผิดพร่อง

กรณีที่ 3 การจำลองสถานการณ์ว่างจรที่มีคงทนต่อความผิดพร่องแบบสวิตช์เปิดวงจรที่ S_3 ซึ่งมีโครงสร้างวงจรสำหรับการจำลองสถานการณ์แสดงรูปที่ 5.54 มีผลการจำลองสถานการณ์แสดงได้ดังรูปที่ 5.55 จากผลการจำลองสถานการณ์จะเห็นได้ว่าที่เวลาวินาทีที่ 5 เกิดความผิดพร่องแบบสวิตช์เปิดวงจรขึ้นที่สวิตช์ S_3 สามารถตรวจพบความผิดพร่องได้จากผลตอบสนองที่เกิดขึ้น ซึ่งแสดงได้จากสัญญาณความผิดพร่องของสวิตช์ FSW_3 มีค่าเปลี่ยนจาก 0 เป็น 1 โดยใช้เวลาในการตรวจจับประมาณ 1ms หลังจากตรวจพบความผิดพร่องระบบควบคุมจะทำการส่งสัญญาณควบคุมการทำงานของสวิตช์ S_3 ไปให้สวิตช์สำรอง SS_3 ทำงานแทน จะสังเกตเห็นได้ว่างจะรยังคงสามารถรักษาระดับ V_o ให้มีค่าคงที่ได้ตามต้องการ เพื่อให้วางรยังคงทำงานต่อไปได้อย่างมีประสิทธิผลอย่างไรก็ตามค่ากระแส i_{L2} และ i_{L3} เกิดการสั่นไหว หลังจากนั้นจะตรวจสอบความผิดมาใหม่ค่าที่สอดคล้องกับตามค่า V_{ref} ที่ต้องการ



รูปที่ 5.54 วงจรแปลงผันกำลังไฟฟ้าแบบบูสต์เรียงต่อกันสามขั้นที่มีคงทนต่อความผิดพร่องที่ S_3



รูปที่ 5.55 ผลการจำลองกรณีเกิดความผิดพร่องที่ S_3 ในสภาวะคงทันต่อความผิดพร่อง

จากการจำลองสถานการณ์ทั้ง 3 กรณี แสดงให้เห็นว่า การสร้างความคงทนต่อความผิดพร่องที่พัฒนาขึ้นภายในวงจรแปลงผันกำลังไฟฟ้าแบบบูสต์เรียงต่อกันสามชั้นภายใต้ตัวควบคุมฟิซซี สามารถตรวจจับความผิดพร่องแบบสวิตช์เปิดวงจรที่สวิตช์ S_1 , S_2 และ S_3 ในสภาพการทำงานปกติ จะเห็นได้ว่า วิธีการตรวจจับความผิดพร่องที่พัฒนาขึ้นสามารถตรวจจับความผิดพร่อง และสามารถระบุตำแหน่งที่เกิดความผิดพร่องได้อย่างรวดเร็วและถูกต้อง โดยเมื่อตรวจพบว่า สวิตช์ตัวใดเกิดความผิดพร่องจะสั่งให้สวิตช์ตัวสำรอง (SS_1 , SS_2 , SS_3) ทำงานแทนทันที ทำให้วงจรยังคงสามารถทำงานต่อไปได้อย่างมีประสิทธิผล

5.5 สรุป

เนื้อหาในบทที่ 5 นี้กล่าวถึงการพัฒนาวงจรแปลงผันกำลังไฟฟ้าแบบบูสต์เรียงต่อกันสามชั้น ขณะที่มีตัวควบคุมฟิซซีที่พัฒนาขึ้น ให้มีความคงทนต่อความผิดพร่องแบบสวิตช์เปิดวงจร โดยเริ่มต้นจากการสังเกตพฤติกรรมของวงจรแปลงผันกำลังไฟฟ้าแบบบูสต์เรียงต่อกันสามชั้นขณะที่มีตัวควบคุมฟิซซีที่พัฒนาขึ้นทั้งในสภาพปกติ และสภาพเกิดความผิดพร่อง เพื่อนำมาสร้างเงื่อนไขในการตรวจจับความผิดพร่องของแต่ละสวิตช์ ในการสร้างความคงทนต่อความผิดพร่องแบบสวิตช์เปิดวงจรให้กับวงจรแปลงผันกำลังไฟฟ้าแบบบูสต์เรียงต่อกันสามชั้น เพื่อให้สามารถระบุตำแหน่งความผิดพร่องที่เกิดขึ้นในแต่ละสวิตช์ได้อย่างถูกต้องและรวดเร็ว ทำให้การกู้คืนการทำงานของวงจรจากความผิดพร่อง โดยนำกระบวนการฟิซซีมาใช้ในกระบวนการสร้างความคงทนต่อความผิดพร่อง เพื่อให้วงจรแปลงผันกำลังไฟฟ้าแบบบูสต์เรียงต่อกันสามชั้นสามารถทำงานต่อไปได้ เมื่อมีความผิดพร่องเกิดขึ้นที่สวิตช์กำลังของวงจร ในกระบวนการตรวจสอบความผิดพร่องจะอาศัยกระแสไฟฟ้าผ่านตัวเหนี่ยวนำตัวที่ 1 และแรงดันเอาร์พุต ที่ได้จากการตรวจจับกระแสไฟฟ้าและตัวตรวจจับแรงดันที่ใช้ในกระบวนการควบคุมฟิซซีที่พัฒนาขึ้น รวมถึงสัญญาณวัฏจักรหน้าที่ของสวิตช์ที่ได้จากควบคุมฟิซซีที่พัฒนาขึ้น ซึ่งให้ผลตอบสนองที่แตกต่างจากพฤติกรรมการทำงานของวงจรในสภาพการทำงานปกติอย่างชัดเจน เมื่อเกิดความผิดพร่องที่สวิตช์แต่ละตัว จากการจำลองสถานการณ์การตรวจจับความผิดพร่องแบบสวิตช์เปิดวงจรที่พัฒนาขึ้นสำหรับวงจรแปลงผันกำลังไฟฟ้าแบบบูสต์เรียงต่อกันสามชั้นภายใต้การเปลี่ยนแปลงจุดการทำงานของวงจร จะเห็นได้ว่า ตัวตรวจจับความผิดพร่องสามารถตรวจจับ และสามารถระบุตำแหน่งที่เกิดความผิดพร่องได้อย่างรวดเร็วและถูกต้อง อีกทั้งยังไม่มีความผิดพลาดในขณะที่มีการเปลี่ยนแปลงจุดการทำงาน และผลการจำลองสถานการณ์สุดท้ายเป็นการสร้างความ

คงทนต่อความผิดพร่อง เพื่อให้วงจรยังคงสามารถทำงานต่อไปได้อย่างมีประสิทธิผลภายใต้ความผิดพร่องที่เกิดขึ้น